

ความชุกชุมและความหลากหลายของแอนเนลิดในแม่น้ำโขงตอนล่าง  
และปัจจัยสังเคราะห์

Annelid Abundance and Diversity in the Lower Thale Luang and Its Environmental Factors

มงคลรัตน์ เจริญพรทิพย์  
Mongkolratana Charoenpornthip

วิทยานิพนธ์วิทยาศาสตรมหาบัณฑิต สาขาวิชาการจัดการสิ่งแวดล้อม  
มหาวิทยาลัยสงขลานครินทร์  
Master of Science Thesis in Environmental Management  
Prince of Songkla University  
2544

ความชุกชุมและความหลากหลายของแอนเนลิดในทะเลหลวงต่อนล่าง<sup>1</sup>  
และปัจจัยสิ่งแวดล้อม

Annelid Abundance and Diversity in the Lower Thale Luang and Its Environmental Factors

มงคลรัตน์ เจริญพรทิพย์  
Mongkolratana Charoenpornthip

วิทยานิพนธ์วิทยาศาสตรมหาบัณฑิต สาขาวิชาการจัดการสิ่งแวดล้อม  
มหาวิทยาลัยสงขลานครินทร์

Master of Science Thesis in Environmental Management

Prince of Songkla University

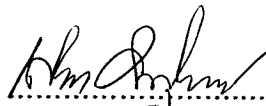
2544

ชื่อวิทยานิพนธ์ ความซุกซุมและความหลอกหลอนของแอนเนลิดในทะเลหลวงตอนล่าง  
และปัจจัยสิ่งแวดล้อม  
ผู้เขียน นายมงคลรัตน์ เจริญพรทิพย์  
สาขาวิชา การจัดการสิ่งแวดล้อม

## คณะกรรมการที่ปรึกษา

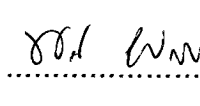
..... ประธานกรรมการ  
(รองศาสตราจารย์ ดร. เสาร์ภา อังสุวนิช)

## คณะกรรมการสอบ

..... ประธานกรรมการ  
(รองศาสตราจารย์ ดร. เสาร์ภา อังสุวนิช)

..... กรรมการ  
(นายยงยุทธ ปรีดาลัมพะบุตร)

..... กรรมการ  
(นายยงยุทธ ปรีดาลัมพะบุตร)

..... กรรมการ

(ผู้ช่วยศาสตราจารย์ ดร. พรศิลป์ ผลพันธิน)

..... กรรมการ  
(นายไพร่อน สิริมนดาภรณ์)

บัณฑิตวิทยาลัย มหาวิทยาลัยสงขลานครินทร์ อนุมัติให้นับวิทยานิพนธ์ ฉบับนี้เป็นส่วนหนึ่ง  
ของการศึกษาตามหลักสูตรวิทยาศาสตรมหาบัณฑิต สาขาวิชาการจัดการสิ่งแวดล้อม



.....  
(รองศาสตราจารย์ ดร. ปิติ ฤกษ์ภิคุณ)  
คณบดีบัณฑิตวิทยาลัย

ชื่อวิทยานิพนธ์	ความชุกชุมและค วามหลากหลายของแอนเนลิดในทะเลหลวงตอนล่างและปัจจัยสิ่งแวดล้อม
ผู้เขียน	นายมงคลรัตน์ เจริญพรทิพย์
สาขาวิชา	การจัดการสิ่งแวดล้อม
ปีการศึกษา	2543

### บทคัดย่อ

เก็บตัวอย่างแอนเนลิดและปัจจัยสิ่งแวดล้อมจากทะเลหลวงตอนล่าง โดยเก็บตัวอย่างทุก 2 เดือน ตั้งแต่เมษายน 2541 ถึง กุมภาพันธ์ 2542 (6 ครั้ง) จำนวน 9 สถานี (11 ชั้ต่อสถานี) ด้วย Tamura's grab (พื้นที่ 0.05 ตารางเมตร) พบโพลีชีต 20 วงศ์ 44 สกุล 57 ชนิด และ ไฮรูดิเนีย ซึ่งมี ความชุกชุมอยู่ในช่วง 22-2,309 ตัว/ตารางเมตร (เฉลี่ย 436 ตัว/ตารางเมตร) มัวชีวภาพอยู่ในช่วง 0.1-15.4 กรัมน้ำหนักเปียก/ตารางเมตร (เฉลี่ย 1.9 กรัมน้ำหนักเปียก/ตารางเมตร) ความชุกชุมและ ความหลากหลายของชนิด พบต่ำสุดและสูงสุดในเดือนกุมภาพันธ์ และมิถุนายน ตามลำดับ *Ceratonereis burmensis*, *Nephrys sp.*, *Minuspio sp.1*, *Sigambra phuketensis*, *Namalycastis indica*, *Ficopomatus sp.* และ *Pseudopolydora kempfi* พบเป็นชนิดเด่น จากการจัดกลุ่มโครงสร้างของ แอนเนลิดตามความคล้ายคลึงกันของสถานีด้วย CLUSTER และ MDS สามารถแบ่งได้เป็น 3 กลุ่ม คือ [สถานี 1-2-3-7-8], [4-5] และ [6-9] เมื่อจัดกลุ่มตามความคล้ายคลึงกันของเดือน สามารถแบ่งได้ 4 กลุ่ม คือ [เมษายน],[มิถุนายน-สิงหาคม-ตุลาคม],[ธันวาคม] และ[กุมภาพันธ์]

นอกจากนี้พบว่า *Cirratulus sp.*, *Dorvilleidae*, *Platynereis sp.* เป็นชนิดที่ถูกพบในระดับ ความชุกชุมที่ต่ำที่สุดทั้งเชิงสถานีและเชิงเวลา อย่างไรก็ตามพบว่าแอนเนลิดที่จัดอยู่ในพากินเนื้อ มี ความสัมพันธ์กับพากที่กินชาภูมิหรือหิรัญ การจัดกลุ่มของปัจจัยสิ่งแวดล้อมด้วยโปรแกรม PCA ในเชิง สถานีสามารถจัดกลุ่มได้ 2 กลุ่ม คือ [สถานี 1-2-3-4-5-8-9] และ [สถานี 6-7] และในเชิงเวลาสามารถ จัดได้ 2 กลุ่ม คือ [เมษายน-มิถุนายน-สิงหาคม-ตุลาคม] และ [ธันวาคม-กุมภาพันธ์] เมื่อวิเคราะห์ ความสัมพันธ์ระหว่างความชุกชุมของ แอนเนลิดกับปัจจัยสิ่งแวดล้อม ด้วยโปรแกรม BIOENV พบว่าใน เชิงสถานีมีความสัมพันธ์สูงสุดกับ 4 ปัจจัย (% Silt) ในตรีเจนรวมในตะกอนดิน ออกซิเจนที่ละลายน้ำ และอุณหภูมิน้ำ) ที่ระดับ 0.74 ในขณะที่ในเชิงเวลา มีความสัมพันธ์สูงสุดกับ 5 ปัจจัย (% Silt อินทรีย์ คาร์บอน อินทรีย์วัตถุ พื้นที่อิฐตะกอนดินและอุณหภูมิน้ำ) ที่ระดับ 0.88 วิเคราะห์ความสัมพันธ์ระหว่าง ความ ชุกชุมและมัวชีวภาพของแอนเนลิดด้วย ABC plots พบว่า สถานี 6 อยู่ในภาวะปกติ แต่เสียงที่ จะเกิดมลพิษ สถานี 9 อยู่ในภาวะที่มีมลพิษเล็กน้อยแล้ว ส่วนสถานีอื่นๆ อยู่ในภาวะปกติ

Thesis Title	Annelid Abundance and Diversity in the Lower Thale Luang and Its Environmental Factors
Author	Mr.Mongkolratana Charoenporntip
Major Program	Environmental Management
Academic Year	2000

### **Abstract**

Annelid samples from the Lower Thale Luang and environmental data were collected by bimonthly sampling from April 1998 to February 1999 (6 trips) at 9 stations (11 grabs/station) using  $0.05\text{ m}^2$  grab samples (Tamura's grab). At least 57 polychaete taxa belonging to 44 genera and hirudinea were found. Total abundance ranged between 22-2,309 individuals/ $\text{m}^2$  ( $\times 436$  individuals/ $\text{m}^2$ ) and wet-weight biomass ranged between 0.1-15.4 g/ $\text{m}^2$  ( $\times 1.9$  g/ $\text{m}^2$ ) in the study area. Lowest and highest abundance and species diversity were observed in February and June respectively. The predominant polychaetes were *Ceratonereis burmensis*, *Nephtys* sp., *Minuspio* sp.1, *Sigambra phuketensis*, *Namalycastis indica*, *Ficopomatus* sp. and *Pseudopolydora kempfi*. CLUSTER and MDS analysis indicated that 3 groups of stations showed similar results and these were [stations 1-2-3-7-8], [station 4-5] and [station 6-9]. Analysis over time there showed 4 groups :

[April], [June-August-October], [December] and [February]. *Cirratulus* sp., Dorvilleidae, *Platynereis* sp. were the least abundant genera over area and time. There was a relationship between numbers of carnivores and detritus feeders. Two groups of environmental factors were identified using PCA for both station-[stations 1-2-3-4-5-8-9] and [ station 6-7]-and time-[April-June- August-October] and [December-February]. Analysis of annelid abundance data by station using BIOENV showed the highest correlation value of 0.74 for 4 factors : % Silt, TN, DO, and water temperature. Analysis by time showed the highest correlation value of 0.88 for 5 factors : % Silt, OC, OM, pH of sediment and water temperature. Comparison of trends in species biomass and abundance curves (ABC plots) suggest that station 6 was unpolluted (but marginally polluted), station 9 was weakly polluted and other stations were unpolluted.

## กิตติกรรมประกาศ

กราบขอบพระคุณ รองศาสตราจารย์ ดร.เสาวภา อังสุวนิช และ คุณยงยุทธ ปรีดาลัมพะบุตร เป็นอย่างสูงที่กรุณาให้คำแนะนำและตรวจสอบแก่ไขข้อบกพร่อง ตลอดจนให้ความประณานดีอย่างที่สุด

กราบขอบพระคุณ ผู้ช่วยศาสตราจารย์ ดร.พรศิลป์ ผลพันธิน และคุณไฟโรจน์ สิริมนต์ดาภรณ์ ที่กรุณาตรวจสอบและช่วยแก้ไขข้อบกพร่อง จนทำให้วิทยานิพนธ์ฉบับนี้มีความสมบูรณ์ยิ่งขึ้น

ขอกราบขอบพระคุณ คุณพ่อ คุณแม่ ที่กรุณาช่วยเหลือค่าใช้จ่ายทุกอย่าง ตลอดจนเคยให้กำลังใจอย่างหาที่สุดมีได้

ขอขอบพระคุณอาจารย์และเจ้าหน้าที่คณะกรรมการจัดการสิ่งแวดล้อม และภาควิชาภารีชศาสตร์ คณะทรัพยากรธรรมชาติ บัณฑิตวิทยาลัย คุณอำนวย ศิริเพชร คุณกานดา เรืองหนู คุณสำราญ สุวรรณรัตน์ คุณโสรัส กลินประทุม คุณจริวัฒ์ ใจหลัก คุณนิพิท ศรีสุวรรณ และคุณพรสวัสดิ์ บุญชัย ที่ช่วยเหลือเป็นอย่างดี

ขอขอบคุณ สถาบันเพาะเลี้ยงสัตว์น้ำชายฝั่งสงขลา กรมประมง ที่กรุณาอนุเคราะห์ให้ใช้เรือยนต์ พร้อมทั้งพนักงานขับเรือยนต์ ในการเก็บตัวอย่าง

ขอขอบคุณ อุทยานแห่งชาติน้ำตกชุมชน สงขลา กรมป่าไม้ ที่กรุณาอนุเคราะห์สถานที่พักแรม

ขอขอบคุณ ศูนย์พัฒนาประมงทะเลอ่าวไทยตอนล่าง สงขลา กรมประมง ที่กรุณาเอื้อเฟื้อสถานที่ตลอดจนการใช้เครื่องคอมพิวเตอร์

ขอขอบคุณ โครงการพัฒนาองค์ความรู้และศึกษาโนบายการจัดการทรัพยากรชีวภาพ ในประเทศไทย (BRT 541044) และบัณฑิตวิทยาลัย ที่อุดหนุนทุนสำหรับการวิจัย

ขอขอบคุณสมาชิกในครอบครัว ตลอดจนเพื่อนๆ ทุกคนที่เคยให้กำลังใจอย่างดีเยี่ยม จนสำเร็จการศึกษา ความดีและผลลัพธ์ที่มีจากวิทยานิพนธ์ฉบับนี้ ขออวยแต่ผู้มีพระคุณทุกท่านด้วยความเคารพยิ่ง

มงคลรัตน์ เจริญพรกิพย์

## สารบัญ

บทคัดย่อ	หน้า (3)
Abstract	(4)
กิตติกรรมประกาศ	(5)
สารบัญ	(6)
รายการตาราง	(7)
รายการภาพประกอบ	(8)
บทที่	
1 บทนำ	1
บทนำต้นเรื่อง	1
การตรวจเอกสาร	3
วัตถุประสงค์	6
2 วิธีการวิจัย	7
วัสดุและอุปกรณ์และการดำเนินงาน	7
3 ผล	14
4 บทวิจารณ์	53
5 บทสรุป	62
บรรณานุกรม	65
ภาคผนวก	73
ประวัติผู้เขียน	78

## รายการตาราง

ตาราง	หน้า
1. บทบาทและความซูกชุม (เฉลี่ยตัว/ตารางเมตร) ของแอนเนลิดในแต่ละชนิด	36
2. ความสัมพันธ์ของการเพริ่งกระจาย (สถานี) ความหนาแน่นสูงสุด และเดือนที่พบ	40-41
3. ค่า univariate ของแอนเนลิดในเชิงสถานี	43
4. ค่า univariate ของแอนเนลิดในเชิงเวลา	43
5. แอนเนลิดชนิดที่มีอิทธิพลต่อการแยกกลุ่มเชิงสถานี ที่สูงกว่า 2 เปอร์เซ็นต์	46
6. แอนเนลิดชนิดที่มีอิทธิพลต่อการแยกกลุ่มเชิงเวลา ที่สูงกว่า 2 เปอร์เซ็นต์	48
7. ทดสอบว่าระหว่างปัจจัยสิ่งแวดล้อมแต่ละตัวแปรกับประชากรมแอนเนลิด ในเชิงสถานี	49
8. ค่า Harmonic rank correlation coefficient (weighted spearman) ระหว่างปัจจัย สิ่งแวดล้อมกับแอนเนลิดในgrade กลางตอนล่างเชิงสถานี	49
9. ทดสอบว่าปัจจัยสิ่งแวดล้อมแต่ละตัวแปรกับประชากรมแอนเนลิดเชิงเวลา	50
10. ค่า Harmonic rank correlation coefficient (weighted spearman) ระหว่างปัจจัย สิ่งแวดล้อมกับแอนเนลิดในgrade กลางตอนล่างเชิงเวลา	50

## รายการภาพประกอบ

<b>ภาพประกอบ</b>	<b>หน้า</b>
1 พื้นที่เก็บตัวอย่างบริเวณทะเลลวงตอนล่าง	10
2 คุณภาพนำทางกายภาพและเคมีบริเวณทะเลลวงตอนล่าง เดือนเมษายน 2541 ถึง กุมภาพันธ์ 2542	16
3 การจัดกลุ่มคุณภาพนำ้เชิงสถานีที่ได้จากการวิเคราะห์ PCA โดยแบ่งกลุ่มตามผล การวิเคราะห์ cluster (Stress 0.03)	17
4 การจัดกลุ่มคุณภาพนำ้เชิงเวลาที่ได้จากการวิเคราะห์ PCA โดยแบ่งกลุ่มตามผล การวิเคราะห์ cluster (Stress 0.03)	18
5 เปอร์เซ็นต์ Sand, Silt และ Clay แต่ละสถานีในทะเลลวงตอนล่าง (เมษายน 2541 ถึง กุมภาพันธ์ 2542)	19
6 พื้นที่ตากองน้ำในทะเลลวงตอนล่างเดือนเมษายน 2541 - กุมภาพันธ์ 2542	21
7 อินทรีย์คาร์บอนและอินทรีย์วัตถุในทะเลลวงตอนล่าง เดือนเมษายน 2541 ถึง กุมภาพันธ์ 2542	22
8 ปริมาณไนโตรเจนรวมในตากองน้ำในทะเลลวงตอนล่าง เดือนเมษายน 2541 ถึง กุมภาพันธ์ 2542	23
9 การจัดกลุ่มคุณภาพตากองน้ำเชิงสถานีที่ได้จากการวิเคราะห์ PCA โดยแบ่ง กลุ่มตามผลการวิเคราะห์ cluster (Stress=0.01)	24
10 การจัดกลุ่มคุณภาพตากองน้ำเชิงเวลาที่ได้จากการวิเคราะห์ PCA โดยแบ่ง กลุ่มตามผลการวิเคราะห์ cluster (Stress=0.03)	25
11 การจัดกลุ่มคุณภาพปั๊จัยสิ่งแวดล้อมเชิงสถานีที่ได้จากการวิเคราะห์ PCA โดยแบ่ง กลุ่มตามผลการวิเคราะห์ cluster (Stress=0.01)	26
12 การจัดกลุ่มคุณภาพปั๊จัยสิ่งแวดล้อมเชิงเวลาที่ได้จากการวิเคราะห์ PCA โดยแบ่ง กลุ่มตามผลการวิเคราะห์ cluster (Stress=0.03)	27
13 ความชุกชุมของแอนเนลิดบริเวณทะเลลวงตอนล่างในแต่ละสถานี	28-29
14 เปรียบเทียบความชุกชุมและมวลซึ่วภาพของแอนเนลิดแต่ละสถานีและภาระ เชิงสถานีบริเวณทะเลลวงตอนล่าง	33

## รายการภาพประกอบ (ต่อ)

ภาพประกอบ	หน้า
15 เปรียบเทียบความชุกชุมและมวลชีวภาพของแอนเนลิดแต่ละเดือนและภาคร่วมของ แอนเนลิดเชิงเวลา	34
16 การเปลี่ยนแปลงและบทบาทของแอนเนลิดชนิดเด่นบริเวณทะเลหลวงตอนล่าง ในรอบปี	38
17 เด่นโตรแกรมของการจัดกลุ่มแอนเนลิดและMDS โดยแบ่งกลุ่มตามผลการวิเคราะห์ cluster (Stress=0.03)	44
18 เด่นโตรแกรมของการจัดกลุ่มแอนเนลิดและMDS โดยแบ่งกลุ่มตามผลการวิเคราะห์ cluster ในเชิงเวลา (Stress=0.03)	47
19 แสดงความสัมพันธ์ระหว่างความชุกชุมและมวลชีวภาพของแอนเนลิด (ABC Plots)	52
20 ปริมาณน้ำฝนที่ตกบริเวณทะเลหลวงตอนบนและตอนล่าง ปี 2541-2542	54
21 ABC plots (Warwick, 1986 : 558)	61

## บทที่ 1

### บทนำ

#### บทนำต้นเรื่อง

ทะเลสาบสูงคลาน (lagoon) ที่ใหญ่ที่สุดของเอเชียตะวันออกเฉียงใต้ ประกอบด้วยคำามามากมาย ที่ยังต้องการคำอธิบายโดยวิธีธรรมชาติและสังคมวิทยา (Kuwabara, 1995 : 1) อีกทั้งเป็นแหล่งน้ำตื้นที่มีศักยภาพสูงในการหล่อเลี้ยงชีวิตคนในบริเวณพื้นที่ใกล้เคียงมาช้านาน โดยเฉพาะในแง่ของอาหารซึ่งมีทั้งกุ้ง หอย ปู ปลา ตลอดจนพืชและสัตว์ชนิดอื่นๆ อีกมาก และยังเป็นแหล่งอาหารที่สำคัญอีกด้วย ทั้งนี้โดยทั่วไปแล้วในแหล่งน้ำที่มีความลึกมากๆ จะมีผลผลิตของแหล่งน้ำต่างๆ ว่าบริเวณที่เป็นแหล่งน้ำตื้น (Mann, 1980 : 104) ซึ่งจากการศึกษาของ Lindegaard (1994 : 313-322) พบว่าในทะเลสาบน้ำตื้นมีผลผลิต ทุติยภูมิที่เป็นสัตว์น้ำดินมาก โดยเฉพาะสัตว์น้ำดินที่ฝังตัวอยู่ในดิน (infauna) เป็นแหล่งอาหารที่สำคัญที่สุดของปลาหน้าดินจากการประเมินผลการจับสัตว์น้ำจากทะเลสาบสูงอังสูนีย์ ชุมชนปราบาน, จุพารัน្តรัตน์ไชย และอาภรณ์ มีชูขันธ์ (2539 : 7-27) ปี 2537-2538 พบร่วมกับบริเวณทะเลหลวงตอนล่างสัตว์น้ำถูกจับขึ้นมาได้ 4,460,600 กิโลกรัมต่อปีซึ่งมากกว่าที่จับได้จากทะเลหลวงตอนบน ทะเลน้อย และทะเลสาบสูงคาดตอนนอกและยิ่งกว่านั้นทะเลหลวงตอนล่างยังเป็นแหล่งทรัพยากรสัตว์น้ำที่สำคัญคือกุ้งก้ามกรามอีกด้วย ขณะนี้บริเวณทะเลสาบสูงคลานมีการใช้ประโยชน์ในการเลี้ยงปลากะพง ขาวและกุ้งทะเลกันอย่างหนาแน่น ทะเลสาบสูงคลานจึงรับเอาสารเคมีและน้ำทิ้งจากชุมชนบริเวณรอบๆ ลงมา และยิ่งกว่านั้นการเติบโตอย่างรวดเร็วของเมืองหาดใหญ่และสงขลา น้ำทิ้งจากโรงงานอุตสาหกรรมและโรงงานแซฟเฟอร์ฟีนเป็นสาเหตุสำคัญที่ทำให้เกิดมลพิษในทะเลสาบสูงคลาน (Yamaguchi, 1995 : 51)

ในการติดตามศึกษาผลกระทบของการเกิดมลพิษ จากการปล่อยน้ำทิ้งลงสู่สิ่งแวดล้อมทางทะเล มักใช้การเปลี่ยนแปลงของประชาชमสัตว์น้ำดินขนาดใหญ่ในการตรวจสอบกันอย่างกว้างขวาง (Henderson and Ross, 1995 : 659) โดยเฉพาะแอนเนลิด (annelid) ซึ่งมีโพลีชีตเป็นชนิดที่มีความสำคัญและมักเป็นองค์ประกอบที่เด่นของสิ่งมีชีวิตในทะเลและ เอสทูรี (estuaries) อีกทั้งมีความหลากหลายของประเภทการกินอาหารด้วย ซึ่งส่วนใหญ่กินอาหารแบบกรองหรือกินซากอินทรีย์ สำหรับโพลีชีตที่กินซากอินทรีย์นั้นมีผลต่อผิวตากอนเนื่องจากการขุดรูทำให้เกิดการเคลื่อนที่ของน้ำบริเวณที่อาศัย (APHA, AWWA and WEF, 1995 :8501) นอกจากนี้พบว่า แอนเนลิดหลายชนิดอาศัยอยู่ทั่วทุกแห่งในโลก และเป็นสัตว์น้ำดินที่พบได้บ่อยๆ ในสิ่งแวดล้อมทางน้ำต่างๆ ซึ่งลักษณะการกระจาย ความชุกชุมและโครงสร้างที่มีความหลากหลายของกลุ่มแอนเนลิดมัก

ถูกใช้ในการประเมินคุณภาพน้ำและความสมมูลรัตน์ทางชีวภาพของระบบนิเวศในน้ำ (Klemm, 1985 : 1)

สำหรับการใช้สัตว์น้ำดินเป็นดัชนีชี้บวกภาวะมลพิษจากสารอินทรีย์ (indicator of organic pollutant) นั้นมีมาหลายทศวรรษแล้ว (Rosenberg, 1976 : 414-417 ; Wu, 1982 : 253-269 ; Hawthorne and Dauer, 1983 : 193-205 ; Brown, Gowen and Mcclusky, 1987 : 39-51 and Ferraro et al., 1991 : 383-407) นอกจากนี้ Quijón and Jaramillo (1993 : 665) ศึกษาพบว่า ความชุกชุมของสัตว์น้ำดินขนาดใหญ่บริเวณตะกอนดินประเภท muddy-sand มีความหลากหลายสูงกว่าบริเวณตะกอนดินประเภท sand อย่างไรก็ตาม การปล่อยน้ำทึบประเภทอินทรีย์ และอนินทรีย์ สารลงสู่แหล่งน้ำทำให้เกิดการสะสมในพื้นดินและเกิดการย่อยสลายทำให้สภาพพื้นดินเสื่อมลงและสัตว์น้ำดินจึงสูญหายไปด้วย (Kikuchi, 1991 : 145) จากการศึกษาของ Angsupanich and Kuwabara (1999 : 10) พบว่าบริเวณที่อยู่ใกล้จุดที่มีการปล่อยน้ำทึบ พบรัตต์น้ำดินน้อยมาก และค่อนข้างเพิ่มขึ้นตามระยะทางที่ห่างจากมลพิษอินทรีย์และสูงกว่าเมื่อผ่านจุดอีโคโทน (ecotone) ไปแล้ว

สำหรับการศึกษาสัตว์น้ำดินในทะเลสาบสงขลาในอดีตมีการศึกษาบ้างแล้ว (สวัสดิ์วงศ์สมนึกและ สมชาติ สุขวงศ์, 2511 : 41-75, 2513 : 231-261 ; ยงยุทธ ปรีดาลัมพะบุตร และนิคม ละ่องศิริวงศ์, 2540 ก : 1-37 ; Angsupanich and Kuwabara, 1995 : 115-125, 1999 : 1-13) เป็นการรายงานเฉพาะความอุดมสมมูลรัตน์แต่ไม่มีรายงานด้านความหลากหลายถึงระดับสกุล หรือ สปีชีส์ จึงได้ศึกษาเพื่อเป็นข้อมูลพื้นฐานทางนิเวศวิทยาของแอนเนลิดที่มีอยู่ในทะเลสาบสงขลา โดยเน้นเฉพาะพวกโพลีชีตซึ่งมักชุกชูกรอยู่ในดินและมีบทบาททำให้ออกซิเจนแพร่ผ่านลงในตะกอนระดับลึกได้ (Diaz and Rosenberg, 1995 : 245-303) โพลีชีตชนิดที่มีขนาดเล็กที่อาศัยอยู่ในท่อเมบบทบาทสำคัญต่อการแพร่กระจายของสารอาหารจากตะกอนไปสู่มวลน้ำ (Barbanti et al., 1992 : 475-487) อีกทั้งการชุดชูของโพลีชีตเป็นการเสริมให้มีการวนตะกอนและทำให้ก้าชีโตรเจนชัลไฟร์ด อาจจะแพร่กระจายออกจากตะกอนได้ดีอีกด้วย (Trevor, 1976 : 307-319)

นอกจากนี้ลักษณะเฉพาะหลาย ๆ ประการของประชาชัตว์น้ำดิน [ความหลากหลายของชนิด (species diversity) ความอุดมสมมูลรัตน์ของชนิด (species richness) การกระจายตัวของชนิดในองค์ประกอบ องค์ประกอบของชนิด และการเปลี่ยนแปลงความชุกชุม] มักถูกใช้ในการประเมินถึงความเสียหายของสิ่งแวดล้อมในเอสทูรี อันเกิดจากกิจกรรมของมนุษย์ (Hawthorne and Dauer, 1983 : 201) หากเกิดผลกระทบต่อแหล่งสัตว์น้ำดิน และคุณภาพน้ำในระยะยาวจะทำให้พื้นที่อาหาร และอนุบาลของปลาและกุ้งที่สำคัญทางเศรษฐกิจลดลงและมูลค่าทางเศรษฐกิจก็ลดต่ำลงด้วย (Llanso', 1992 : 513) การศึกษาครั้งนี้นอกจาก จะทราบถึงความชุกชุมและความหลากหลายของทะเลสาบสงขลา ซึ่งมีความสำคัญอย่างยิ่งต่อการนำไปสู่การพิจารณาในการจัดการสิ่งแวดล้อมในทะเลสาบสงขลาให้ได้อย่างเหมาะสมและยั่งยืนตลอดไป

## การตรวจสอบสาร

ทะเลสาบสงขลา มีลักษณะเป็นระบบทะเลสาบแบบลากูนขนาดใหญ่อยู่บริเวณชายฝั่ง ดัง อยู่ระหว่างละตitudที่  $7^{\circ}08'N$  และ  $7^{\circ}50'N$  ลองตitudที่  $100^{\circ}07'E$  และ  $100^{\circ}37'E$  ซึ่งเป็นลากูนที่มี ทางติดต่อกับทะเลทางเดียว ในลากูนได้รับอิทธิพลจากแม่น้ำ น้ำฝน หรือน้ำหลักจากบนบก มีน้ำ ขึ้นน้ำลงไม่มาก เป็นทะเลสาบเพียงแห่งเดียวของประเทศไทยมีพื้นที่ 1,047 ตารางกิโลเมตร สามารถแบ่งออกได้เป็น 3 ส่วน (Brohmanonda and Sungkasem, 1982 : 59-61) คือ

1. ทะเลน้อย (Thale Noi) เป็นส่วนตอนบนสุด มีพื้นที่ประมาณ 29.58 ตารางกิโลเมตร อยู่ในเขตจังหวัดพัทลุง

2. ทะเลสาบทอนในหรือตอนกลาง (Inner Lake หรือ Middle Lake) เป็นส่วนที่ใหญ่ที่สุด อยู่ด้านจากทะเลน้อยลงมาทางใต้ ซึ่งมักเรียกว่า “ทะเลหลวง” (Thale Luang) มีพื้นที่ 832.93 ตารางกิโลเมตรชายฝั่งตะวันตกอยู่ในเขตจังหวัดพัทลุงและชายฝั่งตะวันออกอยู่ในเขตจังหวัดสงขลา

3. ทะเลสาบทอนนอก หรือทะเลสาบ (Outer Lake หรือ Thale Sap) เป็นส่วนล่างสุด มี ทางปิดสู่ทะเล มีพื้นที่ประมาณ 183.49 ตารางกิโลเมตร อยู่ในจังหวัดสงขลา จึงมักเรียกว่า “ทะเลสาบสงขลา” (Thale Sap Songkhla)

ทะเลหลวงอาจจะแบ่งตามลักษณะทางภูมิศาสตร์ได้เป็น 2 ส่วน ได้แก่ ทะเลหลวงตอนบนซึ่งมีอาณาเขตตั้งแต่ส่วนล่างสุดของทะเลน้อยลงมาถึงตำบลลากะใหญ่ อำเภอระแสสินธุ์ และทะเลหลวงตอนล่าง มีอาณาเขตตั้งแต่ตำบลลากะใหญ่ลงมาถึงตำบลปากรอ อำเภอสิงหนคร ซึ่งทะเลหลวงตอนล่างนั้นมีความซับซ้อนและแยกพื้นที่ออกเป็น 2 สายโดยเกาะขนาดใหญ่ 3 เกาะ ได้แก่ เกาะใหญ่ เกาะมาก และเกาะนางคำ นอกจากนี้ยังมีคลองเชื่อมติดต่อกันหลายสายจนถึงตอนล่างของทะเลสาบ (Kuwabara 1995 : 1-13)

APHA, AWWA and WEF (1995 : 10500) “ได้อธิบายไว้ว่า สัตว์น้ำดินขนาดใหญ่ที่ไม่มีกระดูกสันหลัง (benthic macroinvertebrates) เป็นสัตว์ที่อาศัยอยู่ในหรือบนผิวดินดินหรือพื้นแบบอื่นๆ บริเวณระบบนิเวศของแหล่งน้ำจืด เอสทูรี และทะเล ตลอดทั้งชีวิตหรือช่วงหนึ่งของวงจรชีวิต อาจจะชุดรูอยู่ สร้างท่อ หรือสร้างรัง หรืออยู่บริเวณผิวดินหรืออยู่ในรากอินทรีย์ที่ทับกันและวัสดุอื่นๆ หรือเจ้ารูอยู่อย่างอิสระบริเวณพื้นที่อาศัย อีกทั้งสัตว์น้ำดินมี หลายขนาด ตั้งแต่ขนาดเล็กที่มองเห็นได้ยากไปจนถึงขนาดใหญ่ที่มองได้ชัดเจน อาจแบ่งเป็นกลุ่ม ได้ตามขนาดลำตัว ลักษณะการกินอาหาร และที่อยู่อาศัยซึ่งกับวัตถุประสงค์ของการศึกษา Mann (1980 : 106) แบ่งสัตว์น้ำดินตามลักษณะที่อยู่อาศัยได้ 2 กลุ่ม คือ epifauna หมายถึงพวกริมฝั่งที่อยู่ ตามพื้นผิวดิน ประกอบด้วย พวกริมฝั่งที่เคลื่อนที่อยู่บนผิวดินกับพวกริมฝั่งที่เกาะติดอยู่กับวัตถุ และอีกกลุ่ม หนึ่งคือ infauna หมายถึงพวกริมฝั่งที่ฝังตัวอยู่ในดินหรือในตะกอนโดยการขุดรู เช่น พวกร่อนเนลิต และ ยังแบ่งสัตว์น้ำดินตามขนาดได้ 3 กลุ่ม ได้แก่ macrofauna คือ กลุ่มที่มีขนาดตั้งแต่ 0.5 มิลลิเมตร ขึ้นไป meiofauna คือ กลุ่มที่มีขนาดตั้งแต่ 0.1-0.5 มิลลิเมตร และ microfauna คือ กลุ่มที่มีขนาด เล็กกว่า 0.1 มิลลิเมตร Henderson and Ross (1995 : 659) รายงานว่าการเปลี่ยนแปลงของ

ประชาคมสัตว์หน้าดินขนาดใหญ่ มีการใช้ในการติดตามตรวจสอบผลกระทบที่เกิดจากการปล่อยมลพิษลงสู่สิ่งแวดล้อมในทะเลกันอย่างกว้างขวาง ปริมาณสัตว์หน้าดินจะเปลี่ยนแปลงตามปัจจัยสิ่งแวดล้อม เช่น อุณหภูมิ ความเค็ม และดินตะกอน (Rosenberg, 1976 : 422)

Angsupanich and Kuwabara (1995 : 120-124) ศึกษาประชาคมสัตว์หน้าดินบริเวณทะเลสาบสงขลาตอนนอกระหว่างปี ค.ศ.1991-1993 พบร่วมกับความชุกชุมและองค์ประกอบของชนิดโดยทั่วไปมีมากในช่วงหลังมรสุมตะวันตกเฉียงใต้ (ตุลาคม) และลดลงอย่างเด่นชัดในช่วงกลางฤดูฝน (ธันวาคม) ภายใต้อิทธิพลของมรสุมตะวันออกเฉียงเหนือ ทั้งนี้ความแตกต่างของประชาคมไม่ใช้มีผลจากความแตกต่างขององค์ประกอบของตะกอนดินเพียงอย่างเดียวแต่จากการเปลี่ยนแปลงของความเค็มด้วย ในปี ค.ศ.1993 ผลผลิตของสัตว์หน้าดินลดลงอย่างเห็นได้ชัด แต่ในบางสถานี (สถานี 3) มีเปอร์เซ็นต์ของโพลีชีตและโอลิโกชีต (*oligochaetes*) เพิ่มสูงขึ้นอย่างเห็นได้ชัด อาจจะเนื่องมาจากการน้ำทึบของบ่อเลี้ยงกุ้งเป็นปัจจัยหลักที่ทำให้เกิดการเปลี่ยนแปลงและเป็นไปได้ว่ามีผลจากความแตกต่างของบริมาณฝน และในปี ค.ศ.1994-1995 ศึกษาการแพร่กระจายของสัตว์หน้าดินขนาดใหญ่ ในคลองพระวงศ์และคลอง อุตตะภาก ซึ่งเป็นคลองสาขาของทะเลสาบสงขลา พบร่วมกับความแปรผันของชนิดและการเปลี่ยนแปลงของสภาพแวดล้อมมีความชัดเจนทุกรุ่งที่เก็บตัวอย่าง แต่การเปลี่ยนแปลงทุกรุ่งมีความชับช้อนมาก ยกตัวอย่างเช่นรูปแบบที่มีลักษณะเฉพาะของประชาคมที่ค่อนข้างต่างกัน เช่น รูปแบบที่มีลักษณะเฉพาะของชนิดมีแนวโน้มสูงขึ้น “ไปจนถึงส่วนล่างของลำน้ำ ซึ่งมีความสัมพันธ์กับความเค็มที่สูงขึ้น และสัตว์หน้าดินทั้งสองกลุ่มนี้มีลักษณะคล้ายกับเอสทรีอีนๆ คือประชากรจะลดลงในฤดูฝน (Angsupanich and Kuwabara, 1999 : 10-12)

จากการศึกษาสัตว์หน้าดินขนาดใหญ่ในคลอง Buckingham โดย Prabhadevi and Ayyakkannu (1989 : 80-85) พบร่วมกับความสัมพันธ์กับดินตะกอน อินทรีย์คาร์บอนและการเปลี่ยนแปลงของสิ่งแวดล้อม เช่น อุณหภูมิ ความเค็ม และออกซิเจนที่ละลายน้ำ นอกจากนี้ความชุกชุมของสัตว์หน้าดินขนาดใหญ่ยังมีความสัมพันธ์โดยตรงกับทรัพย์ดินร่วน ดินเหนียว และอินทรีย์คาร์บอน อีกด้วย ในขณะที่ Merilaeinen (1988 : 227-292) รายงานว่า ความสัมพันธ์ของน้ำดีที่ไหลจากแม่น้ำกับน้ำทะเลเป็นปัจจัยหลักที่มีผลต่อความหนาแน่นของสัตว์หน้าดินในเอสทรีอีน

Quijó<sup>án</sup> and Jaramillo (1993 : 665) ศึกษาพบว่าความชุกชุมของสัตว์หน้าดินขนาดใหญ่ ที่อาศัยบริเวณโคลนปนทรายมีการแปรผันมากกว่าบริเวณตะกอนทราย และยังพบอีกว่าค่าความสัมพันธ์ระหว่างพารามิเตอร์สิ่งแวดล้อมและความชุกชุมของสัตว์หน้าดินขนาดใหญ่บริเวณโคลนปนทรายมีค่าสูงกว่าบริเวณตะกอนทรายด้วย Kikuchi (1991 : 145) พบร่วมกับการปล่อยน้ำทึบประเภทอินทรีย์ และอินทรีย์สาร ลงสู่แหล่งน้ำเกิดการสะสมบริเวณพื้นดิน และปริมาณออกซิเจนลดลง เนื่องจากเกิดการย่อยสลายทำให้สภาพพื้นดินเสื่อมลงและสัตว์หน้าดินก็สูญหายไปด้วย

แอนเนลิดหลายชนิดสามารถพบได้ทุกแห่งทั่วโลก นับเป็นสัตว์หน้าดินที่พบหลากหลายในสิ่งแวดล้อมของแหล่งน้ำ ซึ่งลักษณะการกระจาย ความชุกชุมและความหลากหลายของแอนเนลิดนี้มักถูกใช้ในการประเมินคุณภาพน้ำ และความสมบูรณ์ของระบบนิเวศแหล่งน้ำ (Klemm,

1985 :1) ประชามสัตว์หน้าดินได้รับการพิจารณาเป็นดัชนีทางชีวภาพที่ดีที่สุดสำหรับการตรวจสอบมลพิษในสิ่งแวดล้อมทางทะเล และเอสทูร์ (Wass, 1967 : 271-281)

สัตว์หน้าดินพวกโพลีซิต มักใช้เป็นตัวบอกรถึงบริเวณที่มีมลพิษ (Kikuchi, 1991 : 149) Warren (1984 : 238) รายงานว่า โพลีซิตกลุ่มที่อาศัยอยู่ในเขตน้ำขึ้นน้ำลงจำนวนมากสามารถดำเนินชีพในบริเวณที่มีออกซิเจนต่ำได้ เพราะว่ามีพื้นที่ผิวสัมผัสนานาด้านใหญ่ทำให้ออกซิเจนสามารถซึมผ่านผนังของร่างกายได้ทั่วตัว

Ajao and Fagade (1990 : 237) ศึกษาในเวศวิทยาของ *Capitella capitata* ในลาโกส ลากูน (lagos lagoon) พบว่าความชุกชุมมีอิทธิพลจาก silt-clay อินทรีย์ต่ำ ปริมาณโลหะในตะกอนและไฮโดรคาร์บอนต์ ทั้งนี้สัตว์ในเอสทูร์ส่วนใหญ่จะมีการปรับตัวให้อดทน เพื่ออาศัยอยู่ในสิ่งแวดล้อม เช่น ความเค็มและปริมาณออกซิเจนที่แปรผันได้ในช่วงกว้าง (Theede et al., 1969 : 325) แต่ถ้าหากมีผลกระทบต่อสัตว์หน้าดินที่รุนแรงทำให้ความอุดมสมบูรณ์ลดลง หรือสูญเสียไปจะมีผลทำให้ปลาหน้าดินเสื่อมโทรมลงหรือหมดไปถาวร (Llanso<sup>1</sup>, 1992 : 513)

จากการศึกษาทะเลขานบสงขลาตอนในของสวัสดิ์ วงศ์สมนึก และสมชาติ สุขวงศ์ (2511 : 41-50) พบว่า ลักษณะดินพื้นกันทะเลจัดอยู่ในประเภท Clay loam และ Silt clay loam มีอินทรีย์ต่ำ 2.1 เปอร์เซ็นต์ มีความชุกชุมและการแพร่กระจายของสัตว์หน้าดินในทะเลหลวงและทะเลเน้อย 5 ไฟลัม 30 วงศ์ 31 ชนิด ได้แก่ ไฟลัม Nematoda, Nemertea, Annelida, Arthropoda และ Mollusca โดยในทะเลหลวงมีค่ามวลชีวภาพของสัตว์หน้าดินเฉลี่ย 20.4 กรัมต่อดารองเมตร และบริเวณทะเลเน้อยมีค่ามวลชีวภาพเฉลี่ย 0.2 กรัมต่อดารองเมตร และพบว่าจำนวนชนิดและปริมาณมีการเปลี่ยนแปลงตามฤดูกาล ยงยุทธ ปรีดาลัมพะบุตร และนิคม ละองศิริวงศ์ (2540ก : 27-33) รายงานผลการศึกษาการเปลี่ยนแปลงและความสัมพันธ์ระหว่างตะกอนดินกับสัตว์หน้าดินในทะเลสาบสงขลา พบว่าสัตว์หน้าดินกลุ่มไส้เดือนทะเลในไฟลัม แอนเนลิดานั้นมีความเด่นในด้านความหลากหลายของชนิด ซึ่งมีถึง 19 วงศ์ และพบว่าคุณภาพของตะกอนดินมีอิทธิพลต่อโครงสร้างของสัตว์หน้าดินน้อย อย่างไรก็ตามพีเอช ไฮโดรเจนชัลไฟร์ และอินทรีย์ต่ำมีอิทธิพลต่อประชาชัตว์หน้าดินในทะเลสาบสงขลาตามลำดับ ประชาชัตว์หน้าดินมักถูกใช้ในการประเมินถึงความเสียหายของสิ่งแวดล้อมใน เอสทูร์อันเกิดจาก กิจกรรมของมนุษย์ (Hawthorn and Dauer, 1983 : 201) หากเกิดผลกระทบต่อแหล่งสัตว์หน้าดิน และคุณภาพน้ำในระยะยาวจะทำให้พื้นที่หาอาหาร และอนุบาลลูกปลาและกุ้งที่สำคัญทางเศรษฐกิจลดลงและมูลค่าทางเศรษฐกิจก็ลดต่ำลงด้วย (Llanso<sup>1</sup>, 1992 : 513)

## วัตถุประสงค์

1. ศึกษาความชุกชุมและความหลากหลายของสัตว์หน้าดินในไฟลัมแอนเนลิดา บริเวณทะเลหลวงตอนล่าง
2. ศึกษาความแปรผันตามฤดูกาลของจำนวนชนิดของสัตว์หน้าดินในไฟลัมแอนเนลิดา บริเวณทะเลหลวงตอนล่าง
3. ศึกษาลักษณะทางกายภาพและการเคลื่บบางประการของน้ำและดินตะกอน ที่มีความสัมพันธ์ต่อสัตว์หน้าดินในไฟลัมแอนเนลิดา

## บทที่ 2

### วิธีการวิจัย

#### 1. วัสดุและอุปกรณ์ (ผนวก 1)

##### 1.1 อุปกรณ์สำรวจพื้นที่

1.1.1 เรือยนต์

1.1.2 เครื่อง GPS (Global Positioning System) รุ่น Garmin GPS 50 Personal Navigator<sup>TM</sup>

##### 1.2 อุปกรณ์เก็บตัวอย่างน้ำ

1.2.1 ระบบอกเก็บน้ำแบบ Rutter's flushed sampler

1.2.2 ขวดแก้ว (BOD) ขนาด 300 มิลลิลิตร

1.2.3 ขวดพลาสติก ขนาด 1 ลิตร

##### 1.3 อุปกรณ์วิเคราะห์คุณสมบัติของน้ำ

1.3.1 อุปกรณ์เครื่องแก้วสำหรับวิเคราะห์ออกซิเจนที่ละลายน้ำ

1.3.2 เครื่องมือวัดความเค็ม Salinity meter รุ่น SAL 50 ซึ่งรายงานหน่วยวัดเป็น PSU (Practical Salinity Units) (Grasshoff, Ehrhardt and Kremling, 1983 : 31-35)

1.3.3 เครื่องมือวัดพีเอชของน้ำ (pH meter)

1.3.4 เครื่องซั่ง

1.3.5 Vacuum pump

1.3.6 ตู้อบ

##### 1.4 อุปกรณ์เก็บตะกอนดินและสัตว์น้ำดิน

1.4.1 เครื่องมือเก็บดิน แบบ Tamura's grab

1.4.2 ตะแกรงร่อน ขนาดตา 5 มม., 1 มม. และ 0.5 มม.

1.4.3 ปากคีบปลายแหลม

1.4.4 ถุงพลาสติกใส่ดิน

##### 1.5 อุปกรณ์วิเคราะห์ตัวอย่างตะกอนดิน

1.5.1 เครื่องแก้วสำหรับวิเคราะห์ อินทรีย์คาร์บอน อินทรีย์วัตถุ ในโตรเจนรวม ในดิน และองค์ประกอบของดิน

1.5.2 เครื่องมือวิเคราะห์ในโตรเจนรวมในดิน

1.5.3 เครื่องมือวัดพีเอช (pH meter)

1.5.4 ไฮโดรเมเตอร์ (hydrometer) ชนิดประเมินผลเนื้อดิน

### 1.5.5 เครื่องชั่ง 2 ตำแหน่ง

### 1.6 อุปกรณ์ศึกษาแอนเนลิด

#### 1.6.1 กล้องจุลทรรศน์แบบ stereo microscope และ compound microscope

#### 1.6.2 เครื่องชั่ง

#### 1.6.3 ปากคีบปลายแหลม

### 1.7 อุปกรณ์วิเคราะห์ข้อมูล

#### 1.7.1 คอมพิวเตอร์

## 2. พื้นที่ศึกษา

พื้นที่ศึกษาตั้งอยู่ระหว่างเส้นพิกัดที่  $7^{\circ}08' N$  ถึง  $7^{\circ}50' N$  และ  $100^{\circ}07' E$  ถึง  $100^{\circ}37' E$  (ภาพประกอบ 1) ซึ่งเป็นบริเวณทะเลลวงตอนล่างโดยกำหนดอาณาเขตตั้งแต่ตำบลเกาะใหญ่ อำเภอกระแสงสันธ์ ลงมาทางใต้จนถึงตำบลป่ากรอ อำเภอสิงหนคร จังหวัดสงขลา รวมพื้นที่ประมาณ 390 ตารางกิโลเมตร (รวมพื้นที่เกาะต่างๆ)

## 3. การกำหนดสถานีเก็บตัวอย่างและสภาพทางกายภาพของสถานีเก็บตัวอย่าง

กำหนดสถานีเก็บตัวอย่างจำนวน 9 สถานี ซึ่งแต่ละสถานีมีระยะห่างกันค่อนข้างสั้นๆ เสมอ ทั้งนี้กำหนดโดยอาศัยสภาพทางภูมิศาสตร์เป็นเกณฑ์ การเก็บตัวอย่างแต่ละครั้งใช้ GPS ช่วยในการค้นหาสถานีตามที่กำหนดไว้ ดังต่อไปนี้ คือ

สถานี 1 บ้านแหลมจาก ( $7^{\circ}16' 29'' N$  และ  $100^{\circ}25' 19'' E$ ) เป็นสถานีที่อยู่ส่วนล่างของทะเลลวง ก่อนที่จะเปิดสู่ทะเลสาบสงขลาตอนนอก ลักษณะพื้นที่มีเครื่องมือประมงประเภทไช่นั่ง วางเรียงรายทั่วไป บริเวณโดยรอบเป็นที่รับ มีป่าชายเลน มีพืชพวง ตาตุ่มทะเล (*Excoecaria agallocha*) และโพธิ์ทะเล (*Thespesia populnea*) ขึ้นอยู่ประมาณ มีนาข้าว ตันตาล และนาภู

สถานี 2 บ้านแกะนางคำ ( $7^{\circ}21' 09'' N$  และ  $100^{\circ}24' 35'' E$ ) ลักษณะพื้นที่มีเครื่องมือประมง ประเภทไช่นั่ง วางเรียงรายทั่วพื้นที่ บริเวณโดยรอบมีชุมชนกลุ่มเล็กๆ อยู่บริเวณเชิงเขาติดริมน้ำ ภูเขากูกุด ดินออกไปปะang ส่วน

สถานี 3 บ้านนาคราช ( $7^{\circ}23' 28'' N$  และ  $100^{\circ}21' 55'' E$ ) อยู่ระหว่างเกาะโโคบกับเกาะนางคำ แต่ ค่อนมาทางเกาะนางคำ มีเครื่องมือประมงประเภทไช่นั่ง และพืชพวง กระจุด (*Lepironia* sp.) ขึ้นประมาณ มีบ้านเรือนกระจายประมาณ 10 หลังคาเรือน มีนาภู

สถานี 4 บ้านแกะโโคบ ( $7^{\circ}29' 17'' N$  และ  $100^{\circ}24' 34'' E$ ) ลักษณะพื้นที่ มีกระจุด สาหร่ายทาง กระรอก (*Hydrilla* sp.) และดีปลีน้ำ (*Pomatogeton mucronatus* Presl) ขึ้นเป็นหย่อมๆ ทั่วพื้นที่ มีไช่นั่ง ประมาณ บริเวณโดยรอบเป็นที่รับ มีป่าชายเลน มีพืชพวง ลำพู (*Sonneratia caseolaris*) hairy lings (*Flagellaria indica*) ปรงหนู (*Acrostichum speciosum*) และอื่นๆ

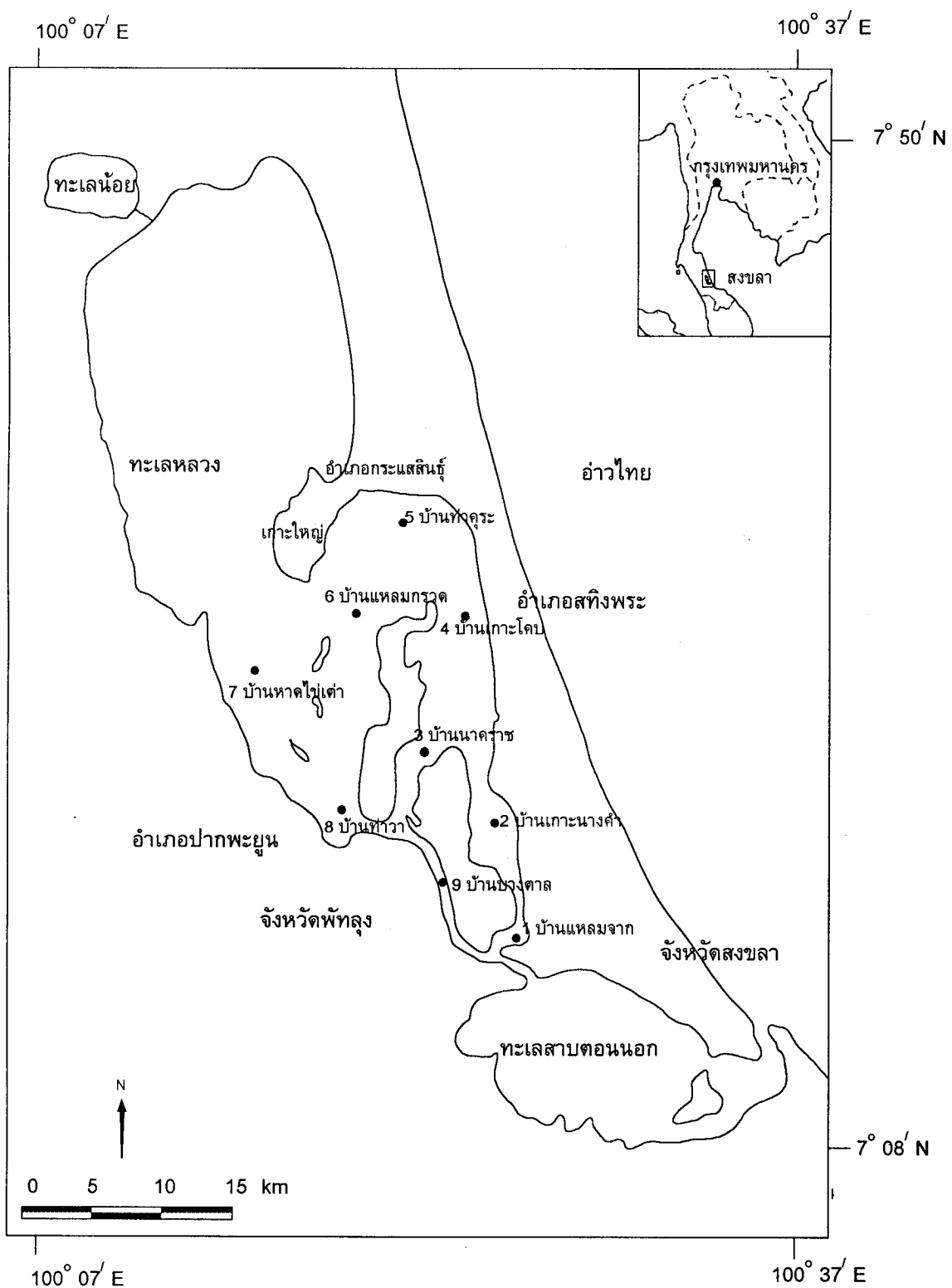
สถานี 5 บ้านท่าครุ (7°32' 56" N และ 100°23' 30" E) ลักษณะพื้นที่มีเครื่องมือประมงน้อย บริเวณโดยรอบเป็นป่าชายเลนมีต้นลำพู เป็นพืชชนิดเด่น มีชุมชนบนหาดเล็ก มีพื้นที่นา กุ้งน้อย

สถานี 6 บ้านแหลมกรวด (7°30' 02" N และ 100°19' 22" E) ลักษณะพื้นที่มีเครื่องมือประมงกระจายทั่วไป อยู่ใกล้กับสี เกาะห้า บริเวณตอนเหนือ พื้นดินประกอบด้วยกรวดเป็นส่วนใหญ่ เป็นแหล่งอาศัยของหอยกระพง (*Brachidontes arcuatulus*)

สถานี 7 บ้านหาดไทรเต่า (7°25' 46" N และ 100°19' 22" E) ลักษณะพื้นที่มีพืชนำจัดกระจายทั่วพื้นที่ มีชุมชนบนหาดกลางอยู่บนพื้นที่รกรากยังคงมี

สถานี 8 บ้านท่าวา (7°21' 34" N และ 100°19' 17" E) อยู่ลงมาทางตอนใต้ของเกาะสี เกาะห้า ลักษณะพื้นที่มีเครื่องมือประมงใช้นั่งหนานแน่นอยู่ใกล้ชุมชนปากพยูน ซึ่งเป็นชุมชนขนาดใหญ่

สถานี 9 บ้านบางตาล (7°18' 34" N และ 100°23' 01" E) ลักษณะพื้นที่อยู่ในสำคัญ บริเวณโดยรอบเป็นพื้นที่เลี้ยงกุ้งอย่างหนาแน่น ริมคลองมีการเลี้ยงปลาระพงขาวและปลา尼ลแดงในกระชัง มีป่าชายเลนโดยมีต้นลำพู เป็นชนิดเด่น นอกจากนั้นเมือง กองกาใบเล็ก (*Rhizophora apiculata*) กระดูก ปรงหนู สำมะหวง (*Clerodendrum inerme*) และ เหงือกปลาหม่อ (*Acanthus ebracteatus*) เป็นต้น



ภาพประกอบ 1 พื้นที่เก็บตัวอย่างบริเวณท่าเรือตอนล่าง

#### 4. การศึกษาคุณลักษณะทางกายภาพและเคมีของน้ำ

ทำการหาค่าพารามิเตอร์ทุกครั้งที่เก็บตัวอย่างสัตว์หน้าดินจำนวน 3 ช้ำต่อสถานีโดยวัดเฉพาะที่ระดับความลึกเหนือผิวดินไม่เกิน 50 ซม. ยกเว้นการวัดความลึก การวัดความลึกโดยใช้ลูกดึง เก็บน้ำด้วยระบบทอกเก็บน้ำแบบ Rutter's flushed sampler ขึ้นมาบนเรือและการหาค่าพารามิเตอร์ต่างๆ ทันที ได้แก่ อุณหภูมิหากค่าด้วยเทอร์โมมิเตอร์ (Thermometer) พีเอช หากค่าด้วยพีเอชมิเตอร์ (pH meter) และหากค่าความเค็มด้วย Salinity meter รุ่น SAL 50 ซึ่งรายงานหน่วยวัดเป็น PSU (Practical Salinity Units) ปริมาณตะกอนแขวนลอยในน้ำนำตัวอย่างกลับไปยังห้องปฏิบัติการ หากค่าด้วยวิธี อบแห้งที่อุณหภูมิ 103–105 °C (APHA-AWWA and WEF, 1995 : 2540) และหากค่าปริมาณออกซิเจนที่ละลายน้ำ ด้วยวิธี Azide-modification method (APHA-AWWA and WEF, 1995 : 4500)

#### 5. การศึกษาคุณลักษณะทางกายภาพและเคมีของตะกอนดิน

เก็บตัวอย่างดินตะกอนด้วย Tamura's grab ทุกครั้งที่เก็บตัวอย่างสัตว์หน้าดิน 3 ช้ำ ต่อสถานีใส่ถุงพลาสติกเก็บในที่ร่มแล้วนำกลับไปวิเคราะห์ในห้องปฏิบัติการ วัดขนาดอนุภาคเม็ดดิน (soil texture) ด้วยวิธี Hydrometer method (Gee and Bauder, 1986 : 383-412) วัดปริมาณอินทรีย์คาร์บอน และอินทรีย์วัตถุ ด้วยวิธีของ Walkley and Black, 1934 :29-38) วัดในโตรเจนทั้งหมดด้วยวิธี Kjeldahl (Bremner and Mulvaney, 1982 : 595-624) และค่าพีเอชในดินตะกอน ด้วยวิธี Electrometric method (Page, Baker and Keeney, 1982 : 208)

#### 6. การศึกษาแอนเนลิด

เก็บตัวอย่างทุก 2 เดือน (รวม 6 ครั้ง) เริ่มตั้งแต่เดือนเมษายน 2541 ถึงกุมภาพันธ์ 2542 ทั้งนี้ได้ยึดข้อมูลของ กองภูมิอากาศ (2532) ซึ่งระบุว่าฤดูร้อนอยู่ในช่วงกลางเดือนกุมภาพันธ์ถึงกลางเดือนพฤษภาคม ฤดูฝนตกน้อย (มรสุมตะวันตกเฉียงใต้) อยู่ในช่วงกลางเดือนพฤษภาคมถึงกลางเดือนตุลาคม และฤดูฝนตกหนัก (มรสุมตะวันออกเฉียงเหนือ) อยู่ในช่วงกลางเดือนตุลาคมถึงกลางเดือนกุมภาพันธ์

สำหรับการเก็บตัวอย่างสัตว์หน้าดินในแต่ละสถานีโดยดัดแปลงวิธีการของ Ferraro et al., (1991 : 384-386) และ McIntyre ; Elliott and Elliss (1984 : 1-26) และข้อเสนอแนะของ McIntyre, Elliott and Elliss (1984 : 1-26) ดังนี้ในการศึกษาครั้งนี้เก็บตัวอย่างสัตว์หน้าดินด้วย Tamura's grab (พื้นที่ 0.05 ตารางเมตร) สถานีละ 11 grab (ช้ำ) เพื่อให้ได้ตัวอย่างครอบคลุมทั้งจำนวนชนิด และจำนวนตัวแล้วร่อนตัวอย่างแต่ละgrab ด้วยตะแกรงที่มีขนาดตา 5 มม., 1 มม. และ 0.5 มม. แล้วเก็บรักษาตัวอย่างสัตว์หน้าดินด้วยน้ำยา formalin 10% ผสม rose bengal ซึ่งมีพีเอชเป็นกลางโดยปรับค่าด้วยบอร์เร็กซ์ (Borex) นำกลับมาที่ห้องปฏิบัติการทำการแยกตัวอย่างออกจากเศษขยะหรืออื่นๆ (sorting) จากนั้นย้ายไปเก็บรักษาไว้ในแอลกอฮอล์ 70 เปอร์เซ็นต์ (Angsupanich and

Kuwabara, 1995 : 115) นำไปจำแนกออกเป็นไฟลัม และในไฟลัมแอนเนลิดาจำแนกจนถึงระดับสกุล และ/หรือสปีชีส์โดยเน้นในกลุ่มโพลีชีต นับจำนวนตัวแต่ละชนิดในแต่ละ grab ซึ่งน้ำหนักเปียกของตัวอย่างแต่ละชนิดในแต่ละ grab ส่วนแอนเนลิดกลุ่มนี้อาจจะจำแนกถึงระดับวงศ์ ในการจำแนกแอนเนลิดานี้ได้ทำการ dissect ส่วนต่างๆของสัตว์แต่ละตัวแล้วศึกษาเปรียบเทียบกับเอกสารต่างๆ เช่น Fauvel, 1932 ; Imajima and Hartman, 1964 ; Day, 1967a, 1967b ; Fauchald, 1977 ; Dauvin, Laubier and Reish, 1994 ; Hutchings and Murray, 1984 ; Hayward and Ryland, 1995 ; Blake, Hilbig and Scott, 1995 เป็นต้น

## 7. การวิเคราะห์ข้อมูลทางสถิติ

วิเคราะห์ผลการศึกษาโดยใช้โปรแกรม PRIMER (Plymouth Routines In Multivariate Ecological Research) เมื่อทำการจำแนกตัวอย่างสัตว์หน้าดินกลุ่มโพลีชีตและวิเคราะห์คุณภาพน้ำและดินตะกอน เสร็จแล้วบันทึกข้อมูลไว้ในโปรแกรม Microsoft Excel 2.1 จากนั้นนำไปวิเคราะห์ด้วยโปรแกรม Primer 4.0b ตามวิธีของ Clarke and Warwick (1994) ซึ่งประกอบด้วยโปรแกรมย่อยคำนวณค่าทางสถิติ และดังนี้ต่างๆ ดังนี้

7.1 จัดกลุ่มคุณภาพตะกอนดินและน้ำ (Principal Components Analysis, PCA) โดยนำค่าเฉลี่ยของแต่ละเดือนแต่ละสถานีมาสร้างภาพ 2 มิติ ด้วยโปรแกรม PCA

7.2 วิเคราะห์ univariate indices ของประชาชุมชนเนลิด ได้แก่ Shannon-Wiener's diversity index, species richness และ evenness ของแต่ละสถานี แต่ละเดือนด้วยโปรแกรม DIVERSE บรรจุที่ใช้ในการวิเคราะห์ดังนี้

### 7.2.1 Shannon-Wiener's Index ( $H'$ )

มีคุณสมบัติสองประการ คือ

$H'$  เท่ากับ 0 เมื่อในตัวอย่างมีเพียงสปีชีส์เดียว

$H'$  มีค่าสูงสุดเมื่อจำนวนสปีชีส์เท่ากับจำนวนตัว นั่นคือ การแพร่กระจายเท่าความชุกชุม

สมการของ  $H'$  คือ

$$H' = - \sum_{i=1}^s (p_i \ln p_i)$$

เมื่อ  $s$  และ  $p_i$  เป็นพารามิเตอร์ของประชากร

$s$ =จำนวนสปีชีส์

$p_i$ =สัดส่วนจำนวนสัตว์หน้าดินแต่ละชนิดต่อจำนวนสัตว์หน้าดินทั้งหมด

$p_1, p_2, p_3, \dots, p_s$

ค่า  $H'$  ที่ได้นำมาคำนวณหา species evenness จากสมการ Pielou's evenness

### 7.2.2 evenness

$$E=H' / \ln(s)$$

เมื่อ  $H'$  คือ Shannon-Wiener's index

$s$  คือ จำนวนสปีชีส์

### 7.2.3 Bray-Curtis similarity ดังสมการ

$$D = \sum_{i=1}^s |(x_{1j} - x_{2j}) / (x_{1j} + x_{2j})|$$

เมื่อ  $x_{1j}$ ,  $x_{2j}$  คือ ความชุกชุมของสปีชีส์  $j$  ที่ สถานี 1 และ 2

$s$  คือ จำนวนสปีชีส์

### 7.2.4 species richness

$$\text{Margalef's index } (d) = (s-1)/\ln N$$

7.3 วิเคราะห์ multivariate indices ของประชากรมแอนเนลิด เพื่อแสดงถึงการจัดโครงสร้างทางสังคม ดังนี้

7.3.1 วิเคราะห์ cluster โดยแปลงข้อมูลแบบ double square root และวัดความคล้ายคลึงกันแบบ Bray-Curtis (Bray-Curtis similarities) ผลการวิเคราะห์ที่ได้แสดงในรูปของเดนrogram (dendrogram) โดยใช้โปรแกรม CLUSTER และ DENPLOT

7.3.2 สร้างภาพ 2 มิติ (non-metric Multidimensional Ordination Scaling, MDS) โดยแปลงข้อมูลแบบ double square root เช่นเดียวกับการวิเคราะห์ cluster แต่ผลการวิเคราะห์ที่ได้แสดงลงบนระนาบ 2 มิติ โดยใช้โปรแกรม MDS และ CONPLOT

7.3.3 ทดสอบความแตกต่างของการจัดกลุ่มแอนเนลิด ด้วยวิธี One Way Analysis of Similarities (ANOSIM Test) แบบ Simulation/permuation test

7.3.4 วิเคราะห์สหสัมพันธ์ระหว่างคุณภาพสิ่งแวดล้อม กับประชากรแอนเนลิด โดยนำข้อมูลคุณภาพน้ำและดิน กับข้อมูลประชากรแอนเนลิดที่วิเคราะห์ได้แต่ละสถานีแต่ละเดือน ส่วนค่าสหสัมพันธ์ (Best variable combinations,  $\rho_w$ ) ในแต่ละสถานีแต่ละเดือน ส่วนค่าสหสัมพันธ์ ของทั้งทะเลลงตอนล่างใช้ค่าเฉลี่ยของคุณภาพสิ่งแวดล้อมและสัตว์น้ำเดือนแต่ละสถานี ผลการวิเคราะห์ที่ได้แสดงในรูปของค่า Harmonic Rank Correlation Coefficient (weighted spearman) โดยตัวแปรคุณภาพสิ่งแวดล้อมแต่ละชุดเกิดจากการรวม (combination) ของตัวแปรคุณภาพสิ่งแวดล้อมตั้งแต่ 1 ตัวแปรไปจนถึง 13 ตัวแปร โดยใช้โปรแกรม BIOENV

7.3.5 วิเคราะห์ความสัมพันธ์ระหว่างความชุกชุมกับมวลชีวภาพ (ABC plots)

## บทที่ 3

### ผลการวิจัย

#### 1. ปัจจัยสิ่งแวดล้อม

##### 1.1 คุณลักษณะทางกายภาพและเคมีของน้ำ

###### 1.1.1 การแปรผันของคุณลักษณะทางกายภาพและเคมี

คุณลักษณะของน้ำในทะเลล่วงตอนล่างเชิงสถานีและเชิงเวลา ในระหว่างเดือนเมษายน 2541 ถึง กุมภาพันธ์ 2542 (ภาคประกอบ 2) ดังต่อไปนี้

ความลึก ทั้งทะเลล่วงตอนล่างอยู่ในช่วง 0.3-2.7 เมตร (เฉลี่ย  $1.4 \pm 0.3$  เมตร) สถานี 4 มีความลึกเฉลี่ยต่ำสุดโดยมีค่าอยู่ในช่วง 0.5-1.3 เมตร (เฉลี่ย  $0.8 \pm 0.3$  เมตร) และสถานี 8 เฉลี่ยสูงสุดโดยมีค่าอยู่ในช่วง 1.8-2.7 เมตร (เฉลี่ย  $2.2 \pm 0.4$  เมตร) เดือนสิงหาคมมีความลึกเฉลี่ยต่ำที่สุดโดยมีค่าอยู่ในช่วง 0.3-2.0 เมตร (เฉลี่ย  $1.0 \pm 0.5$  เมตร) และเดือนกุมภาพันธ์ 2542 เฉลี่ยสูงสุดโดยมีค่าอยู่ในช่วง 1.1-2.5 เมตร (เฉลี่ย  $1.8 \pm 0.4$  เมตร) ทั้งนี้ความลึกขึ้นกับฤดูกาลและสภาพทางภูมิศาสตร์ของแต่ละพื้นที่ด้วย ดังเช่นสถานี 4 เป็นบริเวณที่มีการทับถมของตะกอนสูงมาก มีพืชนา (กระฉุด *Lepironia* sp.) ขึ้นทั่วบริเวณจึงเป็นสถานีที่ดีกว่าสถานีอื่นๆ ส่วนสถานี 8 มีลักษณะเป็นร่องน้ำขนาดใหญ่ กระแสนำไหหล่อหนาแน่น จึงมีความลึกมากกว่าทุกสถานี อย่างไรก็ตามจะเห็นว่าระดับความลึกจากสถานี 1 ถึงสถานี 4 ค่อยๆ ลดลงจนต่ำสุดจากนั้นค่อยๆ เพิ่มขึ้นจนลึกที่สุดที่สถานี 8 จากนั้นลดต่ำลงอีกร้อยที่สถานี 9

พื้นที่น้ำ ทั้งทะเลล่วงตอนล่างมีค่าอยู่ในช่วง 5.6-8.6 . (เฉลี่ย  $7.2 \pm 0.8$ ) สถานี 5 มีค่าเฉลี่ยต่ำสุดโดยมีค่าอยู่ในช่วง 5.9-7.8 (เฉลี่ย  $7.0 \pm 0.6$ ) และสถานี 7 มีค่าเฉลี่ยสูงสุดโดยมีค่าอยู่ในช่วง 5.7-8.5 (เฉลี่ย  $7.4 \pm 1.1$ ) เดือนธันวาคมมีค่าเฉลี่ยต่ำที่สุดโดยมีค่าอยู่ในช่วง 5.6-6.2 (เฉลี่ย  $5.8 \pm 0.2$ ) และเดือนเมษายนมีค่าเฉลี่ยสูงสุดโดยมีค่าอยู่ในช่วง 7.2-8.5 (เฉลี่ย  $7.9 \pm 0.4$ ) จะเห็นว่ามีความแตกต่างกันไม่ชัดเจนในเชิงสถานี ส่วนเชิงเวลาโดยเฉพาะเดือนธันวาคม พื้นที่ต่ำมากทุกสถานีแตกต่างจากเดือนอื่น ๆ ค่อนข้างชัดเจนและเพิ่มขึ้นเล็กน้อยในเดือนกุมภาพันธ์ 2542 แต่ในเชิงสถานีของเดือนทั้งสอง ไม่มีความแตกต่างที่ชัดเจน

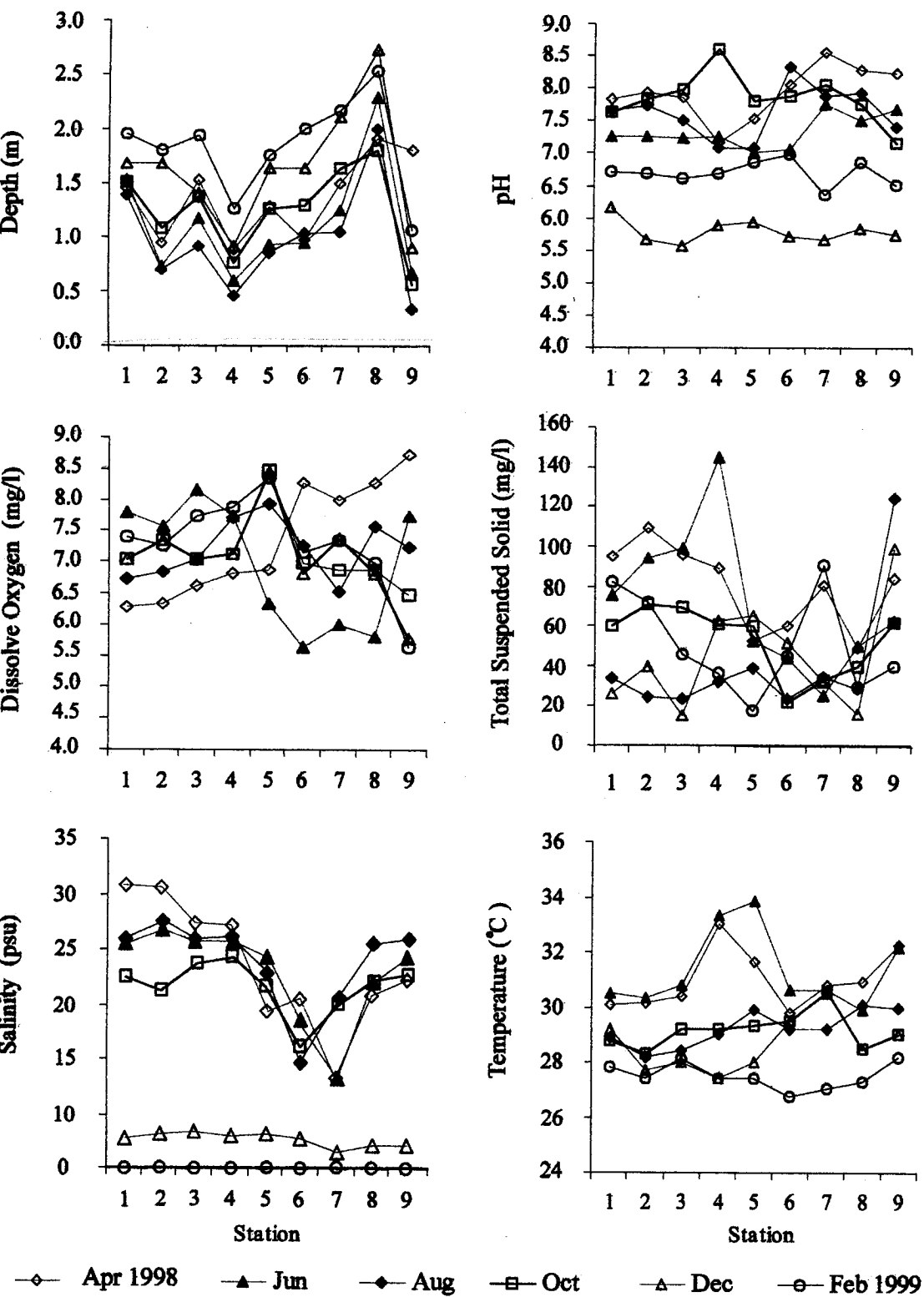
ปริมาณออกซิเจนที่ละลายในน้ำ ทั้งทะเลล่วงตอนล่างมีค่าอยู่ในช่วง 5.6-8.7 มิลลิกรัม/ลิตร (เฉลี่ย  $7.2 \pm 0.1$  มิลลิกรัม/ลิตร) สถานี 9 มีค่าเฉลี่ยต่ำสุดโดยมีค่าอยู่ในช่วง 5.6-8.7 มิลลิกรัม/ลิตร (เฉลี่ย  $6.9 \pm 1.2$  มิลลิกรัม/ลิตร) และสถานี 5 มีค่าเฉลี่ยสูงสุดโดยมีค่าอยู่ในช่วง 6.3-8.5 มิลลิกรัม/ลิตร (เฉลี่ย  $7.7 \pm 0.9$  มิลลิกรัม/ลิตร) เดือนมิถุนายนมีค่าเฉลี่ยต่ำที่สุดโดยมีค่าอยู่ในช่วง 5.6-8.2 มิลลิกรัม/ลิตร (เฉลี่ย  $7.0 \pm 1.0$  มิลลิกรัม/ลิตร) และเดือนเมษายนมีค่าเฉลี่ยสูงสุดโดยมีค่าอยู่ในช่วง 6.3-8.7 มิลลิกรัม/ลิตร (เฉลี่ย  $7.4 \pm 1.0$  มิลลิกรัม/ลิตร) ทั้งนี้ในแต่ละเดือนแตกต่างกัน

ไม่มากนัก แต่มีแนวโน้มว่าสูงขึ้นตามระเบียบทาง จากสถานี 1-5 พบรอยุ่นในช่วง 7.1-7.7 มิลลิกรัม/ลิตร จากนั้นลดต่ำลงอีกจนถึงสถานี 9 (6.9 มิลลิกรัม/ลิตร) ยกเว้นเดือนเมษายน ออกซิเจนจะค่อยๆ เพิ่มสูงขึ้นตั้งแต่สถานี 1 ถึง 9 พbmีค่าอยู่ในช่วง 6.3-8.7 มิลลิกรัม/ลิตร

ปริมาณตะกอนแขวนลอยในน้ำ ทั้งทะเลลงตอนล่างมีค่าอยู่ในช่วง 15.5-144.5 มิลลิกรัม/ลิตร (เฉลี่ย  $56.8 \pm 0.01$  มิลลิกรัม/ลิตร) สถานี 8 มีค่าเฉลี่ยต่ำสุดโดยมีค่าอยู่ในช่วง 16.2-49.7 มิลลิกรัม/ลิตร (เฉลี่ย  $35.4 \pm 0.01$  มิลลิกรัม/ลิตร) และสถานี 9 มีค่าเฉลี่ยสูงสุดโดยมีค่าอยู่ในช่วง 40.2-124.5 มิลลิกรัม/ลิตร (เฉลี่ย  $78.6 \pm 0.03$  มิลลิกรัม/ลิตร) เดือนธันวาคม มีค่าเฉลี่ยต่ำที่สุดโดยมีค่าอยู่ในช่วง 15.5-99.0 มิลลิกรัม/ลิตร (เฉลี่ย  $45.0 \pm 0.02$  มิลลิกรัมต่อลิตร) และเดือนเมษายน มีค่าเฉลี่ยสูงสุดโดยมีค่าอยู่ในช่วง 48.9-108.8 มิลลิกรัม/ลิตร (เฉลี่ย  $79.1 \pm 0.02$  มิลลิกรัม/ลิตร) ทั้งนี้พบว่าสถานี 2 มีแนวโน้มเพิ่มขึ้นจากสถานี 1 จากนั้นมีแนวโน้มลดลงตามระเบียบทาง จนถึงสถานี 8 แล้วสูงขึ้นอีกรังสีสถานี 9 ยกเว้นสถานี 4 เดือนมิถุนายนและสถานี 9 เดือนสิงหาคมที่มีค่าสูงมาก ทั้งนี้อาจเนื่องมาจากการแสลงที่รุนแรงและฝนที่ตกลงมา

ความเค็ม ทั้งทะเลลงตอนล่างอยู่ในช่วง 0.0-30.2 พีเอสยู (เฉลี่ย  $14.5 \pm 10.2$  พีเอสยู) สถานี 7 มีค่าเฉลี่ยต่ำสุดโดยมีค่าอยู่ในช่วง 0.0-18.1 พีเอสยู (เฉลี่ย  $9.4 \pm 7.6$  พีเอสยู) และสถานี 2 มีค่าเฉลี่ยสูงสุดโดยมีค่าอยู่ในช่วง 0.02-29.9 (เฉลี่ย  $17.4 \pm 12.6$  พีเอสยู) เดือนกุมภาพันธ์ 2542 มีค่าเฉลี่ยต่ำที่สุด โดยมีค่าอยู่ในช่วง 0.0-0.04 พีเอสยู (เฉลี่ย  $0.02 \pm 0.01$  พีเอสยู) ส่วนเดือนสิงหาคมมีค่าเฉลี่ยสูงสุดโดยมีค่าอยู่ในช่วง 11.2-26.4 พีเอสยู (เฉลี่ย  $22.1 \pm 4.8$  พีเอสยู) อย่างไรก็ตามเดือนเมษายน ถึงตุลาคม มีระดับความเค็มต่างกันไม่มาก โดยอยู่ในช่วง 19.3-22.1 พีเอสยู ส่วนเดือนธันวาคม ความเค็มลดต่ำลงมาก (3.0 พีเอสยู) และกุมภาพันธ์มีค่าความเค็มต่ำที่สุด (0.02 พีเอสยู) เนื่องจากได้รับอิทธิพลจากฝน สำหรับการเปลี่ยนแปลงในเชิงสถานีพบว่าระดับความเค็มนี้แนวโน้มลดลงตามระเบียบทางจากสถานี 1 (17.0 พีเอสยู) ถึงสถานี 7 (9.4 พีเอสยู) จากนั้นเพิ่มสูงขึ้นไปถึงสถานี 9 (15.1 พีเอสยู) ซึ่งมีความเค็มใกล้เคียงกับสถานี 1 ทั้งนี้ยกเว้นเดือนธันวาคม มีความเค็มของทุกสถานีอยู่ในช่วง 1.6-3.8 พีเอสยู และเดือนกุมภาพันธ์ มีความเค็มอยู่ในช่วง 0.0-0.04 พีเอสยู

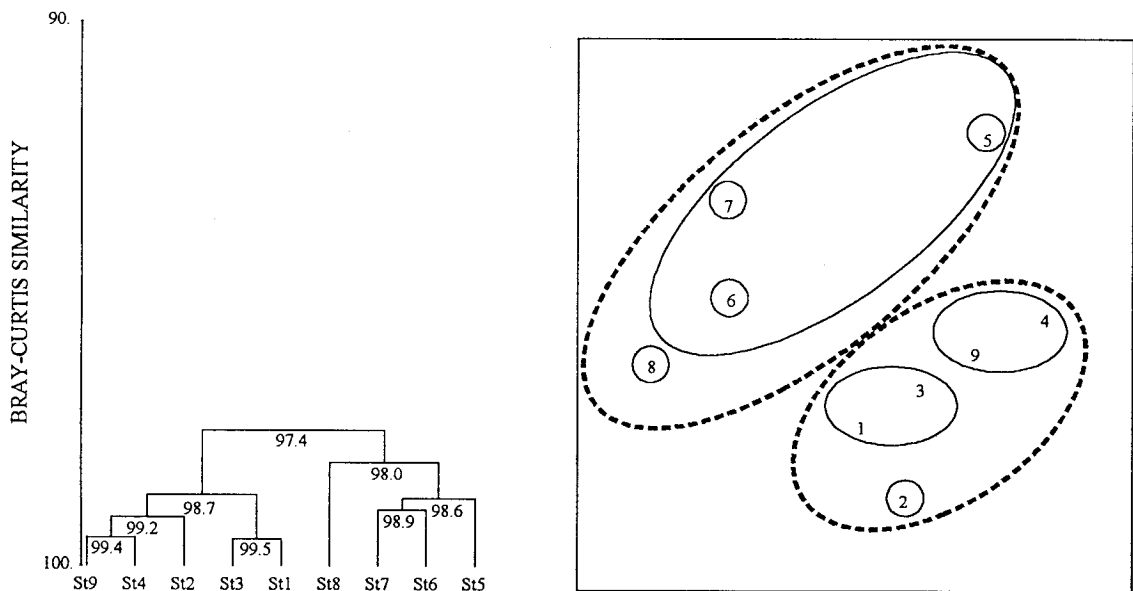
อุณหภูมิน้ำ ทั้งทะเลลงตอนล่าง อยู่ในช่วง 26.8-33.8 องศาเซลเซียส (เฉลี่ย  $29.5 \pm 1.5$  องศาเซลเซียส) สถานี 2 มีค่าเฉลี่ยต่ำสุดโดยมีค่าอยู่ในช่วง 27.4-30.3 องศาเซลเซียส (เฉลี่ย  $28.7 \pm 1.2$  องศาเซลเซียส) และสถานี 9 มีค่าเฉลี่ยสูงสุดโดยมีค่าอยู่ในช่วง 28.2-32.2 องศาเซลเซียส (เฉลี่ย  $30.1 \pm 1.7$  องศาเซลเซียส) เดือนกุมภาพันธ์ 2542 มีค่าเฉลี่ยต่ำที่สุดโดยมีค่าอยู่ในช่วง 26.8-28.2 องศาเซลเซียส (เฉลี่ย  $27.5 \pm 0.5$  องศาเซลเซียส) และเดือนมิถุนายนมีค่าเฉลี่ยสูงสุดโดยมีค่าอยู่ในช่วง 29.9-33.8 องศาเซลเซียส (เฉลี่ย  $31.3 \pm 1.4$  องศาเซลเซียส) ทั้งนี้ขึ้นอยู่กับเวลาของการวัดแต่ละจุดตัวย



ภาพประกอบ 2 คุณภาพน้ำทางกายภาพและเคมีบริเวณทะเลตอนล่าง ระหว่าง  
เดือนเมษายน 2541 ถึง เดือนกุมภาพันธ์ 2542

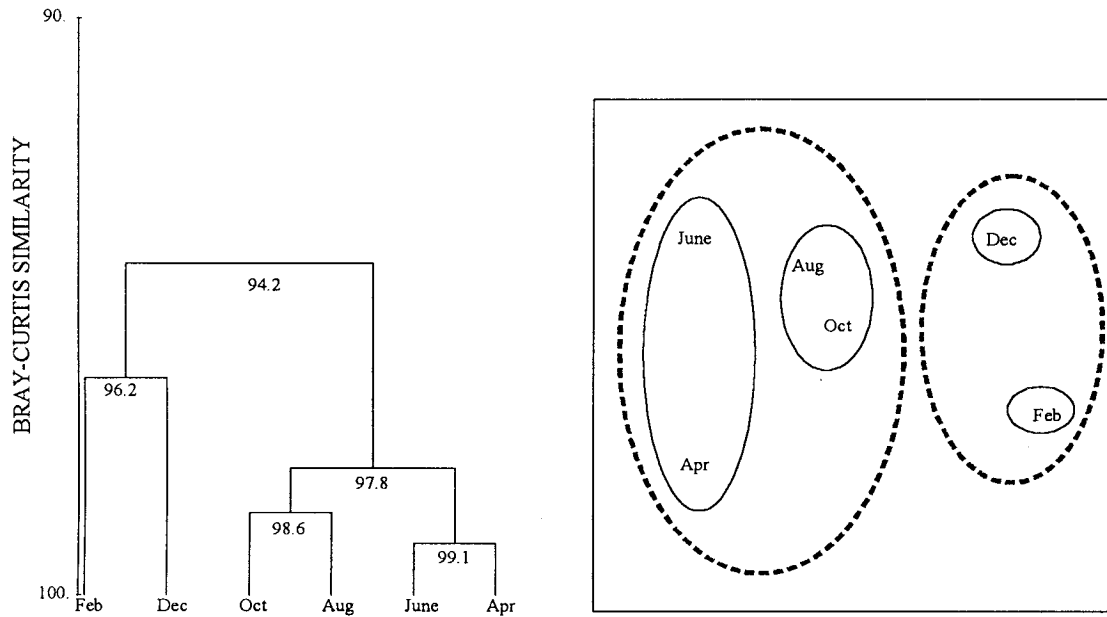
### 1.1.2 PCA ของคุณลักษณะทางกายภาพและเคมีของน้ำ

จากการวิเคราะห์คุณลักษณะของน้ำสามารถจัดกลุ่มทั้งในเชิงสถานีและเชิงเวลาเพื่อให้เห็นถึงความคล้ายคลึงกันของแต่ละสถานีและแต่ละเดือนได้ ด้วยการวิเคราะห์ PCA โดยอาศัยผลจากการวิเคราะห์ CLUSTER ซึ่งได้จาก Bray-Curtis similarities พบว่าในเชิงสถานี มีความคล้ายคลึงกันสูงมาก (97.4%) (ภาพประกอบ 3) อย่างไรก็ตามสามารถแบ่งกลุ่มได้ 2 กลุ่ม โดยกลุ่มที่ 1 [สถานี 1-2-3-4-9] มีการรวมกันอยู่เป็นกลุ่ม ซึ่งบอกถึงความคล้ายคลึงกันสูง (98.7%) ในขณะที่กลุ่มที่ 2 [สถานี 5-6-7-8] รวมกลุ่มกันอยู่อีกกลุ่มหนึ่ง ซึ่งมีความคล้ายคลึงกัน 98.0% นอกจากนี้สามารถแบ่งกลุ่มได้มากขึ้นหากพิจารณาที่ระดับความคล้ายคลึงที่สูงขึ้น ดังแสดงให้เห็นด้วยวงเส้นทึบที่อยู่ภายในวงเส้นประ



ภาพประกอบ 3 การจัดกลุ่มคุณภาพน้ำเชิงสถานี ที่ได้จากการวิเคราะห์ PCA โดยแบ่งกลุ่มตามผลการวิเคราะห์ cluster (Stress=0.03) หมายเหตุ : 1-9 หมายถึงสถานีที่เก็บตัวอย่าง

เมื่อพิจารณาในเชิงเวลา พบว่า มีความคล้ายคลึงกันสูง (94.2%)(ภาพประกอบ 4) อย่างไรก็ตามสามารถแบ่งกลุ่มได้ 2 กลุ่มตามฤดูกาล โดยกลุ่มที่ 1 [เมษายน-มิถุนายน-สิงหาคม-ตุลาคม] มีความคล้ายคลึงกัน 97.8% กลุ่มที่ 2 [ธันวาคม-กุมภาพันธ์] มีความคล้ายคลึงกัน 96.2% แสดงให้เห็นถึงการรวมกลุ่มกันของแต่ละเดือนซึ่งมีความคล้ายคลึงกัน อย่างไรก็ตามหากพิจารณาที่ระดับความคล้ายคลึงที่สูงขึ้นสามารถแบ่งกลุ่มได้มากขึ้น ดังแสดงให้เห็นด้วยวงเส้นทึบที่อยู่ภายในวงเส้นประ

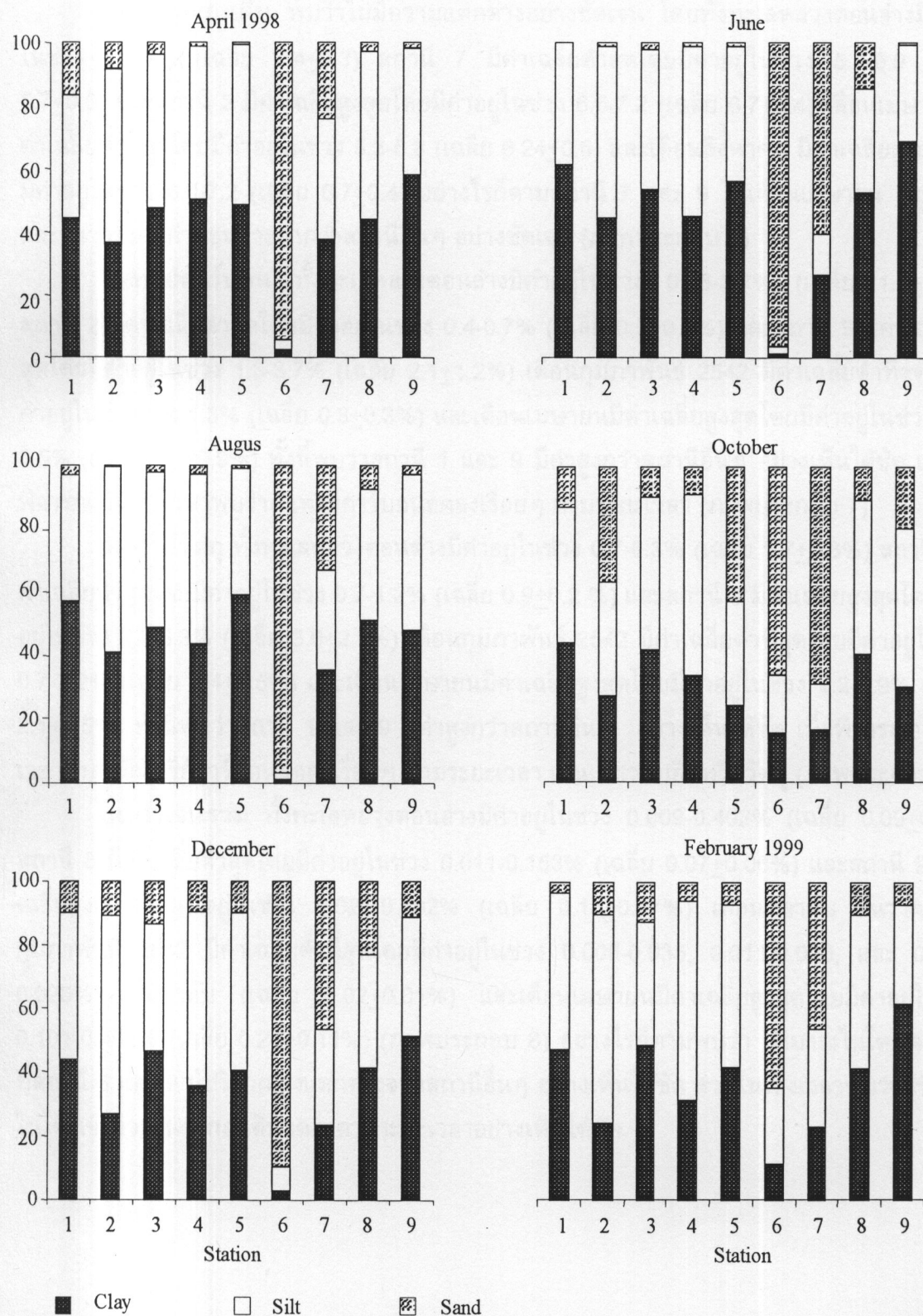


ภาพประกอบ 4 การจัดกลุ่มคุณภาพน้ำเชิงเวลา ที่ได้จากการวิเคราะห์ PCA โดยแบ่งกลุ่มตามผลการวิเคราะห์ cluster (Stress=0.03)

## 1.2 คุณลักษณะทางกายภาพและเคมีของตะกอนดิน

### 1.2.1 การแปรผันของคุณลักษณะทางกายภาพและเคมี

ขนาดอนุภาคตะกอนดิน เดือนเมษายน 2541 ถึง กุมภาพันธ์ 2542 มีค่า Sand, Silt และ Clay ของทุกสถานีอยู่ในช่วง 0.30-68.50, 13.42-65.26 และ 16.72-68.95% ตามลำดับ ยกเว้นสถานี 6 มีค่าเฉลี่ย Sand สูงมาก Silt และ Clay มีค่าต่ำกว่าสถานีอื่นๆ โดยมีค่าอยู่ในช่วง 64.46-96.81, 1.70-23.98 และ 1.49-15.57% ตามลำดับ (ภาพประกอบ 5)



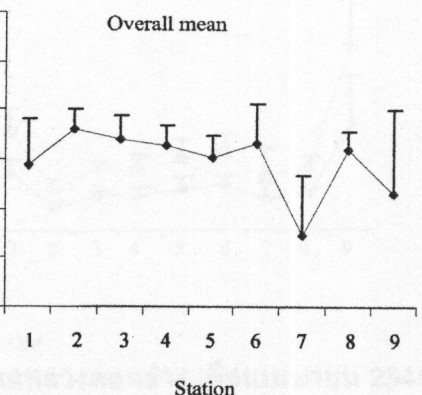
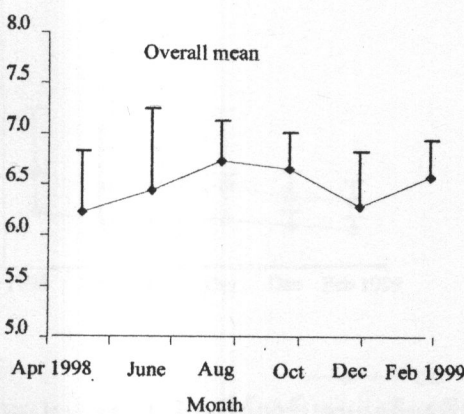
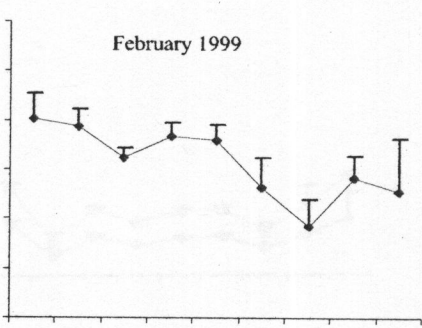
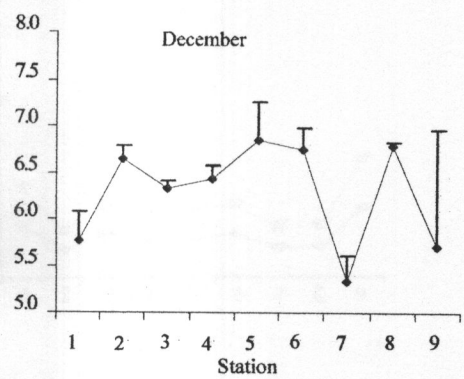
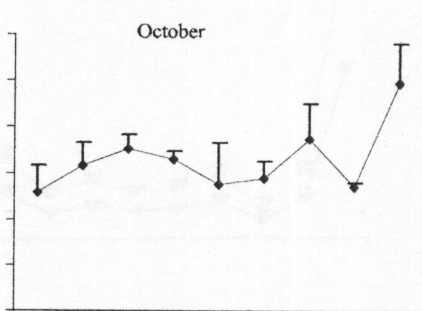
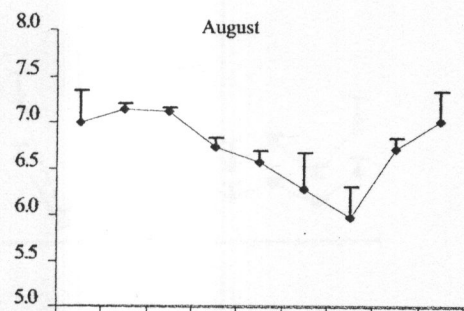
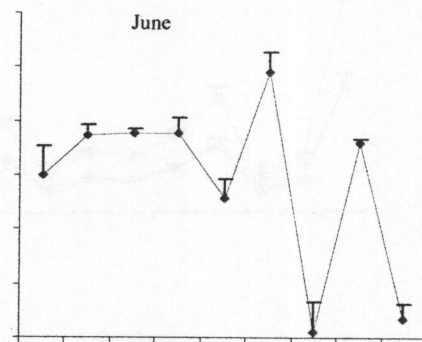
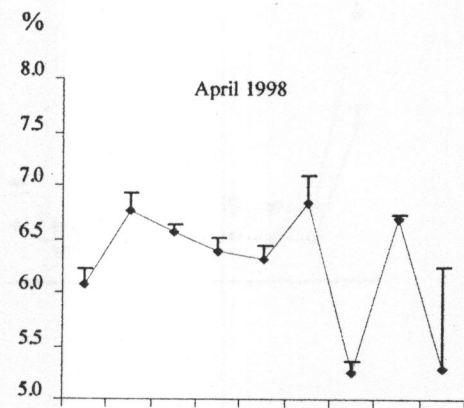
ภาพประกอบ 5 เปอร์เซ็นต์ของ Sand, Silt และ Clay แต่ละสถานีในทะเลสาบต่อน้ำล่าง  
(เมษายน 2541 ถึง กุมภาพันธ์ 2542)

พิอีชตະกອນດິນ ພບວ່າໄມ້ມີຄວາມແຕກຕ່າງອ່າງຫັດເຈນ ໂດຍທັງທະເລທລວງຕອນລ່າງມີຄ່າອູ່ໃນຊ່ວງ 5.1-7.5 (ເຈລື້ຍ 6.4 $\pm$ 0.3) ສະຖານີ 7 ມີຄ່າເນັລີ່ຍຕໍ່ສຸດໂດຍມີຄ່າອູ່ໃນຊ່ວງ 5.1-6.9 (ເຈລື້ຍ 5.7 $\pm$ 0.6) ແລະ ສະຖານີ 2 ມີຄ່າເນັລີ່ຍສູງສຸດໂດຍມີຄ່າອູ່ໃນຊ່ວງ 6.6-7.2 (ເຈລື້ຍ 6.7 $\pm$ 0.4) ເດືອນເມນ່າຍນ ມີຄ່າເນັລີ່ຍຕໍ່ທີ່ສຸດໂດຍມີຄ່າອູ່ໃນຊ່ວງ 5.3-6.8 (ເຈລື້ຍ 6.24 $\pm$ 0.6) ແລະ ເດືອນສິງຫາຄມ ມີຄ່າເນັລີ່ຍສູງສຸດໂດຍມີຄ່າອູ່ໃນຊ່ວງ 6.0-7.2 (ເຈລື້ຍ 6.7 $\pm$ 0.4) ອ່າງໄກ້ຕາມສະຖານີ 7 ແລະ 9 ໃນເດືອນເມນ່າຍນ ມີຄຸນາຍນ ແລະ ຂັນວາຄມ ມີຄ່າຄອນຂັງຕໍ່ກວ່າສະຖານີອື່ນໆ ອ່າງຫັດເຈນ (ກາພປະກອບ 6)

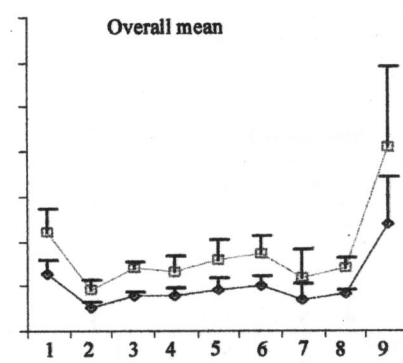
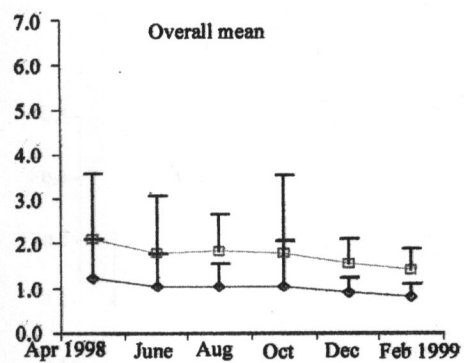
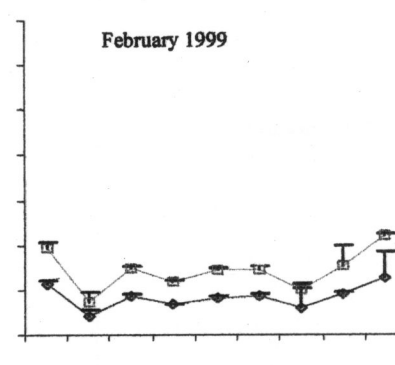
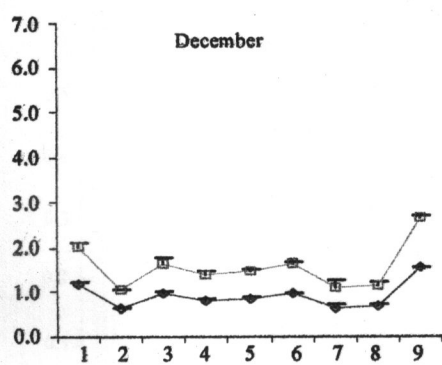
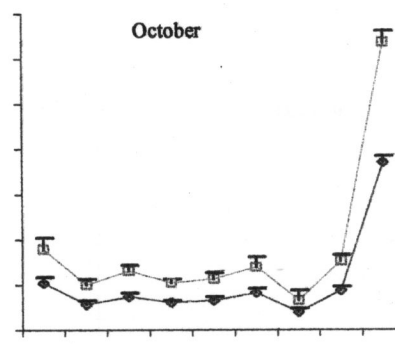
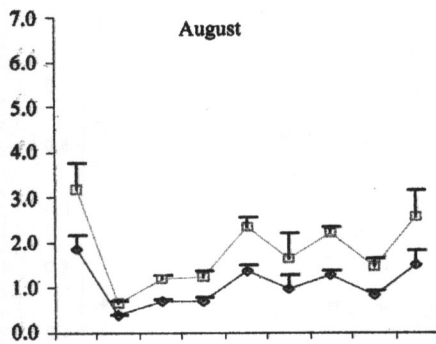
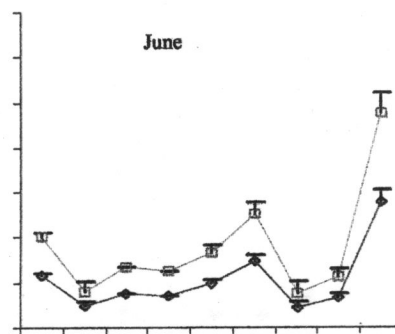
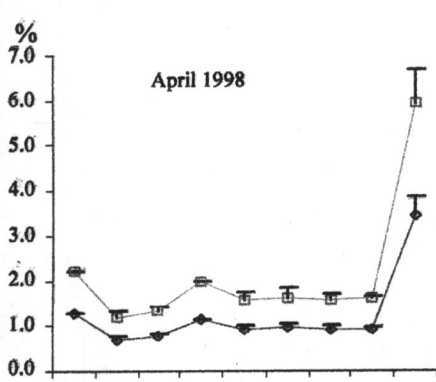
ອິນທຣີຢີກາຣົບອນ ທັງທະເລທລວງຕອນລ່າງມີຄ່າອູ່ໃນຊ່ວງ 0.38-3.7% (ເຈລື້ຍ 1.1 $\pm$ 0.2%) ສະຖານີ 2 ມີຄ່າເນັລີ່ຍຕໍ່ສຸດໂດຍມີຄ່າອູ່ໃນຊ່ວງ 0.4-0.7% (ເຈລື້ຍ 0.5 $\pm$ 0.1%) ແລະ ສະຖານີ 9 ມີຄ່າເນັລີ່ຍສູງສຸດໂດຍມີຄ່າອູ່ໃນຊ່ວງ 1.3-3.7% (ເຈລື້ຍ 2.1 $\pm$ 1.2%) ເດືອນກຸມກາພັນນີ້ 2542 ມີຄ່າເນັລີ່ຍຕໍ່ທີ່ສຸດໂດຍມີຄ່າອູ່ໃນຊ່ວງ 0.4-1.3% (ເຈລື້ຍ 0.8 $\pm$ 0.3%) ແລະ ເດືອນເມນ່າຍນມີຄ່າເນັລີ່ຍສູງສຸດໂດຍມີຄ່າອູ່ໃນຊ່ວງ 0.7-3.5% (ເຈລື້ຍ 1.2 $\pm$ 0.9%) ທັງນີ້ພບວ່າສະຖານີ 1 ແລະ 9 ມີຄ່າສູງກວ່າສະຖານີອື່ນໆ ອ່າງເຫັນໄດ້ຫັດ ແຕ່ເມື່ອພິຈານາໄນເຊີ້ງເວລາພບວ່າອິນທຣີຢີກາຣົບອນລົດລົງຮ່ອຍໆ ຕາມຮະຍະເວລາ (ກາພປະກອບ 7)

ອິນທຣີຢີວັດຖຸ ທັງທະເລທລວງຕອນລ່າງມີຄ່າອູ່ໃນຊ່ວງ 0.7-6.3% (ເຈລື້ຍ 1.7 $\pm$ 0.8%) ສະຖານີ 2 ມີຄ່າເນັລີ່ຍຕໍ່ສຸດໂດຍມີຄ່າອູ່ໃນຊ່ວງ 0.7-1.2% (ເຈລື້ຍ 0.9 $\pm$ 0.2 %) ແລະ ສະຖານີ 9 ມີຄ່າເນັລີ່ຍສູງສຸດໂດຍມີຄ່າອູ່ໃນຊ່ວງ 2.2-6.3% (ເຈລື້ຍ 3.6 $\pm$ 2.1%) ເດືອນກຸມກາພັນນີ້ 2542 ມີຄ່າເນັລີ່ຍຕໍ່ທີ່ສຸດໂດຍມີຄ່າອູ່ໃນຊ່ວງ 0.7-2.2% (ເຈລື້ຍ 1.4 $\pm$ 0.5%) ແລະ ເດືອນເມນ່າຍນມີຄ່າເນັລີ່ຍສູງສຸດໂດຍມີຄ່າອູ່ໃນຊ່ວງ 1.2-5.9% (ເຈລື້ຍ 2.1 $\pm$ 1.5%) ທັງນີ້ພບວ່າສະຖານີ 1 ແລະ 9 ມີຄ່າສູງກວ່າສະຖານີອື່ນໆ ອ່າງເຫັນໄດ້ຫັດ ເມື່ອພິຈານາໄນເຊີ້ງເວລາພບວ່າອິນທຣີຢີກາຣົບອນລົດລົງຮ່ອຍໆ ຕາມຮະຍະເວລາ ເຊັ່ນເດືອນອິນທຣີຢີວັດຖຸ (ກາພປະກອບ 7)

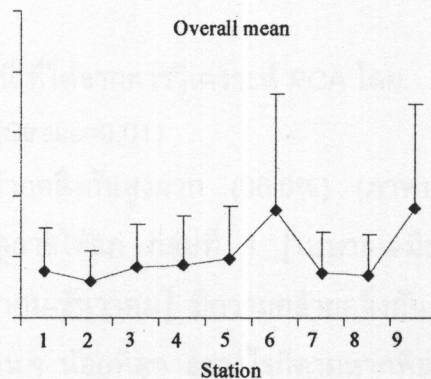
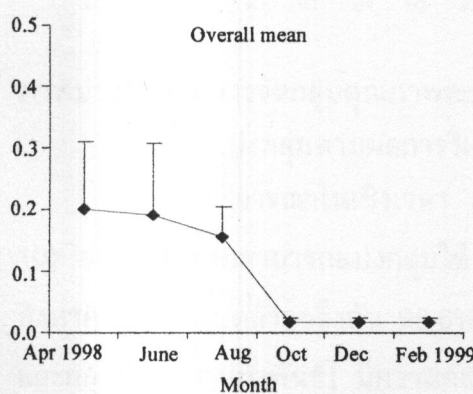
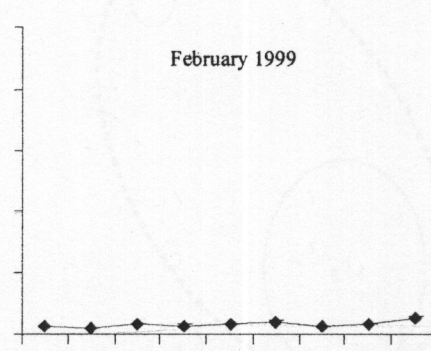
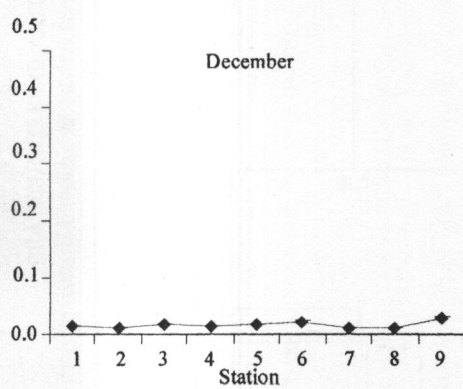
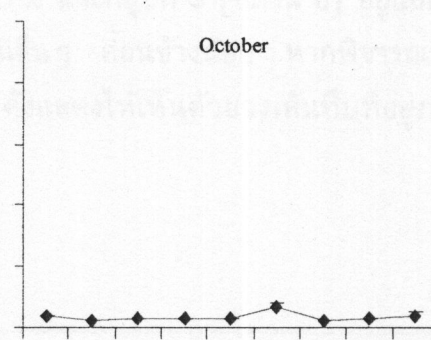
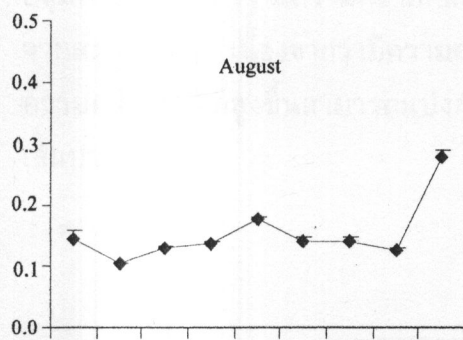
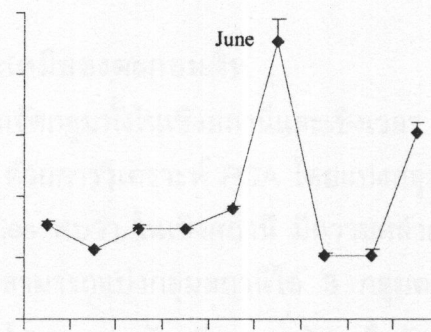
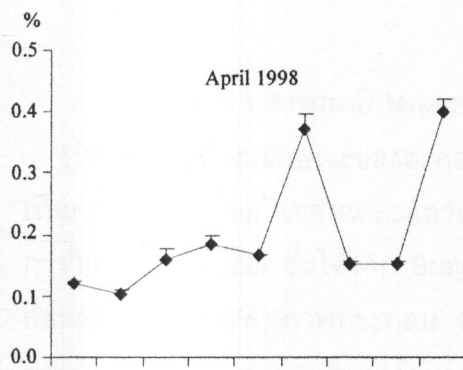
ໃນໂຕຮເຈນຮ່ວມ ທັງທະເລທລວງຕອນລ່າງມີຄ່າອູ່ໃນຊ່ວງ 0.009-0.402% (ເຈລື້ຍ 0.09 $\pm$ 0.0%) ສະຖານີ 8 ມີຄ່າເນັລີ່ຍຕໍ່ສຸດໂດຍມີຄ່າອູ່ໃນຊ່ວງ 0.011-0.153% (ເຈລື້ຍ 0.07 $\pm$ 0.06%) ແລະ ສະຖານີ 9 ມີຄ່າເນັລີ່ຍສູງສຸດໂດຍມີຄ່າອູ່ໃນຊ່ວງ 0.020-0.402% (ເຈລື້ຍ 0.18 $\pm$ 0.17%) ເດືອນຕຸລາຄມ ຂັນວາຄມ ແລະ ກຸມກາພັນນີ້ 2542 ມີຄ່າເນັລີ່ຍຕໍ່ທີ່ສຸດໂດຍມີຄ່າອູ່ໃນຊ່ວງ 0.009-0.035, 0.011-0.023, ແລະ 0.011-0.028% ຕາມລຳດັບ (ເຈລື້ຍ 0.02 $\pm$ 0.01%) ແລະ ເດືອນເມນ່າຍນມີຄ່າເນັລີ່ຍສູງສຸດໂດຍມີຄ່າອູ່ໃນຊ່ວງ 0.101-0.402% (ເຈລື້ຍ 0.20 $\pm$ 0.11%) (ກາພປະກອບ 8) ອ່າງໄກ້ຕາມພບວ່າ ປົມມານໃນໂຕຮເຈນຮ່ວມ ທີ່ສະຖານີ 6 ແລະ 9 ມີປົມມານສູງແຕກຕ່າງຈາກສະຖານີອື່ນໆ ອ່າງເຫັນໄດ້ຫັດ ສ່ວນໃນເຊີ້ງເວລາພບວ່າປົມມານໃນໂຕຮເຈນຮ່ວມໃນຕະກອນດິນລົດລົງຕາມຮະຍະເວລາອ່າງເຫັນໄດ້ຫັດ



ภาพประกอบ 6 พื้นที่ต่างกันในภาคกลางตอนล่าง เดือนเมษายน 2541 ถึง กุมภาพันธ์ 2542 (Bar=± SD แต่เนื่องจากมีค่าเท่ากัน จึงแสดงเฉพาะค่า+)



ภาพประกอบ 7 อินทรีย์การบ่อนและอินทรีย์วัตถุในทະเสหลังตอนล่าง เดือนเมษายน 2541  
ถึง กุมภาพันธ์ 2542 (Bar =  $\pm$  SD และเนื่องจาก  $\pm$  มีค่าเท่ากัน จึงแสดงเฉพาะค่า +)

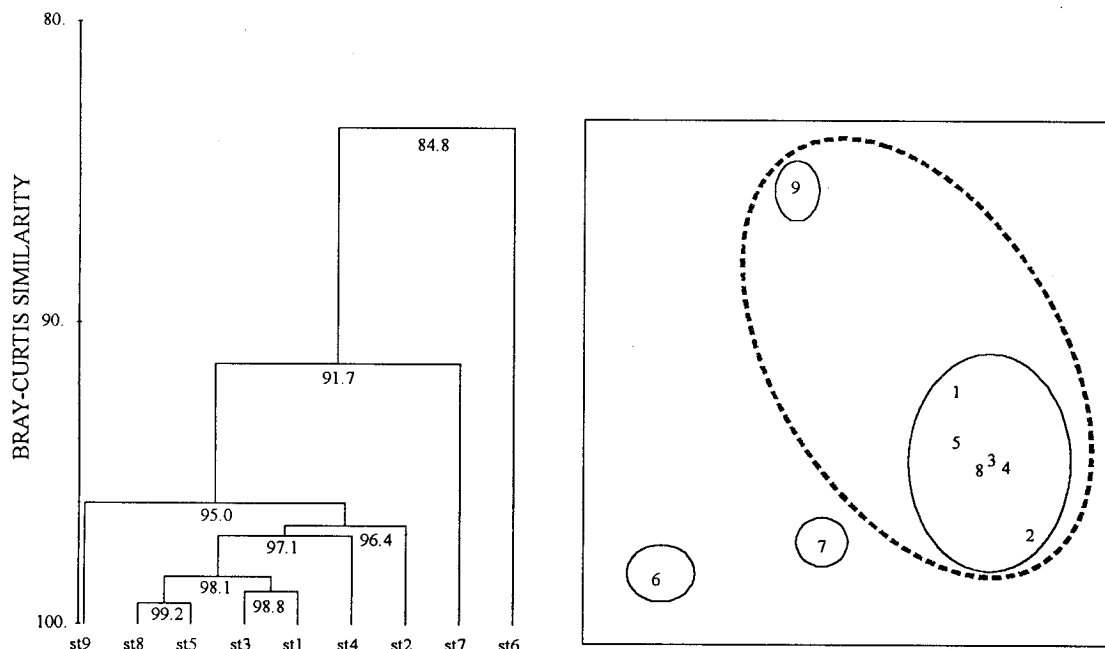


ภาพประกอบ 8 ปริมาณในโครงการรวมตະกอนດີນທະເລ່າງຕອນລ່າງ ເດືອນມັງກອນ 2541

ถึง ກຸມພັນ 2542 (Bar=+ SD ແຕ່ເນື້ອງຈາກ+ມື້ຄໍາເທົ່າກັນ ຈຶ່ງແສດງເນິພະຄໍາ+)

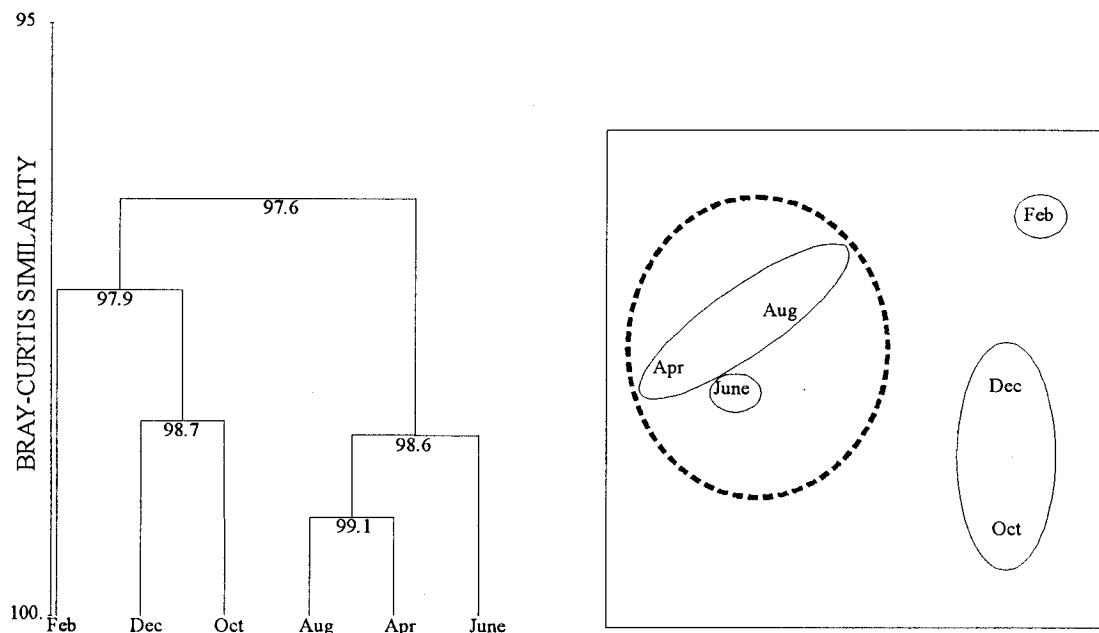
### 1.2.2 PCA ของคุณลักษณะทางกายภาพและเคมีของตะกอนดิน

เมื่อวิเคราะห์คุณลักษณะของตะกอนดินแล้วสามารถจัดกลุ่มทั้งในเชิงสถานีและเชิงเวลา เพื่อให้เห็นความคล้ายคลึงกันของแต่ละสถานีและแต่ละเดือน ด้วยวิเคราะห์ PCA โดยแบ่งกลุ่มตามผลการวิเคราะห์ cluster ซึ่งได้จาก Bray-Curtis similarities พบร้า ในเชิงสถานี มีความคล้ายคลึงกันค่อนข้างสูง (84.8%)(ภาพประกอบ 9) อย่างไรก็ตามสามารถแบ่งกลุ่มสถานีได้ 3 กลุ่มตามระดับความคล้ายคลึง โดยกลุ่มที่ 1 [สถานี 1-2-3-4-5-8-9] รวมกลุ่มกัน มีความคล้ายคลึงกัน 96.0% กลุ่มที่ 2 [สถานี 7] มีความคล้ายคลึงกับกลุ่มแรก 91.7% และกลุ่มที่ 3 [สถานี 6] อยู่แยกออกจากสถานีอื่นๆ เนื่องจากว่ามีความคล้ายคลึงกับสถานีอื่นๆ ค่อนข้างน้อย หากพิจารณาที่ระดับความคล้ายคลึงที่สูงขึ้นสามารถแบ่งกลุ่มได้มากขึ้น ดังแสดงให้เห็นด้วยวงเส้นทึบที่อยู่ภายใต้เส้นประ



ภาพประกอบ 9 การจัดกลุ่มคุณภาพตะกอนดินเชิงสถานี ที่ได้จากการวิเคราะห์ PCA โดยแบ่งกลุ่มตามผลการวิเคราะห์ cluster (Stress=0.01)

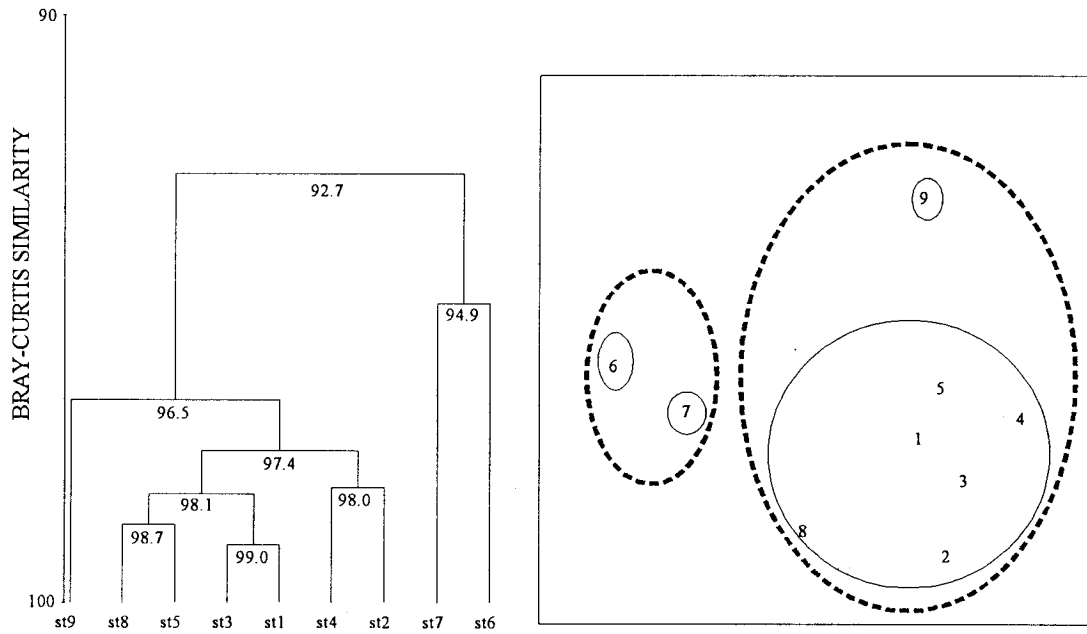
เมื่อพิจารณาในเชิงเวลา พบร้า มีความคล้ายคลึงกันสูงมาก (96.6%) (ภาพประกอบ 10) อย่างไรก็ตามสามารถแบ่งกลุ่มได้ 3 กลุ่มตามฤดูกาลได้แก่ กลุ่มที่ 1 [เมษายน-มิถุนายน-สิงหาคม] มีความคล้ายคลึงกัน 98.6% กลุ่มที่ 2 [ตุลาคม-ธันวาคม] มีความคล้ายคลึงกัน 98.7% และกลุ่มที่ 3 [กุมภาพันธ์] มีความคล้ายคลึงกับกลุ่มอื่นๆ น้อยที่สุด อย่างไรก็ตามหากพิจารณาที่ระดับความคล้ายคลึงที่สูงขึ้นสามารถแบ่งกลุ่มได้มากขึ้น ดังแสดงให้เห็นด้วยวงเส้นทึบที่อยู่ภายใต้เส้นประ



ภาพประกอบ 10 การจัดกลุ่มคุณภาพต่างกันในแต่ละเดือนเชิงเวลา ที่ได้จากการวิเคราะห์ PCA โดยแบ่งกลุ่มตามผลการวิเคราะห์ cluster (Stress=0.03)

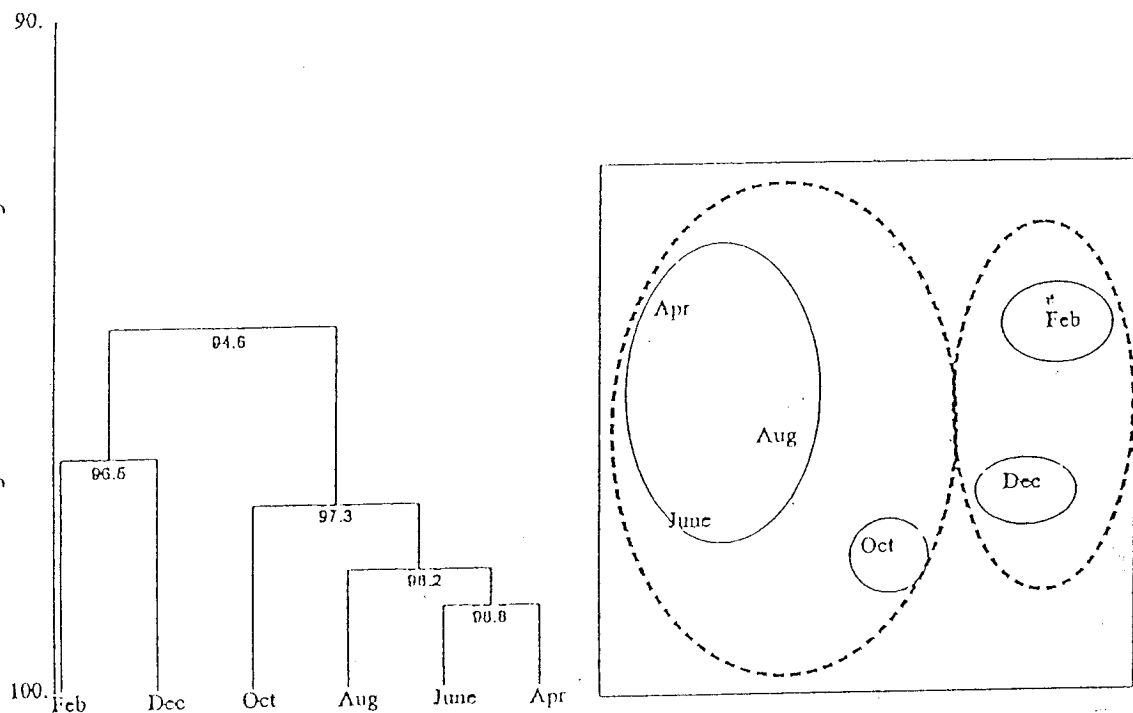
### 1.3 PCA ของคุณลักษณะทางกายภาพและเคมีของปัจจัยสิ่งแวดล้อม (น้ำและตะกอนดิน)

จากการนำข้อมูลคุณลักษณะของน้ำและตะกอนดินมารวมกัน ซึ่งเป็นสภาพจริงของธรรมชาติในทะเลลงดอนล่าง มาจัดกลุ่มตามระดับความคล้ายคลึงกันของแต่ละสถานีและแต่ละเดือน เพื่อให้เห็นภาพอย่างชัดเจนโดยการวิเคราะห์ PCA ทั้งในเชิงสถานีและเชิงเวลาตามผลการวิเคราะห์ cluster ซึ่งได้จาก Bray-Curtis ในเชิงสถานี พบว่า มีความคล้ายคลึงกันสูงมาก (92.7%) (ภาพประกอบ 11) และพบว่าการจัดกลุ่มนี้แนวโน้มคล้ายผลการจัดกลุ่มของตะกอนดิน อย่างไรก็ตามสามารถแบ่งได้ 2 กลุ่ม โดยกลุ่มที่ 1 [สถานี 1-2-3-4-5-8-9] รวมกันอยู่เป็นกลุ่ม โดยมีความคล้ายคลึงกัน 96.5% กลุ่มที่ 2 [สถานี 6-7] ซึ่งมีความคล้ายคลึงกัน 94.9% หากพิจารณาที่ระดับความคล้ายคลึงกันที่สูงขึ้นจะสามารถแบ่งกลุ่มได้มากขึ้น ดังแสดงให้เห็นด้วยวงเส้นทึบที่อยู่ภายใต้



ภาพประกอบ 11 การจัดกลุ่มคุณภาพปัจจัยสิ่งแวดล้อมเชิงสถานี ที่ได้จากการวิเคราะห์ PCA โดยแบ่งกลุ่มตามผลการวิเคราะห์ cluster (Stress=0.01)

เมื่อพิจารณาในเชิงเวลา พบว่ามีความคล้ายคลึงกันสูง (94.6%)(ภาพประกอบ 12) และพบว่าการรวมกลุ่มมีแนวโน้มคล้ายกับผลของการรวมกลุ่มของน้ำ อย่างไรก็ตามสามารถแบ่งกลุ่มตามถูกต้องได้ 2 กลุ่ม โดยกลุ่มที่ 1 [เมษายน-มิถุนายน-สิงหาคม-ตุลาคม] มีความคล้ายคลึงกัน 97.3% กลุ่มที่ 2 [ธันวาคม-กุมภาพันธ์] มีความคล้ายคลึงกัน 96.5% อย่างไรก็ตามหากพิจารณาที่ระดับความคล้ายคลึงกันที่สูงขึ้นจะสามารถแบ่งกลุ่มได้มากขึ้น ดังแสดงให้เห็นด้วยวงเส้นทึบที่อยู่ภายในวงเส้นประ



ภาพประกอบ 12 การจัดกลุ่มคุณภาพปัจจัยสิ่งแวดล้อมเชิงเวลา ที่ได้จากการวิเคราะห์ PCA โดยแบ่งกลุ่มตามผลการวิเคราะห์ cluster (Stress=0.03)

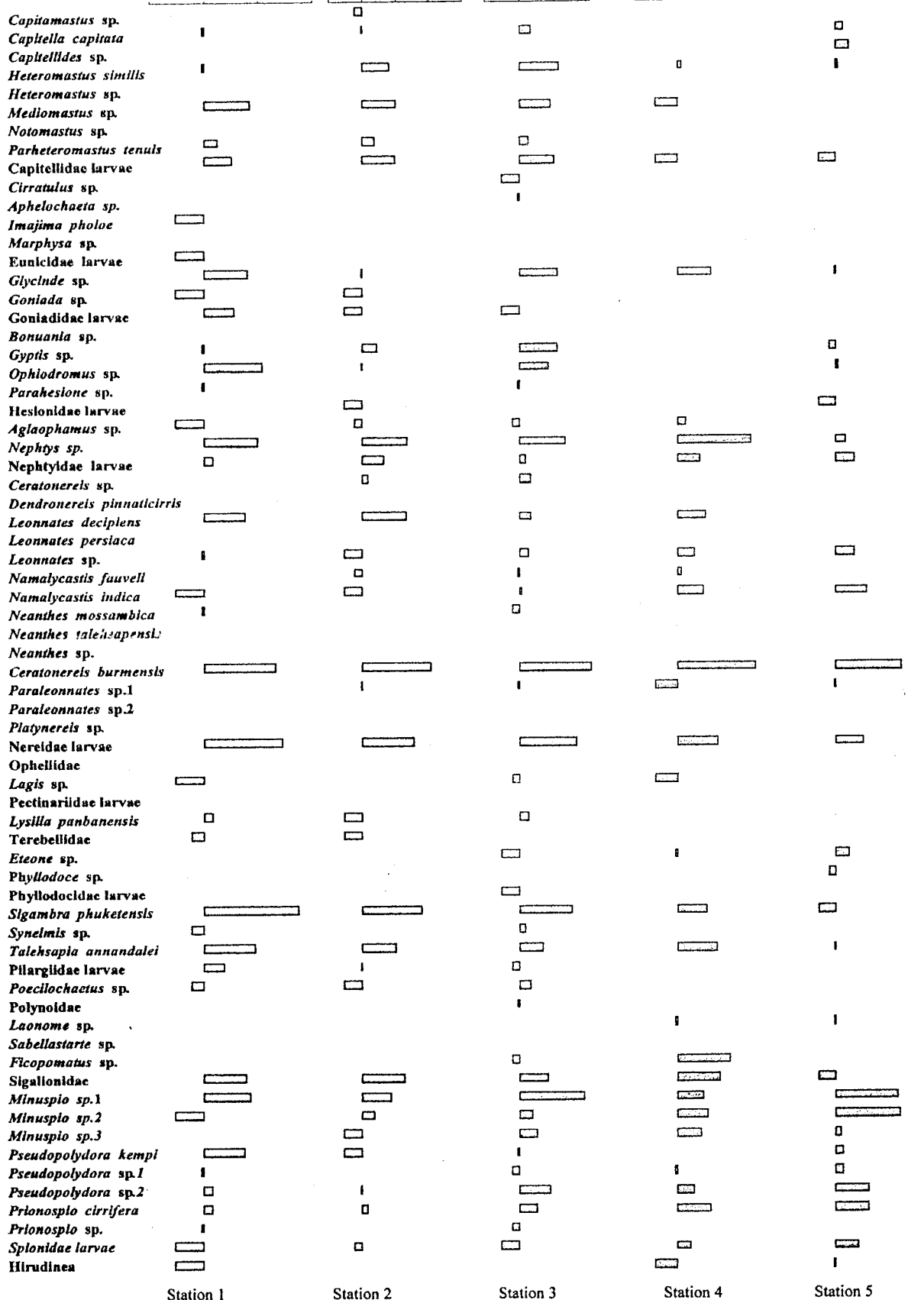
## 2. แอนเนลิดในทะเลลวงตอนล่าง

### 2.1 ความชุกชุม ความหลากหลายและมวลชีวภาพของแอนเนลิด

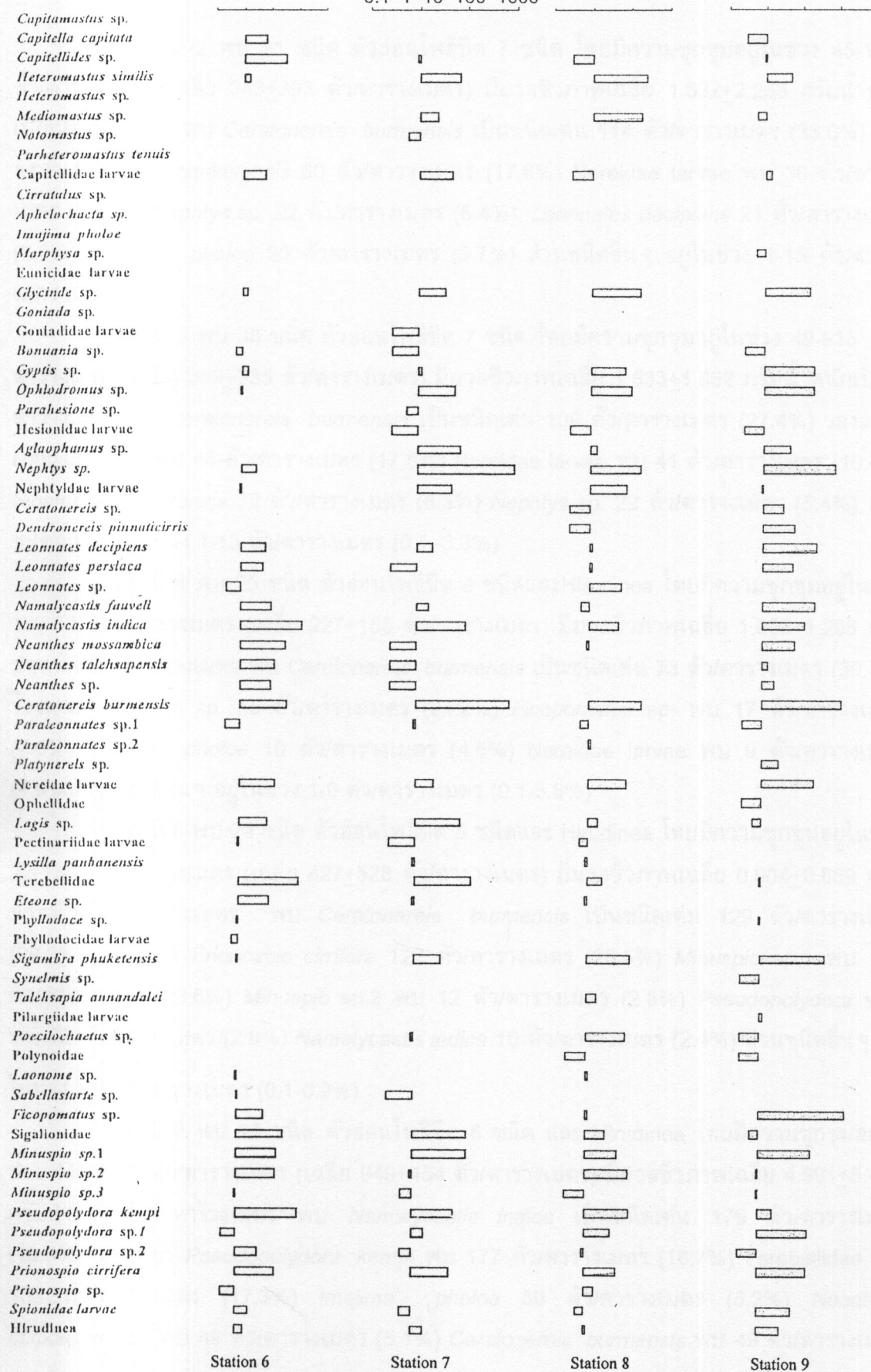
จากการศึกษาสัตว์น้ำดินขนาดใหญ่ในไฟลัมแอนเนลิดบริเวณทะเลลวงตอนล่าง ตั้งแต่เดือนเมษายน 2541 ถึง กุมภาพันธ์ 2542 พบร่วม 2 คลาส “ได้แก่ โพลีขีต และ ไฮรูดินีย สำหรับ โพลีขีต พบร่วม 20 วงศ์ 44 สกุล 57 ชนิด และในจำนวนนี้พบ โพลีขีตวัยอ่อน 10 วงศ์ อย่างไรก็ตามพบว่าแอนเนลิดทั้งทะเลลวงตอนล่าง มีความชุกชุมอยู่ในช่วง 22-2,309 ตัว/ตารางเมตร (เฉลี่ย 436 ตัว/ตารางเมตร) มวลชีวภาพอยู่ในช่วง 0.1-15.4 กรัมน้ำหนักเปียก/ตารางเมตร (เฉลี่ย 1.9 กรัมน้ำหนักเปียก/ตารางเมตร)

หากพิจารณาในแต่ละสถานี (ภาพประกอบ 13) แสดงให้เห็นได้ดังนี้ คือ

สถานี 1 พบร 32 ชนิด ตัวอ่อนโพลีขีต 7 ชนิดและ *Hirudinea* โดยมีความชุกชุมอยู่ ในช่วง 53-442 ตัว/ตารางเมตร (เฉลี่ย  $205 \pm 180$  ตัว/ตารางเมตร) มีมวลชีวภาพเฉลี่ย  $0.656 \pm 0.589$  กรัมน้ำหนักเปียก/ตารางเมตร พบร *Sigambra phuketensis* เป็นชนิดเด่น 57 ตัว/ตารางเมตร (27.7%) รองลงมา *Nereidae larvae* 28 ตัว/ตารางเมตร (13.9%) *Ceratonereis burmensis* พบร 22 ตัว/ตารางเมตร (10.4%) ส่วนชนิดอื่นๆ อยู่ในช่วง 1-12 ตัว/ตารางเมตร (0.1-5.9%)



ภาพประกอบ 13 ความชุกชุมของแอนเนลิดบริเวณทะเลหลวงตอนล่างในแต่ละสถานี



Station 6

Station 7

Station 8

Station 9

สถานี 2 พบ 31 ชนิด ตัวอ่อนโพลีชีต 7 ชนิด โดยมีความชุกชุมอยู่ในช่วง 45-1104 ตัว/ตารางเมตร (เฉลี่ย  $343+393$  ตัว/ตารางเมตร) มีมวลชีวภาพเฉลี่ย  $1.592+2.253$  กรัมน้ำหนักเปียก/ตารางเมตร พบ *Ceratonereis burmensis* เป็นชนิดเด่น 114 ตัว/ตารางเมตร (33.0%) รองลงมา *Sigambla phuketensis* 60 ตัว/ตารางเมตร (17.6%) *Nereidae larvae* พบ 36 ตัว/ตารางเมตร (10.5%) *Nephthys* sp. 22 ตัว/ตารางเมตร (6.4%), *Leonnates decipiens* 21 ตัว/ตารางเมตร (6.0%), *Imajima pholoe* 20 ตัว/ตารางเมตร (5.7%) ส่วนชนิดอื่นๆ อยู่ในช่วง 1-15 ตัว/ตารางเมตร (0.1-3.1%)

สถานี 3 พบ 38 ชนิด ตัวอ่อนโพลีชีต 7 ชนิด โดยมีความชุกชุมอยู่ในช่วง 49-915 ตัว/ตารางเมตร (เฉลี่ย  $389+335$  ตัว/ตารางเมตร) มีมวลชีวภาพเฉลี่ย  $1.533+1.662$  กรัมน้ำหนักเปียก/ตารางเมตร พบ *Ceratonereis burmensis* เป็นชนิดเด่น 109 ตัว/ตารางเมตร (27.4%) รองลงมา *Minuspio* sp.1 พบ 68 ตัว/ตารางเมตร (17.5%) *Nereidae larvae* พบ 41 ตัว/ตารางเมตร (10.4%) *Sigambla phuketensis* 32 ตัว/ตารางเมตร (8.3%) *Nephthys* sp. 22 ตัว/ตารางเมตร (5.4%) ส่วนชนิดอื่นๆ อยู่ในช่วง 1-13 ตัว/ตารางเมตร (0.1-3.3%)

สถานี 4 พบ 25 ชนิด ตัวอ่อนโพลีชีต 4 ชนิดและ *Hirudinea* โดยมีความชุกชุมอยู่ในช่วง 133-527 ตัว/ตารางเมตร (เฉลี่ย  $227+155$  ตัว/ตารางเมตร) มีมวลชีวภาพเฉลี่ย  $1.063+1.268$  กรัมน้ำหนักเปียก/ตารางเมตร พบ *Ceratonereis burmensis* เป็นชนิดเด่น 73 ตัว/ตารางเมตร (30.7%) รองลงมา *Nephthys* sp. 55 ตัว/ตารางเมตร (24.2%) *Ficopomatus* sp. พบ 17 ตัว/ตารางเมตร (7.6%) *Imajima pholoe* 10 ตัว/ตารางเมตร (4.5%) *Nereidae larvae* พบ 9 ตัว/ตารางเมตร (4.0%) ส่วนชนิดอื่นๆ อยู่ในช่วง 1-8 ตัว/ตารางเมตร (0.1-3.6%)

สถานี 5 พบ 24 ชนิด ตัวอ่อนโพลีชีต 5 ชนิดและ *Hirudinea* โดยมีความชุกชุมอยู่ในช่วง 22-1382 ตัว/ตารางเมตร (เฉลี่ย  $427+528$  ตัว/ตารางเมตร) มีมวลชีวภาพเฉลี่ย  $0.904+0.889$  กรัมน้ำหนักเปียก/ตารางเมตร พบ *Ceratonereis burmensis* เป็นชนิดเด่น 129 ตัว/ตารางเมตร (29.2%) รองลงมา *Prionospio cimifera* 122 ตัว/ตารางเมตร (28.5%) *Minuspio* sp.1 พบ 101 ตัว/ตารางเมตร (23.6%) *Minuspio* sp.2 พบ 12 ตัว/ตารางเมตร (2.8%) *Pseudopolydora* sp.1 พบ 12 ตัว/ตารางเมตร (2.8%) *Namalycastis indica* 10 ตัว/ตารางเมตร (2.4%) ส่วนชนิดอื่นๆ อยู่ในช่วง 1-8 ตัว/ตารางเมตร (0.1-0.9%)

สถานี 6 พบ 36 ชนิด ตัวอ่อนโพลีชีต 6 ชนิด และ *Hirudinea* โดยมีความชุกชุมอยู่ในช่วง 445-1462 ตัว/ตารางเมตร (เฉลี่ย  $949+454$  ตัว/ตารางเมตร) มีมวลชีวภาพเฉลี่ย  $4.991+5.431$  กรัมน้ำหนักเปียก/ตารางเมตร พบ *Namalycastis indica* เป็นชนิดเด่น 179 ตัว/ตารางเมตร (18.8%) รองลงมา *Pseudopolydora kempfi* พบ 177 ตัว/ตารางเมตร (18.7%) *Terebellidae* พบ 165 ตัว/ตารางเมตร (17.3%) *Imajima pholoe* 50 ตัว/ตารางเมตร (5.2%) *Neanthes cf.mossambica* พบ 49 ตัว/ตารางเมตร (5.1%) *Ceratonereis burmensis* พบ 49 ตัว/ตารางเมตร

(5.1%) *Capitellides* sp. 36 ตัว/ตารางเมตร (3.7%) ส่วนชนิดอื่นๆ อยู่ในช่วง 1-18 ตัว/ตารางเมตร (0.1-3.3%)

สถานี 7 พบร 36 ชนิด ตัวอ่อนโพลีปีต 7 ชนิดและ *Hirudinea* โดยมีความชุกชุมอยู่ในช่วง 104-605 ตัว/ตารางเมตร (เฉลี่ย  $319 \pm 212$  ตัว/ตารางเมตร) มีมวลชีวภาพเฉลี่ย  $1.932 \pm 1.811$  กรัม น้ำหนักเปียก/ตารางเมตร พบร *Nephrys* sp. เป็นชนิดเด่น 98 ตัว/ตารางเมตร (30.6%) รองลงมา *Ceratonereis burmensis* พบร 86 ตัว/ตารางเมตร (26.8%) *Terebellidae* พบร 15 ตัว/ตารางเมตร (4.8%) *Imajima pholoe* 13 ตัว/ตารางเมตร (4.1%) *Minuspio* sp. 1 พบร 13 ตัว/ตารางเมตร (4.1%) *Namalycastis indica* 10 ตัว/ตารางเมตร (3.2%) ส่วนชนิดอื่นๆ อยู่ในช่วง 1-8 ตัว/ตารางเมตร (0.1-2.4%)

สถานี 8 พบร 39 ชนิด ตัวอ่อนโพลีปีต 6 ชนิดและ *Hirudinea* โดยมีความชุกชุมอยู่ในช่วง 55-400 ตัว/ตารางเมตร (เฉลี่ย  $255 \pm 131$  ตัว/ตารางเมตร) มีมวลชีวภาพเฉลี่ย  $1.436 \pm 0.548$  กรัม น้ำหนักเปียก/ตารางเมตร พบร *Ceratonereis burmensis* เป็นชนิดเด่น 29 ตัว/ตารางเมตร (11.4%) รองลงมา *Nephrys* sp. 20 ตัว/ตารางเมตร (7.8%) *Glycinde* sp. 19 ตัว/ตารางเมตร (7.5%) *Mediomastus* sp. พบร 18 ตัว/ตารางเมตร (7.1%) ส่วนชนิดอื่นๆ อยู่ในช่วง 1-13 ตัว/ตารางเมตร (0.1-5.1%)

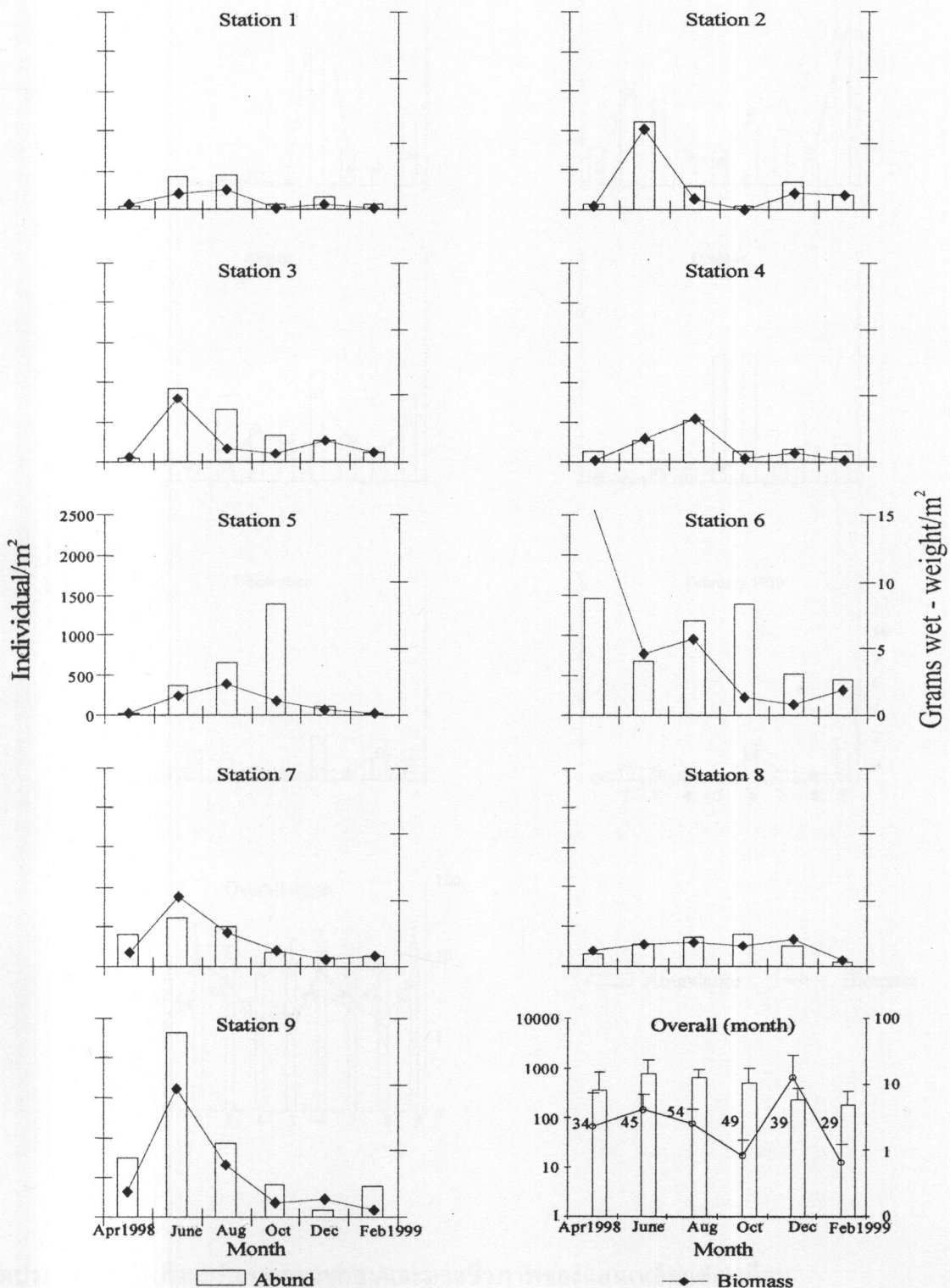
สถานี 9 พบร 42 ชนิด ตัวอ่อนโพลีปีต 6 ชนิดและ *Hirudinea* โดยมีความชุกชุมอยู่ในช่วง 98-2309 ตัว/ตารางเมตร (เฉลี่ย  $815 \pm 788$  ตัว/ตารางเมตร) มีมวลชีวภาพเฉลี่ย  $3.098 \pm 3.457$  กรัม น้ำหนักเปียก/ตารางเมตร พบร *Ficopomatus* sp. เป็นชนิดเด่น 221 ตัว/ตารางเมตร (24.9%) รองลงมา *Ceratonereis burmensis* พบร 142 ตัว/ตารางเมตร (16.9%) *Nephrys* sp. 90 ตัว/ตารางเมตร (11.1%) *Sigambra phuketensis* 56 ตัว/ตารางเมตร (6.9%) *Leonnates decipiens* 29 ตัว/ตารางเมตร (3.6%) *Nereidae larvae* 28 ตัว/ตารางเมตร (3.4%) *Minuspio* sp. 1 พบร 28 ตัว/ตารางเมตร (3.4%) *Namalycastis fauvelli* 26 ตัว/ตารางเมตร (3.2%) ส่วนชนิดอื่นๆ อยู่ในช่วง 1-23 ตัว/ตารางเมตร (0.1-2.8%)

จากการเปรียบเทียบ ความชุกชุมและมวลชีวภาพ ในเชิงสถานี (ภาพประกอบ 14) พบร ว่า สถานี 1 มีความชุกชุมและมวลชีวภาพเฉลี่ยต่ำที่สุด สถานี 4 และ 5 มีจำนวนชนิดต่ำที่สุด ในขณะที่ สถานี 6 มีความชุกชุมและมวลชีวภาพเฉลี่ยสูงที่สุดและสถานี 9 มีจำนวนชนิดสูงที่สุด เมื่อพิจารณาแต่ละสถานี พบร ว่า ทุกสถานีมีความชุกชุม มวลชีวภาพ และจำนวนชนิด เพิ่มขึ้นจากเดือนเมษายน ยกเว้นที่สถานี 6 นอกจากนี้ที่สถานี 3 พบร ว่ามีความชุกชุมที่สูงมากในเดือนสิงหาคม แต่มวลชีวภาพมีค่าต่ำมาก เช่นเดียวกับสถานี 5 และ 6 ของเดือนตุลาคม

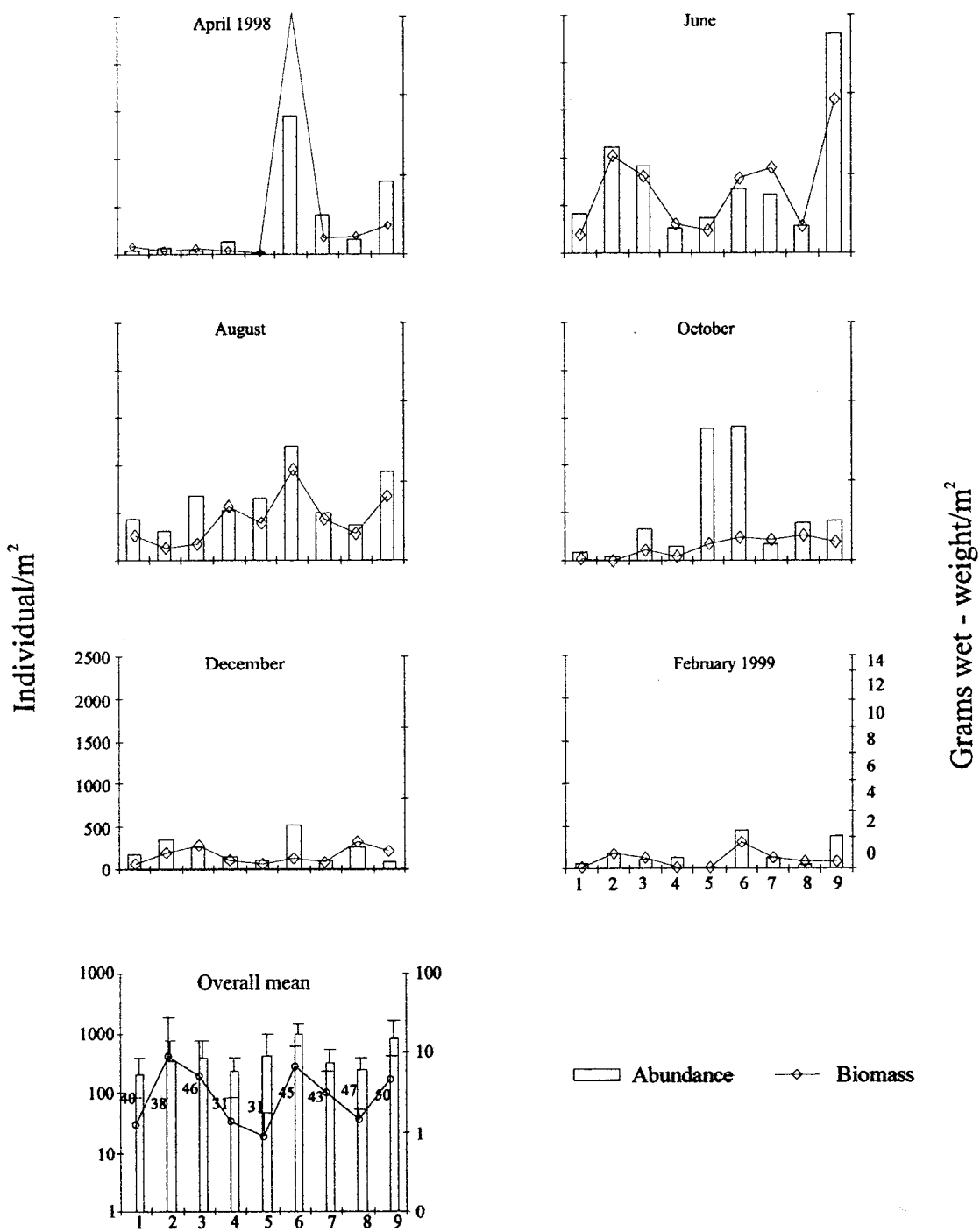
เมื่อพิจารณาในเชิงเวลา (ภาพประกอบ 15) พบร ว่า เดือนมิถุนายนมีความชุกชุมสูงที่สุด อยู่ในช่วง 264-2,309 ตัว/ตารางเมตร (เฉลี่ย  $772$  ตัว/ตารางเมตร=29.5% ของทั้งหมด) มีมวลชีวภาพอยู่ในช่วง 1.2-9.7 กรัม น้ำหนักเปียก/ตารางเมตร (เฉลี่ย  $4.1$  กรัม น้ำหนักเปียก/ตารางเมตร) เดือนกุมภาพันธ์ มีความชุกชุมต่ำสุดอยู่ในช่วง 22-445 ตัว/ตารางเมตร (เฉลี่ย  $173$  ตัว/ตารางเมตร=6.6% ของทั้งหมด) มีมวลชีวภาพอยู่ในช่วง 0.1-1.9 กรัม น้ำหนักเปียก/ตารางเมตร (เฉลี่ย

0.7 กรัมน้ำหนักเปียก/ตารางเมตร) และที่ความชุกชุมเฉลี่ยสูงรองลงมาคือ เดือนสิงหาคม มีความชุกชุมอยู่ในช่วง 304-1193 ตัว/ตารางเมตร (เฉลี่ย 618 ตัว/ตารางเมตร=23.6% ของทั้งหมด) มีมวลชีวภาพอยู่ในช่วง 0.8-5.7 กรัมน้ำหนักเปียก/ตารางเมตร (เฉลี่ย 2.6 กรัมน้ำหนักเปียก/ตารางเมตร) เดือนตุลาคม มีความชุกชุมอยู่ในช่วง 45-1,396 ตัว/ตารางเมตร (เฉลี่ย 483 ตัว/ตารางเมตร=18.4% ของทั้งหมด) มีมวลชีวภาพอยู่ในช่วง 0.04-1.54 กรัมน้ำหนักเปียก/ตารางเมตร (เฉลี่ย 0.83 กรัมน้ำหนักเปียก/ตารางเมตร) เดือนเมษายน มีความชุกชุมอยู่ในช่วง 31-1462 ตัว/ตารางเมตร (เฉลี่ย 346 ตัว/ตารางเมตร=13.2% ของทั้งหมด) มีมวลชีวภาพอยู่ในช่วง 0.1-15.4 กรัมน้ำหนักเปียก/ตารางเมตร (เฉลี่ย 2.32 กรัมน้ำหนักเปียก/ตารางเมตร) และเดือนธันวาคม มีความชุกชุมอยู่ในช่วง 98-525 ตัว/ตารางเมตร (เฉลี่ย 228 ตัว/ตารางเมตร=8.7% ของทั้งหมด) มีมวลชีวภาพอยู่ในช่วง 0.3-2.0 กรัมน้ำหนักเปียก/ตารางเมตร (เฉลี่ย 1.0 กรัมน้ำหนักเปียก/ตารางเมตร) ตามลำดับ

อย่างไรก็ตามพบว่า เดือนมิถุนายน มีความชุกชุมและมวลชีวภาพสูงที่สุด เดือนสิงหาคม มีจำนวนชนิดสูงสุด ในขณะที่เดือนกุมภาพันธ์ มีทั้งความชุกชุม มวลชีวภาพและจำนวนชนิดต่ำที่สุด เมื่อพิจารณาในแต่ละเดือน พบว่า เดือนเมษายน สิงหาคม ตุลาคม และกุมภาพันธ์ ที่สถานี 6 มีความชุกชุมและมวลชีวภาพสูง แต่เดือนธันวาคม แม้ว่าที่สถานี 6 จะมีความชุกชุมสูงที่สุดก็ตาม แต่ มีมวลชีวภาพที่ต่ำ คล้ายๆ กับเดือนเมษายน และ กุมภาพันธ์ ที่สถานี 9 นอกจากนี้จะเห็นอีกว่า เดือนตุลาคมแม้ว่าที่สถานี 7, 8 และ 9 จะมีความชุกชุมที่ค่อนข้างต่ำ แต่มวลชีวภาพยังคงมีสูงมาก เมื่อเปรียบเทียบกับสถานีอื่นๆ



ภาพประกอบ 14 เปรียบเทียบความซูกชุมและมวลชีวภาพของแอนเนลิดแต่ละสถานี และภาพรวมเชิงสถานีบริเวณท่าเรือแหล่งคุนลัง



ภาพประกอบ 15 เปรียบเทียบความชุกชุมและมวลชีวภาพของแอนเนลิดแต่ละเดือน และการรวมของแอนเนลิดเชิงเวลา

จากการจัดกลุ่มตามระดับความชุกชุม (เฉลี่ยตัว/ตารางเมตร) และบทบาทการกินอาหารของแอนเนลิดที่พบทั้งหมดในทะเลหลวงตอนล่างสามารถสรุปได้ (ตาราง 1) ดังนี้คือ

กลุ่มที่มีความชุกชุมอยู่ในช่วง 20–81 ตัว/ตารางเมตร ซึ่งพบ 9 ชนิด และ ตัวอ่อนของโพลีชีต 1 วงศ์ โดยพบ *Ceratonereis burmensis* เป็นชนิดเด่นมีความชุกชุมสูงที่สุด 81 ตัว/ตารางเมตร (18.6% ของแอนเนลิดทั้งหมด) รองลงมาได้แก่ *Nephrys* sp. มีความชุกชุม 36 ตัว/ตารางเมตร (8.2%) *Minuspio* sp.1 มีความชุกชุม 30 ตัว/ตารางเมตร คิดเป็น 6.8 เปอร์เซ็นต์ *Sigambra phuketensis* มีความชุกชุม 25 ตัว/ตารางเมตร (5.8%) *Namalycastis indica* มีความชุกชุม 25 ตัว/ตารางเมตร (5.7%) *Ficopomatus* sp. มีความชุกชุม 25 ตัว/ตารางเมตร (5.7%) *Pseudopolydora kempfi* มีความชุกชุม 23 ตัว/ตารางเมตร (5.3%) *Terrebellidae* มีความชุกชุม 20 ตัว/ตารางเมตร (4.7%) *Minuspio* sp.2 มีความชุกชุม 19 ตัว/ตารางเมตร (4.4%) และ *Nereidae larvae* ซึ่งมีความชุกชุม 20 ตัว/ตารางเมตร (4.6%)

กลุ่มที่มีความชุกชุมอยู่ในช่วง 4–20 ตัว/ตารางเมตร พบ 14 ชนิดและตัวอ่อนของโพลีชีต 1 วงศ์ ได้แก่ *Imajima pholoe* มีความชุกชุม 12 ตัว/ตารางเมตร (2.8%) *Prionospio cimifera*, มีความชุกชุม 10 ตัว/ตารางเมตร (2.2%) *Leonnates decipiens* มีความชุกชุม 8 ตัว/ตารางเมตร (1.9%) *Glycinde* sp. มีความชุกชุม 8 ตัว/ตารางเมตร (1.8%) *Ophiodromus* sp., มีความชุกชุม 7 ตัว/ตารางเมตร (1.6%) *Neanthes cf. mossambica*, มีความชุกชุม 7 ตัว/ตารางเมตร (1.5%) *Gyptis* sp. มีความชุกชุม 6 ตัว/ตารางเมตร (1.3%) *Mediomastus* sp. มีความชุกชุม 5 ตัว/ตารางเมตร (1.2%) *Namalycastis fauveli* มีความชุกชุม 5 ตัว/ตารางเมตร (1.2%) *Capitellides* sp. มีความชุกชุม 4 ตัว/ตารางเมตร (1.0%) *Talehsapia annandalei* มีความชุกชุม 4 ตัว/ตารางเมตร (0.9%) *Pseudopolydora* sp.1 มีความชุกชุม 4 ตัว/ตารางเมตร (0.9%) *Pseudopolydora* sp.2 มีความชุกชุม 4 ตัว/ตารางเมตร คิดเป็น 0.8 เปอร์เซ็นต์ *Heteromastus similis* มีความชุกชุม 4 ตัว/ตารางเมตร (0.9%) *Heteromastus* sp. มีความชุกชุม 4 ตัว/ตารางเมตร (0.9%) และ *Capitellidae larvae* มีความชุกชุม 4 ตัว/ตารางเมตร (0.9%)

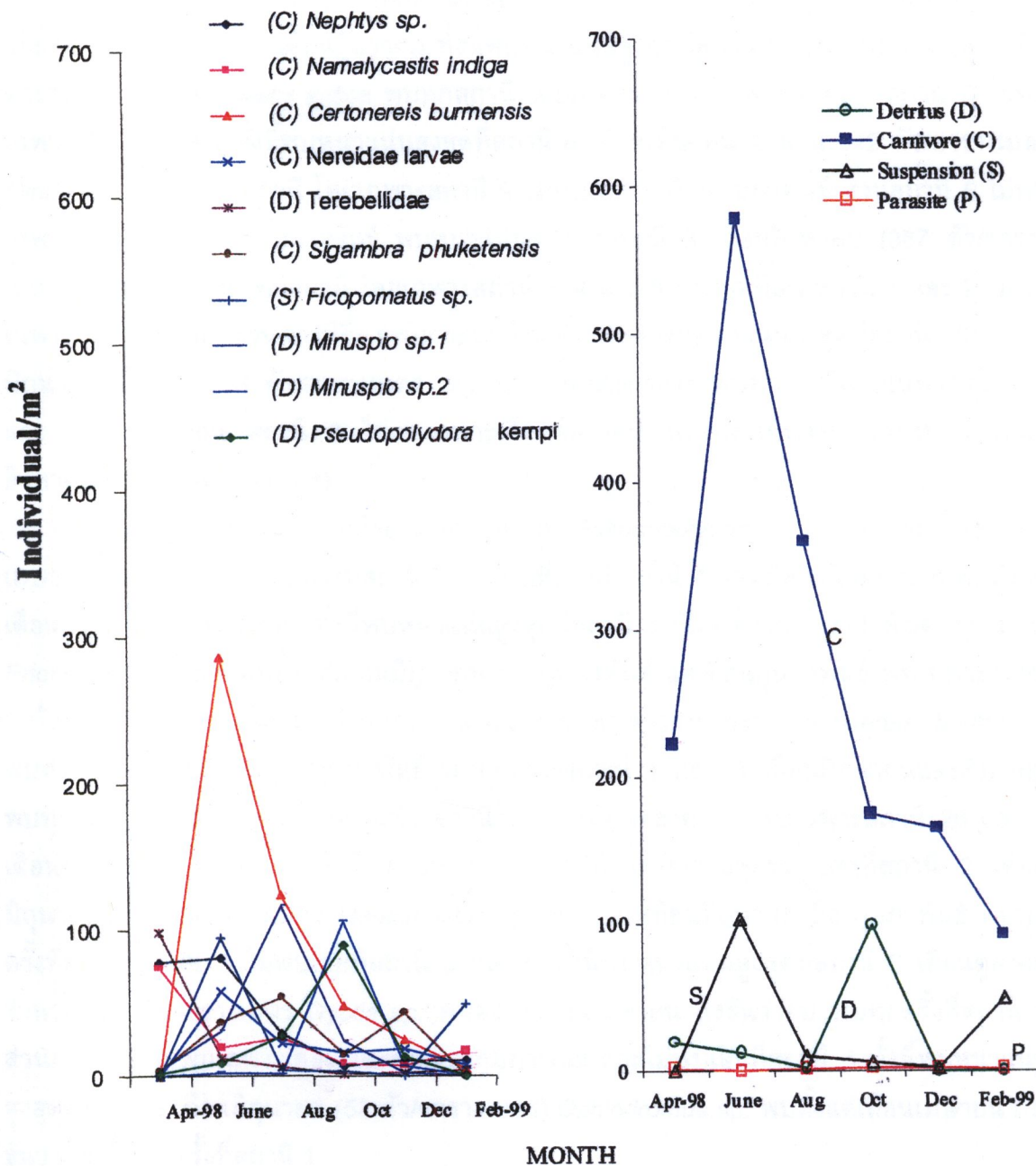
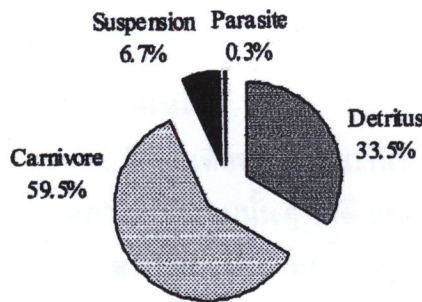
ส่วนอีกกลุ่มหนึ่งมีความชุกชุมค่อนข้างต่ำมาก อยู่ในช่วง 1–3 ตัว/ตารางเมตร พบ 38 ชนิดรวมทั้ง *Hirudinea* ด้วย และพบตัวอ่อนของโพลีชีต 8 วงศ์ ได้แก่ *Ficopomatus* sp., มีความชุกชุม 3 ตัว/ตารางเมตร (0.6%) *Lagis* sp. มีความชุกชุม 3 ตัว/ตารางเมตร (0.6%) *Neanthes talehsapensis*, มีความชุกชุม 2 ตัว/ตารางเมตร (0.5%) *Eteone* sp., มีความชุกชุม 2 ตัว/ตารางเมตร (0.5%) *Aglaophamus* sp., มีความชุกชุม 2 ตัว/ตารางเมตร (0.4%) *Leonnates* sp., มีความชุกชุม 2 ตัว/ตารางเมตร (0.4%) *Spionidae larvae* มีความชุกชุม 2 ตัว/ตารางเมตร (0.6%) และ *Nephtyidae larvae* มีความชุกชุม 3 ตัว/ตารางเมตร (0.8%)

ตาราง 1 บทบาทและความทุกชุม (เฉลี่ยตัว/ตารางเมตร) ของแอนเนลิดในแต่ละชนิด  
(ยืดตาม Day, 1967 : 214 ; Long and Poiner, 1994 : 308 - 311 )

D, detritus feeder ; C, carnivorous feeder ; S, suspension feeder ; P, parasite

Taxa	Mode	Ind./m <sup>2</sup>	Taxa	Mode	Ind./m <sup>2</sup>
<b>Capitellidae</b>			<i>Neanthes</i> sp. Kinberg, 1866	C	1.8
<i>Capitamastus</i> sp. Eisig, 1887	D	0.1	<i>Paraleonnates</i> sp.1 Khlebovich et al., 1962	C	0.6
<i>Capitella capitata</i> Fabricius, 1780	D	1.4	<i>Paraleonnates</i> sp.2 Khlebovich et al., 1962	C	0.1
<i>Capitellides</i> sp. Mesnil, 1897	D	4.5	<i>Platynereis</i> sp. Kinberg, 1866	C	0.3
<i>Heteromastus similis.</i> Eisig, 1887	D	3.5	<i>Nereidae</i> larvae	C	20.3
<i>Heteromastus</i> sp. Eisig, 1887	D	3.5	<b>Opheliidae</b>		
<i>Mediomastus</i> sp. Hartman, 1944	D	5.2	<i>Opheliidae</i> (unidentified sp.)	D	0.03
<i>Notomastus</i> sp. Sars, 1850	D	0.1	<b>Pectinariidae</b>		
<i>Parheteromastus</i> sp. Monro, 1937	D	0.7	<i>Lagis</i> sp. Malmgren, 1866	D	2.6
<i>Capitellidae</i> larvae	D	4.0	<i>Pectinariidae</i> larvae	D	0.2
<b>Cirratulidae</b>			<b>Terebellidae</b>		
<i>Cirratulus</i> sp. Lamarck, 1818	D	0.03	<i>Lysilla panbanensis</i> Malmgren, 1866	D	0.6
<b>Aphelochaetidae</b>			<i>Terebellidae</i> (unidentified sp.)	D	20.4
<i>Aphelochaeta</i> sp.	D	0.1	<b>Phyllodocidae</b>		
<b>Dorvilleidae</b>			<i>Eteone</i> sp. Savigny, 1818	C	2.1
<i>Dorvilleidae</i> (unidentified sp.)	D	0.03	<i>Phyllocoete</i> sp. Savigny, 1881	C	0.3
<b>Eunicidae</b>			<i>Phyllodocidae</i> larvae	C	0.1
<i>Marpysa</i> sp. Quatrefages, 1865	C	0.1	<b>Pilargidae</b>		
<i>Eunicidae</i> larvae	C	0.03	<i>Sigambra phuketensis</i> Muller, 1858	C	25.4
<b>Goniadidae</b>			<i>Syemmis</i> sp. Chamberlin, 1919	C	0.3
<i>Glycinde</i> sp. Muller, 1858	C	7.6	<i>Talehsapia amandalei</i> Fauvel, 1932	C	3.9
<i>Goniada</i> sp. Augener, 1914	C	0.1	<i>Pilargidae</i> larvae	C	0.6
<i>Goniadidae</i> larvae	C	0.5	<b>Poecilochaetidae</b>		
<b>Hesionidae</b>			<i>Poecilochaetus</i> sp. Claparede, 1875	D	1.6
<i>Boruania</i> sp. Pillai, 1965	C	0.1	<b>Polynoidae</b> Malmgren, 1867		
<i>Gyptis</i> sp. Marion & Bbretzky, 1875	C	5.5	<i>Polynoidae</i> (unidentified sp.)	C	0.2
<i>Ophiodromus</i> sp. Sars, 1865	C	6.8	<b>Sabellidae</b>		
<i>Parahesione</i> sp. Pettibone, 1956	C	0.3	<i>Laonome</i> sp. Malmgren, 1866	S	0.4
<i>Hesionidae</i> larvae	C	0.2	<i>Sabellastarte</i> sp. Savigny, 1818	S	0.2
<b>Nephtyidae</b>			<b>Serpulidae</b>		
<i>Aglaophamus</i> sp. Kinberg, 1866	C	2.0	<i>Ficopomatus</i> sp. Southern, 1921	S	27.8
<i>Nephys</i> sp. Southern, 1921	C	35.7	<b>Pholoidae</b>		
<i>Nephtyidae</i> larvae	C	3.4	<i>Imajima pholoe</i>	C	12.2
<b>Nereidae</b>			<b>Spionidae</b>		
<i>Ceratonereis</i> sp. Kinberg, 1866	C	0.8	<i>Minispio</i> sp.1 Foster, 1971	D	29.6
<i>Dendronereis pinnaticirris</i> Peters, 1854	C	0.9	<i>Minispio</i> sp.2 Foster, 1971	D	19.4
<i>Leonnates decipiens</i> Fauvel, 1929	C	8.2	<i>Minispio</i> sp.3 Foster, 1971	D	1.3
<i>Leonnates persiaca</i> Kinberg, 1866	C	1.9	<i>Pseudopolydora</i> sp.1	D	3.8
<i>Ceratonereis burmensis</i> Kinberg, 1866	C	82.0	<i>Pseudopolydora</i> sp.2	D	3.7
<i>Leonnates</i> sp. Kinberg, 1866	C	1.6	<i>Prionospio cirrifera</i> Wire'n, 1883	D	9.7
<i>Namalyctis fauveti</i> Takahashi, 1933	C	5.0	<i>Prionospio</i> sp. Malmgren, 1867	D	0.4
<i>Namalyctis indica</i> Takahashi, 1933	C	25.1	<i>Pseudopolydora kempfi</i> Czerniavsky, 1881	D	23.3
<i>Neanthes mossambica</i> Kinberg, 1866	C	6.6	<i>Spionidae</i> larvae	D	2.5
<i>Neanthes talehsapensis</i> Kinberg, 1866	C	2.3	<b>Hirudinea</b>	P	1.2

ส่วนชนิดอื่นๆ ในกลุ่มนี้มีความชุกชุมประมาณ 1 ตัว/ตารางเมตร และคิดเป็นเปอร์เซ็นต์ต่ำกว่า 0.4% นอกจากนี้สามารถแบ่งกลุ่มของแอนเนลิดในทะเลหลวงตอนล่างตามบทบาทของการกินอาหาร ได้ 4 กลุ่ม (ภาพประกอบ 16a) กล่าวคือ กลุ่มกินเนื้อ (carnivore 59.5%) กลุ่มกินชาากินทรี (detritus feeder 33.5%) กลุ่มกินตะกอนแขวนลอย (suspension feeder 6.7%) และกลุ่มพาราไซท์ (parasite 0.3%) โดยแต่ละกลุ่มมีชนิดเด่นที่แตกต่างกัน (ภาพประกอบ 16b) คือ กลุ่มกินเนื้อ ได้แก่ *Ceratonereis burmensis*, *Nephtys* sp., *Sigambra phuketensis*, *Namalycastis indica* และตัวอ่อนของ *Nereidae* กลุ่มกินชาากินทรี ได้แก่ *Minuspio* sp.2, *Pseudopolydora kempfi* และ *Terebellidae* และกลุ่มกินตะกอนแขวนลอย ได้แก่ *Ficopomatus* sp. อย่างไรก็ตามแต่ละชนิดในแต่ละกลุ่มแสดงให้เห็นถึงการเปลี่ยนแปลงในแต่ละช่วงเวลา (ภาพประกอบ 16c) พบว่าในทะเลหลวงตอนล่างมีแอนเนลิดกลุ่มกินเนื้อมากกว่ากลุ่มอื่น ๆ ตลอดทั้งปี แต่พอจะสังเกตได้ว่าช่วงเดือนมิถุนายน กลุ่มกินเนื้อเพิ่มขึ้นโดยมี *Ceratonereis burmensis*, *Nephtys* sp., *Sigambra phuketensis* และตัวอ่อนของ *Nereidae* เป็นชนิดที่พบมาก ส่วนกลุ่มกินตะกอนแขวนลอยก็เพิ่มขึ้นด้วย โดยมี *Ficopomatus* sp. เป็นชนิดเด่น แต่จำนวนน้อยกว่าในขณะที่กลุ่มกินชาากินทรีลดลง แต่ในเดือนตุลาคม กลุ่มกินเนื้อและกินตะกอนลดลงในขณะที่กลุ่มกินชาากินทรีเพิ่มขึ้นโดยมี *Minuspio* sp.2 และ *Pseudopolydora kempfi* เป็นชนิดที่พบมาก แต่มีอย่างเข้าๆ ออกๆ เนื่องจากในเดือนตุลาคมพากินชาากินทรีลดลงในขณะที่มีตัวอ่อนของพากินเนื้อเริ่มมีปริมาณเพิ่มขึ้นเล็กน้อย กลุ่มกินตะกอนแขวนลอยเพิ่มขึ้นอีกครั้งในเดือนกุมภาพันธ์ ส่วนกลุ่มพาราไซท์ พบน้อยมาก จึงไม่มีบทบาทต่อการเปลี่ยนแปลง



ภาพประกอบ 16 การเปลี่ยนแปลงและบทบาทของแอนเนลิดบริเวณทะเลหลวงตอนล่างในรอบปี

## 2.2 การแพร่กระจายของแอนเนลิด

แอนเนลิดหอยชนิดพบได้ทุกเดือน ทุกสถานีของการเก็บตัวอย่าง เนื่องจากมีความสามารถในการปรับตัวให้เข้ากับสภาพแวดล้อมนั้นๆ ได้ดี แต่แอนเนลิดอีกหลายชนิดที่พบเฉพาะพื้นที่และเฉพาะช่วงเวลา (ตาราง 2) สามารถแบ่งตามการแพร่กระจายของชนิดเด่นได้เป็นกลุ่มใหญ่ๆ ดังนี้

กลุ่มที่พบทุกเดือนได้แก่ *Terebellidae* ไม่พบที่สถานี 3, 4 และ 5 แต่สถานี 6 พบรุกเดือน และสถานี 7 ไม่พบเฉพาะเดือนธันวาคม ทั้งนี้พบหนาแน่นสูงสุดที่สถานี 6 เดือนเมษายน (855 ตัว/ตารางเมตร) *Namalycastis indica* พบรุกสถานี โดยเฉพาะสถานี 6 พบรุกเดือน สถานี 7 ไม่พบเฉพาะเดือนสิงหาคม ทั้งนี้พบหนาแน่นสูงสุดที่สถานี 6 เดือนเมษายน จำนวน 542 ตัว/ตารางเมตร *Minospio* sp.1 พบรุกสถานี โดยเฉพาะสถานี 9 ไม่พบเฉพาะเดือนกุมภาพันธ์ ส่วนสถานี 5 ไม่พบเฉพาะเดือนธันวาคม และกุมภาพันธ์ พบรุกหนาแน่นสูงสุดที่สถานี 3 เดือนสิงหาคม (387 ตัว/ตารางเมตร) *Nephrys* sp. พบรุกสถานี โดยเฉพาะสถานี 3, 4 และ 8 พบรุกเดือน สถานี 1 และ 2 ไม่พบเฉพาะเดือนตุลาคม ส่วนสถานีอื่นๆพบระจายในแต่ละเดือนพบรุกหนาแน่นสูงสุดที่สถานี 9 เดือนมิถุนายน จำนวน 273 ตัว/ตารางเมตร *Sigambra phuketensis* พบรุกสถานีโดยเฉพาะสถานี 2 และ 9 พบรุกเดือน สถานี 8 ไม่พบเฉพาะเดือนธันวาคม พบรุกหนาแน่นสูงสุดที่สถานี 1 เดือนสิงหาคม (176 ตัว/ตารางเมตร)

กลุ่มที่พบในระดับความถี่รองลงมา ได้แก่ *Pseudopolydora kempfi* พบรังแต่เดือนเมษายน ถึงธันวาคม พบรุกครั้งที่สถานี 7 และไม่พบเลยที่สถานี 4 ส่วนที่สถานี 6 และ 8 พบรังแต่เดือนมิถุนายน ถึงธันวาคม ทั้งนี้พบหนาแน่นสูงสุดที่สถานี 6 เดือนตุลาคม (771 ตัว/ตารางเมตร) *Prionospio cirrifera* พบรังแต่เดือนมิถุนายน ถึง กุมภาพันธ์ แต่เดือนกุมภาพันธ์ พบระจายสถานี 9 ทั้งนี้พบหนาแน่นสูงสุดที่สถานี 5 เดือนตุลาคม (682 ตัว/ตารางเมตร) *Ceratonereis burmensis* พบรังแต่เดือนมิถุนายน ถึง กุมภาพันธ์ พบรุกครั้งที่สถานี 1 และ 3 เดือนมิถุนายนและสิงหาคม พบรุกสถานี เดือนธันวาคมไม่พบเฉพาะสถานี 7 ส่วนเดือนตุลาคม ไม่พบเฉพาะสถานี 28 และ 9 เดือนกุมภาพันธ์ พบระจายสถานี 1, 2, 3 และ 7 ทั้งนี้พบความซูกชุมสูงสุดที่สถานี 2 เดือนมิถุนายน 616 ตัว/ตารางเมตร *Mediomastus* sp. พบรังแต่เดือนมิถุนายน ถึง กุมภาพันธ์ พบรุกครั้งที่สถานี 2 และ 3 ไม่พบเลยที่สถานี 5 และ 6 ทั้งนี้พบหนาแน่นสูงสุดที่สถานี 8 เดือนตุลาคม จำนวน 60 ตัว/ตารางเมตร *Gyptis* sp. พบรังแต่เดือนเมษายน ถึงธันวาคม พบรุกครั้งที่สถานี 9 ส่วนสถานี 3 ไม่พบเฉพาะเดือนเมษายนและกุมภาพันธ์ และไม่พบเลยที่สถานี 4 ทั้งนี้พบหนาแน่นสูงสุดที่สถานี 8 เดือนมิถุนายน (53 ตัว/ตารางเมตร) *Ophiodromus* sp. พบรังแต่เดือนเมษายน ถึง ธันวาคม พบรุกครั้งที่สถานี 1

ตาราง 2 ความสัมพันธ์ของการแพร่กระจาย(สถานี), ความหนาแน่นสูงสุดและเดือนที่พบ  
ตัวเลขที่ปีดเส้นใต้แสดงสถานีที่มีความหนาแน่นสูงสุด

Taxa	Max density (ind m <sup>-2</sup> )	Distribution occurrence (station no.)					
		April	June	August	October	December	February
<b>Annelida</b>							
Polychaeta							
Capitellidae							
<i>Capitamastus</i> sp.	2	2	2				
<i>Capitella capitata</i>	24					12356	1369
<i>Capitellides</i> sp.	155		56789	567			
<i>Heteromastus similis</i>	30	23589	24789	123456789	234589	23789	123789
<i>Heteromastus</i> sp.	30	23589	24789	123456789	234589	23789	123789
<i>Mediomastus</i> sp.	64		1238	12378	1234789	237	23
<i>Notomastus</i> sp.	2				7		7
<i>Parheteromastus cf.tenuis</i>	11	2	12	123			
Capitellidae larvae	45		1	13	12358	1234679	12367
Cirratulidae							
<i>Cirratulus</i> sp.	2			3			
Cossuridae							
<i>Aphelochaeta</i> sp.	4			3			
Dorvilleidae							
Unidentified sp	2	1					
Eunicidae							
<i>Marpysa</i> sp.	2			2			
Eunicidae larvae	2	1					
Goniadiidae							
<i>Glycinde</i> sp.	102			1346789	123456789		123
<i>Goniada</i> sp.	2	2		1			
Goniadiidae larvae	22			7			123
Hesionidae							
<i>Bonuania</i> sp.	2			67	69		
<i>Gyptis</i> sp.	53	189	12389	1236789	356789		39
<i>Ophiodromus</i> sp.	62	1	1239	1356789	1356789		1
<i>Parahesione</i> sp.	5			137			
Hesionidae larvae	2			7	9		258
Nephtyidae							
<i>Aglaophamus</i> sp.	40	124789	347				
<i>Nephrys</i> sp.	273	12345789	123456789	12346789	34578	123468	1234678
Nephtyidae larvae	53			3	4	1245689	123456789
Nereidae							
<i>Ceratonereis burmensis</i>	618	8	123456789	123456789	13456789	1235679	12347
<i>Ceratonereis</i> sp.	22	2389					
<i>Dendronereis pinnaticirris</i>	31	9	9	9	8		
<i>Leonnates decipiens</i>	171	249	12349	4678	6		
<i>Leonnates persica</i>	7	8	249	68	8		
<i>Leonnates</i> sp.	35		679	89	6		9
<i>Namalycastis fauveli</i>	84	279	23689	79	4	468	39
<i>Namalycastis indica</i>	542	2356789	3456789	3456	14678	45678	67
<i>Neanthes cf.mossambica</i>	127	136	6	689	6	6	16789
<i>Neanthes talehsapensis</i>	58	6	67	69	6	6	
<i>Neanthes</i> sp.	73					6	679
<i>Paraleonnates</i> sp. 1	4		24	3578	57	23689	
<i>Paraleonnates</i> sp. 2	7		8				
<i>Platynereis</i> sp.	18	9					
Nereidae larvae	135	1	123589	1234569	123456789	12346789	12369
Opheliidae							
Unidentified sp.	2				9		
Pectinariidae							
<i>Logis</i> sp.	42	67	7	67	67	3689	134
Pectinariidae larvac	5					68	78
Phyllodocidae							
<i>Eteone</i> sp.	45		567	23456	68		

ตาราง 2 (ต่อ)

Taxa	Max density (ind m <sup>-2</sup> )	April	Distribution occurrence (station no.)				
			June	August	October	December	February
<i>Phyllodoce</i> sp.	5				569	6	
Phyllodocidae larvae	4					6	3
Pilargidae							
<i>Sigambra phuketensis</i>	176	289	1234789	1234689	1234689	1235679	8
<i>Synelmis</i> sp.	5	3	9	13	3		
<i>Talehsapia amandalei</i>	47	12	12348	123458	13	1235	
Pilargidae larvae	7		1		9	19	123
Poecilochaetidae							
<i>Poecilochaetus</i> sp.	62	238	1389	7			
Polynoidae							
Unidentified sp.	4			39	38		
Sabellidae							
<i>Laonome</i> sp.	7			56		468	
<i>Sabellastarte</i> sp.	7		67				
Serpulidae							
<i>Ficopomatus</i> sp.	909		3689	689	6		489
Pholoidae							
<i>Imajima pholoe</i>	115	6	123478	35679	34678	1234678	12346789
Spionidae							
<i>Minuspio</i> sp. 1	387	459	123456789	123456789	2569	29	1
<i>Minuspio</i> sp.2	73	12478	3458	13456789	35679	67	346789
<i>Minuspio</i> sp.3	22		5	59	2345678	5	
<i>Pseudopolydora kempfi</i>	771	57	356789	12356789	678	678	
<i>Pseudopolydora</i> sp.1	71	79		16	1234568	6	
<i>Pseudopolydora</i> sp.2	87	478	5	389	13589		6
<i>Prionospio cirrifera</i>	682		2568	12378	3456789	2459	9
<i>Prionospio</i> sp.	5		8	168	138		
Spionidae larvae	45			79	459	123456789	6
Terebellidae							
<i>Lysilla panbanensis</i>	11			12378			
Unidentified sp.	855	679	167	67	67	68	267
Hirudinea							
Unidentified sp.	11	9	78	689	672	14589	5678

ส่วนสถานี 3 ไม่พบเฉพาะเดือนเมษายน ธันวาคมและกุมภาพันธ์ และไม่พบเลยที่สถานี 4 ทั้งนี้พบหนาแน่นสูงสุดที่สถานี 9 เดือนมิถุนายน (62 ตัว/ตารางเมตร) *Talehsapia annandalei* พบรดับแต่เดือนเมษายน ถึงธันวาคม พบรทุกรังที่สถานี 1 สถานี 2 ไม่พบเฉพาะเดือนตุลาคม สถานี 3 ไม่พบเฉพาะเดือนเมษายน และไม่พบเลยที่สถานี 6,7 และ 9 ทั้งนี้พบหนาแน่นสูงสุดที่สถานี 4 เดือนสิงหาคม (47 ตัว/ตารางเมตร) *Pseudopolydora* sp.1 พบรดับแต่เดือนเมษายน ถึงตุลาคม และกุมภาพันธ์ พบรทุกรังที่สถานี 8 และไม่พบเลยที่สถานี 2 และ 7 ทั้งนี้พบหนาแน่นสูงสุดที่สถานี 9 เดือนสิงหาคม (87 ตัว/ตารางเมตร) ส่วนชนิดอื่นๆ มีความถี่ของการพบในแต่ละสถานี และแต่ละเดือนน้อย อีกทั้งความชุกชุมก็น้อยด้วย

นอกจากนี้ยังพบแอนเนลิดวัยอ่อนหลายชนิด โดยสังเกตเห็นว่าแอนเนลิดวัยอ่อนส่วนใหญ่พบในเดือนสิงหาคม ไปจนถึงกุมภาพันธ์ ได้แก่ *Nereidae larvae* พบรเป็นชนิดเด่น พบรทุกเดือนโดยเฉพาะที่สถานี 1 ส่วนสถานี 2, 3 และ 9 พบรดับแต่เดือนมิถุนายน ถึงกุมภาพันธ์ ทั้งนี้มีความชุกชุมสูงสุดที่สถานี 1 เดือนมิถุนายน (135 ตัว/ตารางเมตร) *Capitellidae larvae* พบรดับแต่เดือนมิถุนายน ถึงกุมภาพันธ์ พบรทุกรังที่สถานี 1 *Goniadidae larvae* พบรในเดือนสิงหาคมเฉพาะสถานี 7 และธันวาคม พบรเฉพาะสถานี 1, 2 และ 3 *Hesionidae larvae* พบรในเดือนสิงหาคม ที่สถานี 7 ตุลาคม ที่สถานี 9 และธันวาคม ที่สถานี 2, 5 และ 8 *Nephtyidae larvae* พบรในเดือนสิงหาคม เฉพาะสถานี 3 ตุลาคม เฉพาะสถานี 4 ธันวาคม พบรยกเว้นสถานี 3 และ 7 และกุมภาพันธ์ พบรทุกสถานี *Pectinariidae larvae* พบรในเดือนธันวาคม เฉพาะสถานี 6 และ 8 กุมภาพันธ์ เฉพาะสถานี 7 และ 8 *Phyllodocidae larvae* พบรในเดือนธันวาคม เฉพาะสถานี 6 และกุมภาพันธ์ เฉพาะสถานี 3 *Pilargiidae larvae* พบรในเดือนมิถุนายน เฉพาะสถานี 1 ตุลาคม เฉพาะสถานี 9 ธันวาคม เฉพาะสถานี 1 และ 9 และกุมภาพันธ์ เฉพาะสถานี 1, 2 และ 3 *Spionidae larvae* พบรในเดือนสิงหาคม เฉพาะสถานี 7 และ 9 ตุลาคม เฉพาะสถานี 4, 5 และ 9 ธันวาคม พบรทุกสถานี และกุมภาพันธ์ เฉพาะสถานี 6 ส่วน *Eunicidae larvae* พบรเฉพาะเดือนเมษายน สถานี 1 เพียงสถานีเดียว

### 3. การวิเคราะห์ผลเพื่อหาโครงสร้างของประชาชุมแอนเนลิด

#### 3.1 การวิเคราะห์ Univariate

ผลการวิเคราะห์ univariate "ได้แก่ ความชุกชุม (ตัว/ตารางเมตร) Shannon-Wiener's diversity indices, evenness และ species richness ซึ่งจากการศึกษาทั้งในเชิงสถานีและเชิงเวลา "ได้ผลดังนี้ คือ

3.1.1 Univariate analysis เชิงสถานี มีจำนวนชนิดอยู่ระหว่าง 30-49 ชนิด โดยพบรสูงสุดที่สถานี 9 และต่ำสุดที่สถานี 4 และ 5 ความชุกชุมเฉลี่ยอยู่ระหว่าง 205-949 ตัว/ตารางเมตร โดยมีค่าสูงสุดและต่ำสุดที่ สถานี 6 และ 1 ตามลำดับ ส่วน Shannon-Wiener's diversity indices,

evenness และ species richness มีค่าอยู่ระหว่าง 1.9-3.2, 0.6-0.8 และ 4.9-8.3 ตามลำดับ (ตาราง 3)

ตาราง 3 ค่า univariate analysis ของแอนเนลิดในเชิงสถานี

	สถานี								
	1	2	3	4	5	6	7	8	9
จำนวนชนิด	40	38	45	30	30	43	44	46	49
ความชุกชุม เฉลี่ย(ตัว/m <sup>2</sup> )	205	343	389	227	427	949	319	255	815
Shannon	2.67	2.32	2.59	2.36	1.89	2.63	2.40	3.18	2.67
Evenness	0.73	0.64	0.68	0.69	0.55	0.69	0.64	0.83	0.68
Richness	7.33	6.34	7.55	5.53	4.95	6.42	7.29	8.30	7.31

3.1.2 Univariate analysis เชิงเวลา มีจำนวนชนิดอยู่ระหว่าง 27-52 ชนิด โดยพบสูงสุดเดือน สิงหาคม และต่ำสุดเดือนกุมภาพันธ์ 2542 ความชุกชุมเฉลี่ยอยู่ระหว่าง 173-772 ตัว/ตารางเมตร โดยมีค่าสูงสุดและต่ำสุด เดือนมิถุนายน และ กุมภาพันธ์ 2542 ตามลำดับ ส่วน Shannon-Wiener's diversity indices, evenness และ species richness มีค่าอยู่ระหว่าง 2.2-2.9, 0.6-0.8 และ 5.4-8.3 ตามลำดับ (ตาราง 4)

ตาราง 4 ค่า univariate analysis ของสัตว์หน้าดินในเชิงเวลา

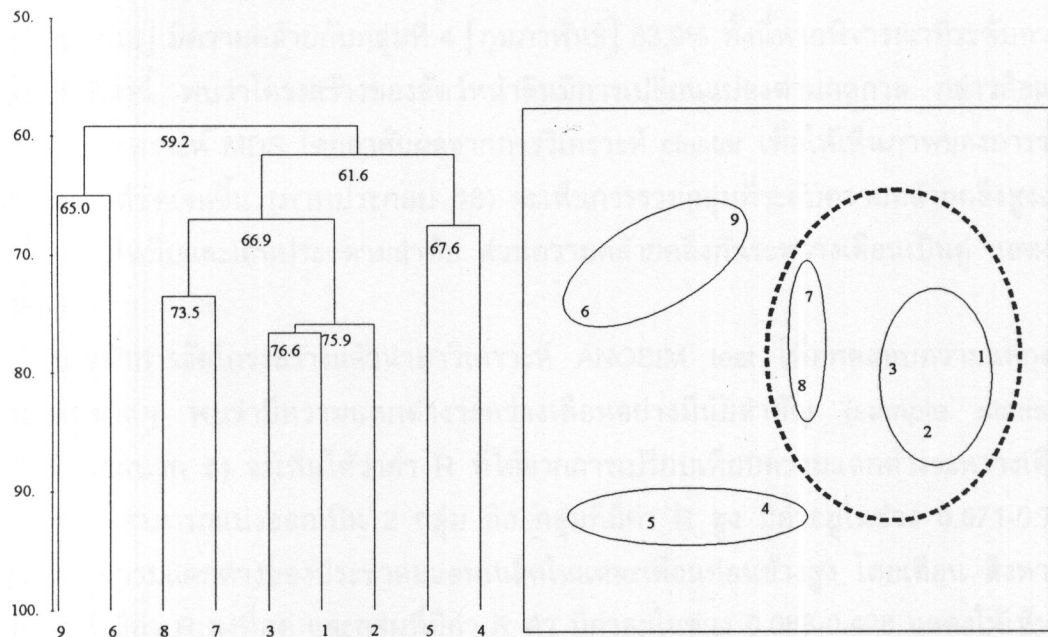
	เดือน					
	เม.ย 2541	มิ.ย.	ส.ค.	ต.ค.	ธ.ค.	ก.พ. 2542
จำนวนชนิด	35	43	52	47	39	27
ความชุกชุมเฉลี่ย (ตัว/m <sup>2</sup> )	346	772	618	483	228	173
Shannon	2.15	2.40	2.89	2.79	2.82	2.50
Evenness	0.61	0.63	0.72	0.72	0.77	0.74
Richness	5.65	6.62	8.25	7.77	7.00	5.44

### 3.2 การวิเคราะห์ multivariate

3.2.1 Multivariate analysis เชิงสถานี วิเคราะห์ด้วย CLUSTER สามารถแบ่งโครงสร้างประชากรมของแอนเนลิด ออกเป็นกลุ่ม ซึ่งแสดงให้เห็นด้วยภาพเดนโตรแกรม (ภาพประกอบ 17) พบว่า โครงสร้างของแอนเนลิดมีความคล้ายคลึงกันในระดับปานกลาง (59.2%) อย่างไรก็ตามหากพิจารณาที่ระดับความคล้ายคลึงกัน 65.0% อย่างไรก็ตาม สามารถแบ่งกลุ่มสถานีได้ 3 กลุ่ม โดย

กลุ่มที่ 1 [1-2-3-7-8] มีความคล้ายคลึงกัน 67.0% กลุ่มที่ 2 [4-5] มีความคล้ายคลึงกัน 67.6% และกลุ่มที่ 3 [6-9] มีความคล้ายคลึงกัน 65.0% หากพิจารณาที่ระดับความคล้ายคลึงสูงกว่านี้จะสามารถแบ่งออกเป็นกลุ่มได้มากขึ้น เมื่อวิเคราะห์ MDS โดยอาศัยผลจากการวิเคราะห์ cluster เพื่อให้เห็นภาพของการรวมกลุ่มของแต่ละสถานีได้ชัดเจนขึ้น (ภาพประกอบ 18) และแสดงให้เห็นถึงการแบ่งกลุ่มในระดับความคล้ายคลึงที่สูงขึ้น จากวงเส้นทึบที่อยู่ภายในเส้นประ ส่วนความคล้ายคลึงกันระหว่างสถานานี้เป็นคู่ๆ แสดงในภาคผนวก 2

BRAY-CURTIS SIMILARITY



ภาพประกอบ 17 เด่นໂໂຣແກຣມ ของการจัดกลุ่มแอนเนลิด และ MDS โดยแบ่งกลุ่มตามผล การวิเคราะห์ cluster (Stress=0.03) เชิงสถานี

เมื่อทำการจัดโครงสร้างแล้วนำมาวิเคราะห์ ANOSIM test เพื่อทดสอบความแตกต่าง ระหว่างสถานีต่าง ๆ พบร่วมความแตกต่างระหว่างสถานีอย่างมีนัยสำคัญ (sample statistic,  $R=0.212$ ) (ภาคผนวก 4) จะเห็นได้ว่าค่า R ที่ได้จากการเปรียบเทียบความแตกต่างระหว่างสถานี (pairwise test) มีค่าต่ำมาก โดยอยู่ในช่วง  $-0.007-0.478$  แสดงให้เห็นว่ามีความแตกต่างระหว่างสถานีน้อยมาก ยกเว้นการเปรียบเทียบระหว่างสถานี 1 กับ 6 ซึ่งมีค่า  $R=0.654$  แสดงให้เห็นว่ามีความแตกต่างกัน ในระดับปานกลาง

จากผลการจัดกลุ่มของแอนเนลิดในเชิงสถานี ที่ระดับ 65% ซึ่งแบ่งได้ 3 กลุ่มนั้น เมื่อวิเคราะห์เพื่อต้องการทราบว่าแอนเนลิดชนิดใดมีอิทธิพลต่อการแยกกลุ่มแต่ละกลุ่ม ด้วยโปรแกรม SIMPER พบร่วม ชนิดที่มีอิทธิพลสูงสุดต่อการแยกกลุ่มโดยเปรียบเทียบแต่ละกลุ่ม (ตาราง 5) คือ

กลุ่ม 1 กับ 2 ได้แก่ *Ceratonereis burmensis* (5.62%) กลุ่ม 1 กับ 3 ได้แก่ *Namalycastis indica* (4.48%) กลุ่ม 2 กับ 3 ได้แก่ *Namalycastis indica* (4.73%)

3.2.2 Multivariate indices เชิงเวลา สามารถแบ่งโครงสร้างประชาคมของแอนเนลิดออกเป็นกลุ่มๆ โดยการวิเคราะห์ cluster ซึ่งแสดงให้เห็นด้วยภาพ เดนโดรแกรม (ภาพประกอบ 18) พบว่า มีความคล้ายคลึงกันค่อนข้างต่ำ (48.9%) อย่างไรก็ตามหากพิจารณาแบ่งกลุ่มที่ระดับความคล้ายคลึง 65.0% สามารถแบ่งได้ 4 กลุ่ม โดยกลุ่มที่ 1 [เมษายน] มีความคล้ายคลึงกันเดือนอื่นๆ ค่อนข้างต่ำ (48.9%) กลุ่มที่ 2 [มิถุนายน-สิงหาคม-ตุลาคม] มีความคล้ายคลึงกัน 71.9% กลุ่มที่ 3 [ธันวาคม] มีความคล้ายกันกับกลุ่มที่ 4 [กุมภาพันธ์] 63.9% ทั้งนี้หากพิจารณาที่ระดับความคล้ายคลึงที่ต่ำกว่านี้ พบว่าโครงสร้างของสัตว์หน้าดินมีการเปลี่ยนแปลงตามฤดูกาล กล่าวคือแบ่งได้ 3 กลุ่ม เมื่อวิเคราะห์ MDS โดยอาศัยผลจากการวิเคราะห์ cluster เพื่อให้เห็นภาพของการรวมกลุ่มแต่ละเดือนได้ชัดเจนขึ้น (ภาพประกอบ 18) จะเห็นการรวมกลุ่มที่ระดับความคล้ายคลึงสูงและต่ำกว่า ด้วยวงเส้นทึบและเส้นประ ตามลำดับ ส่วนความคล้ายคลึงกันระหว่างเดือนเป็นคู่ แสดงในภาคผนวก 3

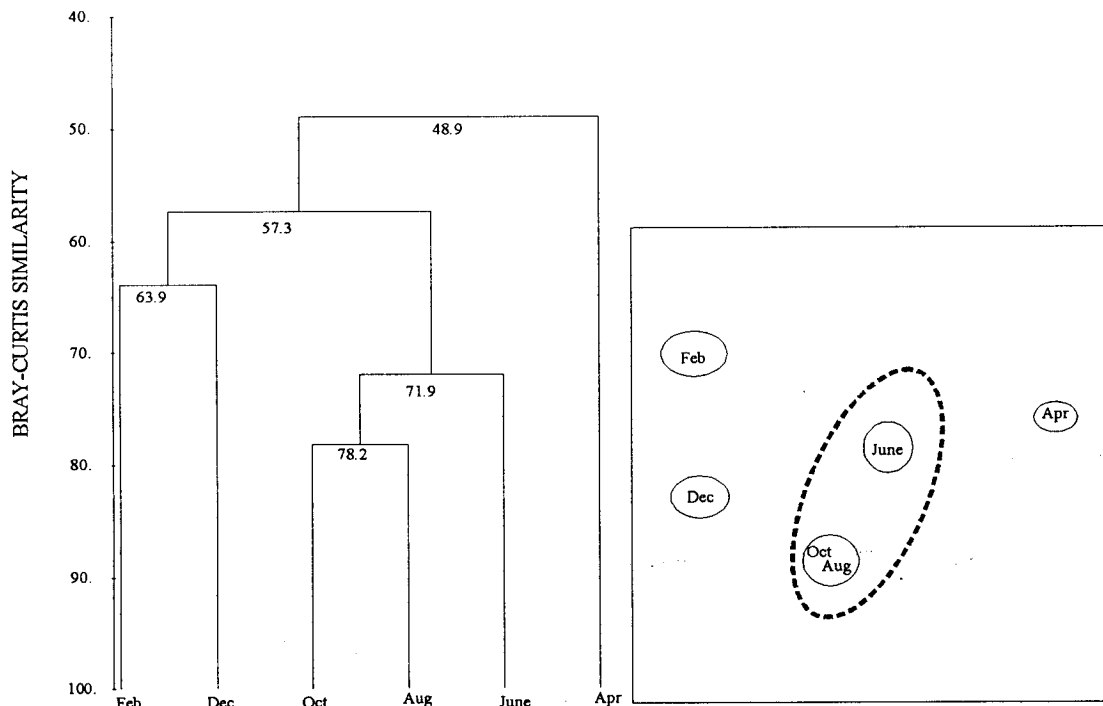
เมื่อทำการจัดโครงสร้างแล้วนำมารวิเคราะห์ ANOSIM test เพื่อทดสอบความแตกต่างระหว่างเดือนต่างๆ พบว่ามีความแตกต่างระหว่างเดือนอย่างมีนัยสำคัญ (sample statistic,  $R=0.533$ ) (ภาคผนวก 5) จะเห็นได้ว่าค่า R ที่ได้จากการเปรียบเทียบความแตกต่างระหว่างเดือน (pairwise test) สามารถแบ่งออกเป็น 2 กลุ่ม คือ กลุ่มที่มีค่า R สูง มีค่าอยู่ในช่วง 0.571-0.776 แสดงให้เห็นถึงความแตกต่างของประชาคมแอนเนลิดในแต่ละเดือนค่อนข้างสูง โดยเดือน สิงหาคม กับ กุมภาพันธ์ มีค่า R สูงที่สุด และกลุ่มที่มีค่า R ต่ำ มีค่าอยู่ในช่วง 0.088-0.428 แสดงให้เห็นถึงความแตกต่างของประชาคมแอนเนลิดในแต่ละเดือนค่อนข้างต่ำ โดยเดือนมิถุนายน กับธันวาคม มีความแตกต่างของโครงสร้างแอนเนลิดน้อยที่สุด

ตาราง 5 แอนเนลิดชนิดที่มีอิทธิพลต่อการแยกกลุ่มเชิงสถานี ที่สูงกว่า 2 เปอร์เซ็นต์

Percentage of dissimilarity between groups					
No.	1&2	No.	1&3	No.	2&3
20	5.62	17	4.48	17	4.71
41	4.41	20	4.02	20	4.58
6	4.34	30	3.59	63	4.00
30	4.16	63	3.56	25	3.89
29	4.00	25	3.32	30	3.77
1	3.53	6	3.25	41	3.57
42	3.38	39	3.00	66	3.51
43	3.24	66	2.97	43	3.17
52	3.12	43	2.91	29	3.11
17	3.08	41	2.89	6	3.03
32	2.99	29	2.85	39	3.00
7	2.79	1	2.80	1	2.98
59	2.73	16	2.55	42	2.94
33	2.62	12	2.34	16	2.76
39	2.39	52	2.28	26	2.46
19	2.36	10	2.26	12	2.36
10	2.35	26	2.25	46	2.19
12	2.22	59	2.19	18	2.14
18	2.05	33	2.11	32	2.07

หมายเหตุ 1) No. แทนชื่อของแอนเนลิด ดังแสดงใน ผนวก 6

2) แอนเนลิดชนิดอื่น ๆ ที่ไม่ได้รายงาน พบว่ามีอิทธิพลต่อการแยกกลุ่มในระดับ  
ที่ต่ำกว่า 2 เปอร์เซ็นต์



ภาพประกอบ 18 เด่นrogram ของการจัดกลุ่มแอนเนลิด และ MDS โดยแบ่งกลุ่มตามผลการวิเคราะห์ cluster (stress 0.01) ในเชิงเวลา

จากผลการจัดกลุ่มของแอนเนลิดในเชิงเวลา ที่ระดับ 65% ซึ่งสามารถแบ่งได้ 4 กลุ่มนั้น เมื่อวิเคราะห์เพื่อต้องการทราบว่าแอนเนลิดชนิดใดมีอิทธิพลต่อการแยกกลุ่มแต่ละกลุ่ม ด้วยโปรแกรม SIMPER พบร่วม ชนิดที่มีอิทธิพลสูงสุดต่อการแยกกลุ่มโดยเปรียบเทียบแต่ละกลุ่ม (ตาราง 6) คือ กลุ่ม 1 กับ 2 ได้แก่ *Ceratonereis burmensis* (7.11%) กลุ่ม 1 กับ 3 ได้แก่ *Ceratonereis burmensis* (5.17%) กลุ่ม 1 กับ 4 ได้แก่ ตัวอ่อนของ *Nephtyidae* (6.94%) กลุ่ม 2 กับ 3 ได้แก่ แก่ *Minuspio* sp.1 (4.34%) กลุ่ม 2 กับ 4 ได้แก่ *Ceratonereis burmensis* (5.82%) กลุ่ม 3 กับ 4 ได้แก่ *Sigambra phuketensis* (6.34%)

ตาราง 6 แอนเนลิดชนิดที่มีอิทธิพลต่อการแยกกลุ่มเชิงเวลา ที่สูงกว่า 2 เปอร์เซ็นต์

Percentage of dissimilarity between groups											
No.	1&2	No.	1&3	No.	1&4	No.	2&3	No.	2&4	No.	3&4
20	7.11	20	5.17	32	6.94	41	4.34	20	5.82	6	6.34
29	4.30	1	5.01	17	6.36	20	4.21	41	4.55	46	5.46
41	4.08	6	4.84	1	5.68	46	3.60	32	4.25	20	4.95
6	3.95	46	4.76	30	5.59	1	3.57	6	4.23	1	4.35
17	3.68	30	4.75	63	4.34	6	3.53	29	3.46	29	4.24
30	3.53	29	4.39	31	4.18	30	3.41	30	3.10	59	4.00
63	3.06	17	4.06	66	3.87	39	3.07	17	3.09	17	3.94
33	2.97	59	4.05	43	3.65	59	3.01	10	2.99	30	3.91
10	2.94	32	3.57	25	3.54	32	2.97	66	2.98	43	3.85
39	2.89	31	3.27	59	3.53	10	2.96	33	2.95	66	3.65
31	2.79	63	3.15	29	3.15	42	2.95	1	2.91	25	3.48
42	2.76	43	2.85	24	2.69	43	2.95	39	2.90	42	3.17
43	2.74	42	2.56	41	2.59	33	2.82	43	2.79	32	3.06
52	2.73	68	2.33	20	2.51	17	2.73	42	2.70	68	2.51
12	2.58	39	2.17	18	2.37	29	2.70	52	2.65	60	2.33
18	2.57	41	2.17	68	2.36	12	2.57	25	2.61	27	2.32
7	2.38	24	2.10	48	2.33	52	2.52	12	2.60	63	2.25
1	2.15			16	2.31	7	2.39	59	2.52	52	2.20
38	2.04			38	2.16			7	2.35	7	2.20
				27	2.15					22	2.20
										9	2.18
										57	2.11

หมายเหตุ 1) No. แทนชื่อของแอนเนลิด ดังแสดงใน ผนวก 6

2) แอนเนลิดชนิดอื่นๆ ที่ไม่ได้รายงาน พบว่ามีอิทธิพลต่อการแยกกลุ่มในระดับ  
ที่ต่ำกว่า 2 เปอร์เซ็นต์

#### 4. สหสัมพันธ์ระหว่างปัจจัยสิ่งแวดล้อมกับประชาคมของแอนเนลิด

##### 4.1 การวิเคราะห์ค่าสหสัมพันธ์เชิงสถานี (Best variable combinations, $\rho_w$ )

วิเคราะห์ปัจจัยสิ่งแวดล้อมเพียงตัวเดียวที่มีผลต่อปริมาณและชนิดของแอนเนลิดในทะเลหลวงตอนล่างสูงที่สุด คือ "ไนโตรเจนรวมในดิน (0.41)" (ตาราง 7) เมื่อวิเคราะห์โดยรวมปัจจัยสิ่งแวดล้อมทั้ง 13 ปัจจัย พบร่วมกัน 0.738\* ซึ่งมีความสัมพันธ์ปานกลาง อันประกอบด้วย 4 ปัจจัย คือ % Silt ในไนโตรเจนรวมในตะกอนดิน ออกซิเจนที่ละลายน้ำ และอุณหภูมิของน้ำ นอกจากนี้ยังพบว่า ค่าสหสัมพันธ์ต่ำสุดเมื่อประกอบด้วยปัจจัยสิ่งแวดล้อมทุกตัวแปร ( $\rho_w=0.43$ ) (ตาราง 8)

ตาราง 7 สหสัมพันธ์ระหว่างปัจจัยสิ่งแวดล้อมแต่ละตัวแปรกับประชาคมแอนเนลิดเชิงสถานี

k	Clay	Silt	Sand	OC	OM	TN	pHs	Depth	pHw	DO.	TSS	Sal.	Temp
$\rho_w$	0.13	0.11	-0.49	0.12	0.12	0.41 *	-0.25	-0.38	0.02	0.22	-0.04	0.10	0.05

ตาราง 8 ค่า Harmonic rank correlation coefficient (weighted spearman) ระหว่างปัจจัยสิ่งแวดล้อมกับแอนเนลิด ในทะเล หลวงตอนล่างเชิงสถานี

k	Best variable combinations ( $\rho_w$ )													
1	0.409	TN												
2	0.578	TN	DO											
3	0.702	Silt	TN	DO										
4	0.738 *	Silt	TN	DO	Temp									
5	0.697	Clay	Silt	TN	DO	Temp								
6	0.654	Clay	Silt	Sand	TN	DO	Temp							
7	0.636	Silt	Sand	OC	TN	DO	TSS	Temp						
8	0.619	Clay	Silt	Sand	OC	TN	DO	TSS	Temp					
9	0.587	Clay	Silt	Sand	OC	OM	TN	pHw	DO	Temp				
10	0.571	Clay	Silt	Sand	OC	OM	TN	pHw	DO	TSS	Temp			
11	0.517	Clay	Silt	Sand	OC	OM	TN	Depth	pHw	DO	Sal	Temp		
12	0.465	Clay	Silt	Sand	OC	OM	TN	pHs	pHw	DO	TSS	Sal	Temp	
13	0.427	Clay	Silt	Sand	OC	OM	TN	pHs	Depth	pHw	DO	TSS	Sal	Temp

k หมายถึง จำนวนตัวแปรปัจจัยสิ่งแวดล้อมที่นำมาวิเคราะห์สหสัมพันธ์

## 4.2 การวิเคราะห์ ค่าสหสัมพันธ์เชิงเวลา

พิจารณาปัจจัยสิ่งแวดล้อมเพียงตัวเดียวที่มีผลต่อการเปลี่ยนแปลงปริมาณและชนิดของแอนเนลิตในทะเลหลวงตอนล่างสูงที่สุด คือ อินทรีย์คาร์บอน และอินทรีย์วัตถุ ซึ่งมีค่าเท่ากัน ( $0.85^*$ ) (ตาราง 9) เมื่อวิเคราะห์โดยรวมปัจจัยสิ่งแวดล้อมทั้ง 13 ปัจจัย (น้ำและตะกอนดิน) พบว่ามีค่าสูงสุด เท่ากับ  $0.882^*$  ซึ่งมีความสัมพันธ์ค่อนข้างสูง อันประกอบด้วย 5 ปัจจัย คือ % Silt อินทรีย์คาร์บอน อินทรีย์วัตถุ พืเขอซึ่งของตะกอนดิน และอุณหภูมิของน้ำ นอกจากนี้ยังพบว่า ค่าสหสัมพันธ์ต่ำสุดเมื่อประกอบด้วยปัจจัยสิ่งแวดล้อมทุกตัวแปร ( $\rho_w=0.69$ ) (ตาราง 10)

ตาราง 9 สหสัมพันธ์ระหว่างปัจจัยสิ่งแวดล้อมแต่ละตัวแปรกับประชาคมแอนเนลิต เชิงเวลา

k	Clay	Silt	Sand	OC	OM	TN	pHs	Depth	pHw	DO.	TSS	Sal.	Temp
$\rho_w$	-0.05	-0.11	-0.41	0.85*	0.85*	0.40	-0.08	0.22	0.24	0.09	0.17	0.55	0.47

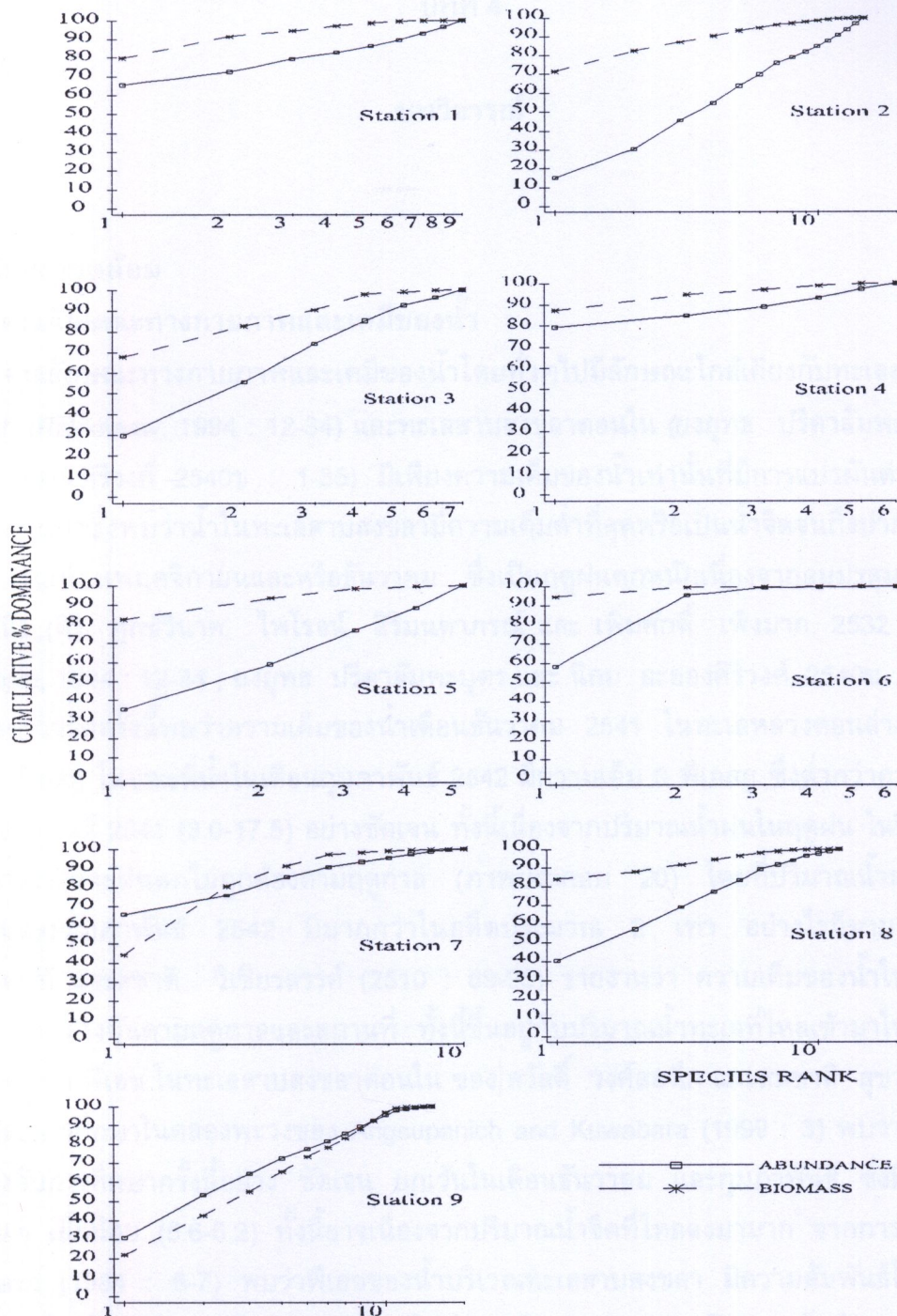
ตาราง 10 ค่า Harmonic rank correlation coefficient (weighted spearman) ระหว่างปัจจัยสิ่งแวดล้อมกับแอนเนลิต ในทะเล หลวงตอนล่างเชิงเวลา

k	Best variable combinations ( $\rho_w$ )													
1	0.846	OC												
1	0.846	OM												
2	0.846	OC	OM											
3	0.864	OC	OM	Temp										
4	0.850	OC	OM	pHs	Temp									
5	0.882*	Silt	OC	OM	pHs	Temp								
6	0.874	Sand	OC	OM	pHs	DO	Temp							
7	0.863	Silt	Sand	OC	OM	pHs	Depth	DO						
8	0.854	Silt	Sand	OC	OM	pHs	Depth	DO	TSS					
9	0.881	Silt	Sand	OC	OM	pHs	Depth	DO	TSS	Temp				
10	0.855	Clay	Silt	OC	OM	pHs	Depth	DO	TSS	Sal	Temp			
11	0.827	Silt	Sand	OC	OM	TN	pHs	pHw	DO	TSS	Sal	Temp		
12	0.782	Clay	Silt	OC	OM	TN	pHs	Depth	pHw	DO	TSS	Sal	Temp	
13	0.697	Clay	Silt	Sand	OC	OM	TN	pHs	Depth	pHw	DO	TSS	Sal	Temp

k หมายถึง จำนวนตัวแปรปัจจัยสิ่งแวดล้อมที่นำมาวิเคราะห์สหสัมพันธ์

## 5. ความสัมพันธ์ระหว่างมวลชีวภาพกับความชุกชุมของแอนเนลิด

จากการนำข้อมูลความชุกชุมและมวลชีวภาพ มาวิเคราะห์เพื่อรายงานถึงระดับของ ภาวะมลพิษของแต่ละพื้นที่ โดยการใช้ความชุกชุมและมวลชีวภาพเป็นตัวชี้วัด Abundance/Biomass Comparison (ABC plots) ด้วยโปรแกรม DOMPLOT ซึ่งแสดงผลในรูปของ เส้นกราฟ (ภาพประกอบ 19) พบร่วม ส่วนใหญ่เส้นกราฟแสดงความชุกชุม อยู่ด้านล่างเส้นกราฟ และแสดงมวลชีวภาพเกือบทุกสถานี ยกเว้นสถานี 7 เส้นกราฟของความชุกชุมตัดกับเส้นกราฟของ มวลชีวภาพ สถานี 9 เส้นกราฟความชุกชุมของแอนเนลิดสูงกว่ามวลชีวภาพ ส่วนสถานี 6 เส้น กราฟทั้ง 2 เส้นอยู่ชิดกันมาก



ภาพประกอบ 19 แสดงความสัมพันธ์ระหว่างความชากชุมและมวลชีวภาพของแอนเนลิด  
(ABC Plots)

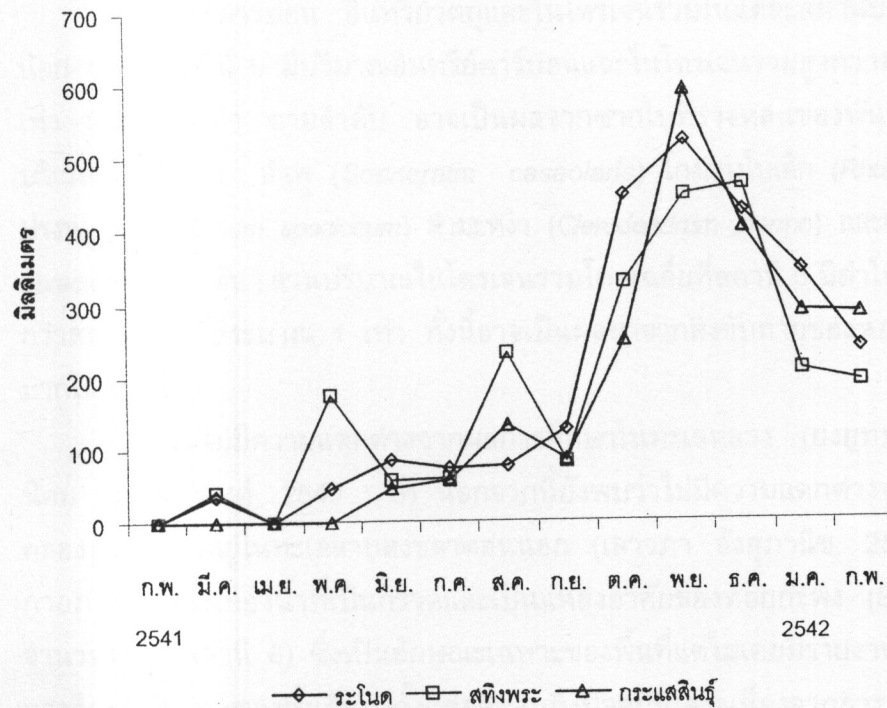
## บทที่ 4

### บทวิจารณ์

#### 1. ปัจจัยสิ่งแวดล้อม

##### 1.1 คุณลักษณะทางกายภาพและเคมีของน้ำ

คุณลักษณะทางกายภาพและเคมีของน้ำโดยทั่วไปมีลักษณะใกล้เคียงกับทะเลสาบสงขลาตอนนอก (Rakkheaw, 1994 : 12-34) และทะเลสาบสงขลาตอนใน (ยงยุทธ บริดาลัมพะบุตร และนิคม ละอองศิริวงศ์ 2540x : 1-35) มีเพียงความเค็มของน้ำเท่านั้นที่มีการแปรผันต่างจากการศึกษาที่ผ่านมาซึ่งพบว่าน้ำในทะเลสาบสงขามีความเค็มต่ำที่สุดหรือเป็นน้ำจืดจนถึงปากทะเลสาบสงขลา ในเดือนพฤษภาคมและหรือธันวาคม ซึ่งเป็นฤดูฝนตกหนักเนื่องจากลมมรสุมตะวันออกเฉียงเหนือ (สิริ ทุกชีวนาศ, "ไฟโรจน์ สิริมนดาภรณ์ และ เพิ่มศักดิ์ เพิงมาก, 2532 : 44-50 ; Rakkheaw, 1994 : 12-34 ; ยงยุทธ บริดาลัมพะบุตร และ นิคม ละอองศิริวงศ์, 2540x : 1-35) แต่จากการตรวจครั้งนี้พบว่าความเค็มของน้ำเดือนธันวาคม 2541 ในทะเลหลวงตอนล่างอยู่ในช่วง 1.6-3.8 พีโอดูบ ขณะที่น้ำในเดือนกุมภาพันธ์ 2542 มีความเค็ม 0 พีโอดูบ ซึ่งต่ำกว่าความเค็มในเดือนกุมภาพันธ์ 2541 (3.0-17.5) อย่างชัดเจน ทั้งนี้เนื่องจากปริมาณน้ำฝนในฤดูฝน ในปี 2541 มีน้อยกว่าปกติและฝนตกไม่ถูกต้องตามฤดูกาล (ภาพประกอบ 20) โดยที่ปริมาณน้ำฝนในเดือนมกราคมและกุมภาพันธ์ 2542 มีมากกว่าในเดือนพฤษภาคม 2 เท่า อย่างไรก็ตาม ไฟโรจน์ พรหมานันท์ และสุชาติ วิเชียรสรรค์ (2510 : 69-95) รายงานว่า ความเค็มของน้ำในทะเลสาบสงขลา แตกต่างกันตามฤดูกาลและสถานที่ ทั้งนี้ขึ้นอยู่กับปริมาณน้ำทะเลที่ไหลเข้ามาในทะเลสาบจากการศึกษา พีโอดูบ ในทะเลสาบสงขลาตอนใน ของ สวัสดิ์ วงศ์สมนึก และสมชาติ สุขวงศ์ (2511 : 52) และการศึกษาในคลองพะวงของ Angsupanich and Kuwabara (1999 : 3) พบว่าไม่มีความแตกต่างกับการศึกษารั้งนี้อย่าง ชัดเจน ยกเว้นในเดือนธันวาคม และกุมภาพันธ์ ซึ่งมีค่าต่ำกว่าเดือนอื่นๆ เล็กน้อย (5.6-6.2) ทั้งนี้อาจเนื่องจากปริมาณน้ำจืดที่ไหลลงมากจาก การศึกษาของ Yokokawa (1984 : 6-7) พบว่าพีโอดูบของน้ำบริเวณทะเลสาบสงขลา มีความสัมพันธ์โดยตรงกับความเค็ม โดยในฤดูร้อนค่าพีโอดูบจะสูง และในฤดูฝนพีโอดูบจะลดลงจนเป็นกรดเล็กน้อย อุณหภูมิมีแนวโน้มลดลงตามระดับความเค็ม ทั้งนี้เนื่องจากปริมาณฝนที่ตกลงมากทำให้ตรงและที่ไหลจากทะเลหลวงตอนบน รวมทั้งน้ำจากผิวดินด้วย



### ภาพประกอน 20 ปริมาณน้ำฝนที่ตกบริเวณท่าเรือกลางตอนบนและตอนล่าง ปี 2541-2542

จากผลของ PCA แม้ว่าแต่ละสถานีมีความคล้ายคลึงกันมากแต่สามารถแบ่งตามคุณภาพน้ำในท่าเรือกลางตอนล่างเชิงสถานีได้เป็น 2 ส่วน ทั้งนี้โดยส่วนหนึ่งอยู่ใกล้ปากทะเลสาบสงขลา อีกส่วนหนึ่งอยู่ไกลออกจากปากทะเลสาบสงขลา จุดลงเมื่อใกล้เข้าไปจากปากกรุง (ใกล้ท่าเรือกลางตอนนนอก) ส่วนในเชิงเวลาสามารถแบ่งให้เห็นคุณภาพน้ำตามฤดูกาลได้อย่างชัดเจน โดยสอดคล้องกับกองกุมิอากาศ (2532) ซึ่งรายงานว่าฤดูร้อนจะตกลงเรียงตัวอยู่ในช่วงเดือนธันวาคม ถึงกุมภาพันธ์ ฤดูร้อนจะตกลงเรียงตัวอยู่ในช่วงสิงหาคม ถึงตุลาคม และฤดูร้อนอยู่ในช่วงเดือนเมษายนถึงมิถุนายน

#### 1.2 คุณลักษณะทางกายภาพและเคมีของตะกอนดิน

ปริมาณโดยเฉลี่ยของอินทรีย์คาร์บอน อินทรีย์วัตถุและไนโตรเจนรวม ในท่าเรือกลางตอนล่างที่ศึกษาในครั้งนี้ มีค่าใกล้เคียงกับทะเลสาบสงขลาตอนล่าง ซึ่งมีแนวโน้มว่ามีปริมาณลดลงเล็กน้อยในช่วงฝนตกหนัก (Chatupote et al., 1994 : 137-153) และในท่าเรือกลาง (สมศักดิ์ มณีพงศ์ และ สุภาพร รักເຈີຍ, 2541 : 1-30) ปริมาณอินทรีย์คาร์บอนมีค่าใกล้เคียงกับผลการศึกษาในทะเลสาบสงขลา ของเพราพารอน แสงสกุล (2528 : 4-5) ซึ่ง รายงานว่า มีค่าอยู่ในช่วง 0.42-3.50 เปอร์เซ็นต์ นอกจากนี้มีจุดที่น้ำสังเกตว่าปริมาณไนโตรเจนรวมมีค่าลดลงอย่างเห็นได้ชัดในช่วงต้นถึงปลายฤดูร้อนจะตกลงเรียงตัวอยู่ในช่วงตุลาคม ธันวาคม และกุมภาพันธ์)

อินทรีย์คาร์บอน อินทรีย์วัตถุและในโครงเจนรวมในแต่ละสถานีมีความแตกต่างกันบ้างเล็กน้อย ยกเว้นสถานี 9 มีปริมาณอินทรีย์คาร์บอนและในโครงเจนรวมสูงกว่าสถานีอื่นๆ ประมาณ 2-4 เท่า และ 1 เท่า ตามลำดับ อาจเป็นผลจากซากใบที่ร่วงหล่นของพันธุ์ไม้ป่าชายเลนที่ขึ้นอยู่ในบริเวณนั้น ได้แก่ สาพุ (*Sonneratia caseolaris*) โงกกาลงใบเล็ก (*Rhizophora apiculata*) กระจุด ปรงหนู (*Acrostichum speciosum*) สำมะห่ง (*Clerodendrum inerme*) และเหงือกปลาหม่อ (*Acanthus ebracteatus*) เป็นต้น ) ส่วนปริมาณในโครงเจนรวมโดยเฉลี่ยที่สถานี 6 มีค่าใกล้เคียงกับสถานี 9 แต่สูงกว่าสถานีอื่นๆ ประมาณ 1 เท่า ทั้งนี้อาจเป็นผลมาจากการสิ่งขับถ่ายของหอย ซึ่งพบว่ามีเป็นจำนวนมากในสถานีนี้

พืชไม่มีความแตกต่างจากการศึกษาในทะเลหลวง (ยงยุทธ บรีดาลัมพะบุตร และนิคม ละองศรีวงศ์, 2540 : 8) นอกจากนี้ยังพบว่าไม่มีความแตกต่างจากสถานีที่อยู่บริเวณปากคลองพะวง ซึ่งอยู่ในทะเลสาบสงขลาตอนออก (เสาวภา อังสุวนิช, 2539 : 10) ลักษณะทางกายภาพของพื้นท้องน้ำที่เป็นกรวดและเป็นแหล่งอาศัยของหอยกระง (Brachidontes arcuatulus) จำนวนมาก (สถานี 6) ซึ่งเป็นลักษณะเฉพาะของพื้นที่แต่ไม่เคยมีรายงานถึงบริเวณนี้เลยทั้งๆ ที่มีการศึกษาลักษณะของพื้นดินมาตั้งแต่อดีตจนถึงปัจจุบัน อาจเนื่องจากการกำหนดสถานีเก็บตัวอย่างไม่ตรงกับพื้นที่ดังกล่าวนี้

จากการวิเคราะห์ PCA ในเชิงสถานี พบร่วมกับโซนที่มี อิทธิพลต่อการแบ่งกลุ่ม จึงทำให้สถานี 7 มีแนวโน้มว่าคล้ายกับสถานี 6 ทั้งนี้อาจเนื่องจากมีเปอร์เซ็นต์ของ Sand ค่อนข้างสูง (24.0-68.5%) เมื่อเทียบกับสถานีอื่นๆ ส่วนในเชิงเวลา คุณภาพของตะกอนดินทางกายภาพมีการเปลี่ยนแปลงน้อยมาก ในขณะที่คุณภาพทางเคมี มีแนวโน้มลดลงในช่วงฤดูฝน ทำให้ปัจจัยทั้งสองนี้มีผลต่อการจัดกลุ่มโครงสร้างของตะกอนดิน

เมื่อพิจารณาถึงปัจจัยสิ่งแวดล้อมทั้งหมด (น้ำและตะกอนดิน) จากภาพ PCA แม้ว่าสถานี 6 จะมีสภาพพื้นเป็นกรวดต่างจากสถานีอื่นอย่างชัดเจนก็ตาม แต่สถานี 7 ก็มีเปอร์เซ็นต์ Sand ที่สูงและปัจจัยทางเคมีอื่นๆ ไม่ได้ต่างกันนอย่างชัดเจนจึงเห็นภาพของสถานีที่อยู่ใกล้กัน สถานี 9 แม้ว่าจะอยู่ในกลุ่มเดียวกับสถานี 1-5 และ 8 แต่ยังเห็นว่ามีการแยกไปจากกลุ่ม ทั้งนี้อาจเนื่องจาก มีความแตกต่างทั้งในด้านกายภาพและเคมี (OC, OM, TN และ % Silt-Clay) ซึ่งสูงกว่า ในขณะที่เชิงเวลา มีการจัดกลุ่มตามฤดูกาลคล้ายกับกลุ่มของน้ำ เนื่องจากว่าปัจจัยของตะกอนดินมีอิทธิพลต่อการรวมกลุ่มเชิงสถานีมากกว่าปัจจัยของน้ำ แต่ปัจจัยของน้ำมีอิทธิพลต่อการรวมรวมกลุ่มเชิงเวลามากกว่าตะกอนดิน

## 2. แอนเนลิด

### 2.1 ความหลากหลาย ความซุกซุมและมวลชีวภาพของแอนเนลิด

สัตว์หนัดนกลุ่มแอนเนลิดที่มีการสำรวจพบในโลก มีเกือบ 9,000 ชนิด คลาสโพลีชีต มีมากกว่า 5,300 ชนิด (Hunter, 1969 : 21) นับเป็นสัตว์หนัดนกลุ่มเด่นของทะเลบริเวณชายฝั่ง และเอสทูร์ในหลายๆ พื้นที่ของโลก ( Rosenberg, 1976 : 417-418 ; 1977 : 111 ; Hawthorne and Dauer, 1983 : 197 ; Ferraro et al. 1991 : 387 ; Edgar et al., 1994 : 209 ; Long and Poiner, 1994 : 295 ) รวมทั้งทะเลสาบสหัสขลาตอนนอกด้วย (Angsupanich and Kuwabara 1995 : 116) สำหรับทะเลสาบท่อนล่าง พบโพลีชีตเป็นจำนวนชนิดที่สูงที่สุดเท่าที่มีการสำรวจพบในลุ่มน้ำทะเลสาบสหัสขลา โดยสวัสดิ์ วงศ์สมนึก และสมชาติ สุขวงศ์ (2513 : 233) สำรวจบริเวณทะเลสาบสหัสขลาตอนล่าง พบโพลีชีต 10 วงศ์ 12 ชนิด Angsupanich and Kuwabara (1995 : 116-118) สำรวจบริเวณทะเลสาบสหัสขลาตอนล่าง พบโพลีชีต 20 วงศ์ 44 ชนิด ยงยุทธ ปรีดาลัมพะบุตร และนิคม ละอองศิริวงศ์ (2540ก : 17) ศึกษาบริเวณทะเลสาบทอนล่าง (สถานี 4-8) พบ 18 วงศ์ (ไม่ได้รายงานถึงระดับชนิด) Angsupanich and Kuwabara (1999 : 1-7) ศึกษาบริเวณคลองซึ่งได้รับน้ำทิ้งจากโรงงานอุตสาหกรรมแล้วให้ลงทะเลสาบสหัสขลาตอนนอก พบว่าบริเวณคลองพะวงมีโพลีชีต 16 วงศ์ 28 ชนิดและบริเวณคลองอู่ตะเภา 14 วงศ์ 22 ชนิด นอกจากนี้พบว่ามีจำนวนชนิดสูงกว่าอีกหลายพื้นที่ของโลก ได้แก่ บริเวณอ่าว Old Tampa ซึ่งอยู่ใกล้แหล่งน้ำทึ้งใน สหรัฐอเมริกา พบ 29 ชนิด (Dauer and Conner, 1980 : 336-338) บริเวณสาขاثอนใต้ของแม่น้ำ Elizabeth ซึ่งเป็นแม่น้ำที่ไหลลงสู่อ่าวสหัสขลา บริเวณชายฝั่งตะวันออกของอเมริกา พบ 26 ชนิด (Hawthorne and Dauer, 1983 : 194-197) บริเวณอ่าวสหัสขลาของแม่น้ำ Queule ประเทศชิลี พบเพียง 7 ชนิดเท่านั้น (Quijón and Jaramillo, 1993 : 658) ทั้งนี้อาจเนื่องจากเหตุผลสองประการ คือ เป็นเพราะว่าจำนวนช้าของ การเก็บตัวอย่างครั้งนี้สูงมาก เมื่อเปรียบเทียบกับการเก็บตัวอย่างสัตว์หนัดดังเอกสารที่อ้างอิง (Dauer and Conner, 1980 : 336-338 ; Hawthorne and Dauer, 1983 : 194 ; Quijón and Jaramillo, 1993 : 656 ; Angsupanich and Kuwabara , 1999 : 2 ; ยงยุทธ ปรีดาลัมพะบุตร และนิคม ละอองศิริวงศ์ , 2540ก : 4) หรืออาจเนื่องจากในทะเลสาบทอนล่างมีความหลากหลายมากกว่า Botton (1979 : 169-180) กล่าวว่าการเก็บตัวอย่างควรใช้อุปกรณ์ขนาดเล็กเก็บตัวอย่างหลายช้า จะเพิ่มความเป็นไปได้ในการพบตัวอย่างจากแต่ละพื้นที่มากกว่าการใช้อุปกรณ์ขนาดใหญ่เก็บตัวอย่างเพียงไม่กี่ช้า Ajao and Fagade (1990 : 230) ศึกษาสัตว์หนัดนิดโดยเก็บตัวอย่างจำนวน 5 ช้า ตามที่เคยใช้มาก่อนแต่พบว่าไม่เหมาะสม จึงต้องปรับเปลี่ยนจำนวนช้าในระหว่างการเก็บตัวอย่าง โดยในปีแรกของการศึกษากำหนดสถานีละ 5 ช้า ต้องเพิ่มจำนวนช้าเป็น 10 ช้า ในบางสถานี ของการศึกษาปีที่ 2 เมื่อเก็บตัวอย่างได้น้อย จากการศึกษาของ Braun-Blanquet อ้างถึงใน จิราภรณ์ (2537) ซึ่งรายงานว่า จำนวนช้าที่เพิ่มขึ้นทำให้จำนวนสปีชีส์เพิ่มขึ้นด้วย เมื่อจำนวนสปีชีส์เริ่มคงที่ก็จะได้จำนวนช้าที่เหมาะสม แต่เป็นการพิจารณาเฉพาะสปีชีส์ไม่คำนึงถึงจำนวนตัว

ในขณะที่ Elliott (1977 : 129) พิจารณาเฉพาะจำนวนตัวในการหาจำนวนข้าวที่เหมาะสม และใช้เฉพาะสถานีนั้น ๆ แต่เป็นไปไม่ได้ที่จะคำนวณจำนวนข้าวในขณะที่เก็บตัวอย่าง การเก็บตัวอย่างที่น้อยเกินไปทำให้งานวิจัยขาดความน่าเชื่อถือ

อย่างไรก็ตาม เพลี้ยดที่พบบริเวณทะเลหลวงตอนล่างนี้ส่วนใหญ่เป็นสกุลเดียวกับที่มีการสำรวจพบบริเวณลุ่มน้ำทะเลสาบสงขลาที่ผ่านมา เช่น วงศ์ Capitellidae ได้แก่ *Heteromastus* sp., *Capitella capitata* (Angsupanich and Kuwabara ,1995 :118 ; 1999 : 4) วงศ์ Goniadidae (ยงยุทธ ปรีดาลัมพะบุตร และนิคม ละอองศิริวงศ์, 2540ก : 17) วงศ์ Nephtyidae ได้แก่ *Nephtys polybranchia* วงศ์ Nereidae ได้แก่ *Namalycastis longicirris*, *Leonnates* sp., *Ceratonereis* sp., *Neanthes* sp., *Dendronereis* sp. วงศ์ Pilargidae ได้แก่ *Sigambra* sp. วงศ์ Spionidae ได้แก่ *Prionospio* sp., *Prionospio cirrifera*, *Polydora* sp. (Angsupanich and Kuwabara ,1995 : 117-118 ; 1999 : 4-8) แต่ยังมีวงศ์ที่ไม่เคยมีการสำรวจพบมาก่อนจำนวน 6 วงศ์ ได้แก่ Dorvilleidae 1 สกุล Pectinariidae 1 สกุล Poecilochaetidae 1 สกุล Polynoidae 1 สกุล Serpulidae 1 สกุล และ Sigalionidae 1 สกุล สำหรับวงศ์ที่สำรวจพบแล้วอาจมีบางสกุลและหรือชนิดที่ต่างกัน เช่น *Paraleonnates* sp.1, *Talehsapia annandalei*, *Pseudopolydora* sp., *Ficopomatus* sp.2, Sigalionidae, *Minuspio* sp.1 ; *M.* sp.2, *Gyptis* sp., *Sigambra* sp. และ *Glycinde* sp. ซึ่งเป็นชนิดเด่น ในขณะที่การศึกษาบริเวณเอสทรีและชายฝั่งอื่นๆ ในเขตขอบอุณหภูมิว่าชนิดเด่นที่พบทั่วๆ ไป ได้แก่ *Capitella capitata*, *Prionospio* sp. (Quijo'n and Jaramillo,1993 : 658) ; *Heteromastus* sp., *Eteone* sp., *Polydora* sp., *Cirratulus* sp. (Dauer and Conner, 1980 : 338) *Nephtys* sp., *Mediomastus* sp. (Ferraro et al., 1991 : 387-388) *Ophiodromus* sp. (Rosenberg, 1977 : 111) *Sigambra* sp. (Kikuchi, 1991 : 149) *Cossura* sp., *Phyllodoce* sp. (Reid et al., 1989 : 5) เป็นต้น ซึ่งเป็นกลุ่มเดียวกับที่พบในทะเลหลวงตอนล่างของการศึกษาครั้งนี้ด้วย

จากการศึกษาครั้งนี้ แอนเนลิดมีความชุกชุมสูงที่สุดเดือนมิถุนายน (772 ตัว/ตารางเมตร) ซึ่งเป็นช่วงปลายของฤดูร้อนและเข้าสู่ฤดูฝน จากนั้นความชุกชุมมีแนวโน้มลดลงเรื่อยๆ และต่ำสุดเดือนกุมภาพันธ์ คล้ายกับการศึกษาบริเวณทะเลหลวงของ ยงยุทธ ปรีดาลัมพะบุตร และนิคม ละอองศิริวงศ์ (2540ก : 19) ซึ่งรายงานว่า สัตว์น้ำดินมีความชุกชุมต่ำในเดือน มกราคม กุมภาพันธ์ พฤษภาคม และธันวาคม อีกทั้งคล้ายกับการศึกษาบริเวณทะเลสาบสงขลาตอนนอกของ Angsupanich and Kuwabara (1995 : 120) พบร่วมกับความชุกชุมและองค์ประกอบของชีวิตสูงในปลายฤดูร้อนตะวันตกเฉียงใต้ (ตุลาคม) และลดลงอย่างเห็นได้ชัดในช่วงกลางฤดูฝน (ธันวาคม) ภายใต้อิทธิพลของมรสุมตะวันออกเฉียงเหนือ นอกจากนี้พบว่ามีส่วนคล้ายกับเพลี้ยดบริเวณเอสทรี Queule River ที่พบว่าเพลี้ยดส่วนใหญ่มีความชุกชุมสูงสุดในระหว่างฤดูร้อนและฤดูใบไม้ร่วง (Quijo'n and Jaramillo,1993 : 660) ทั้งนี้สัตว์น้ำดินค่อยๆ ลดลงตามการแปรผันลดลงของอุณหภูมิและความเค็ม (Rosenberg, 1976 : 422)

ความชุกชุมและมวลชีวภาพมีแนวโน้มที่จะแปรผันตามกัน กล่าวคือเมื่อความชุกชุมสูงขึ้น ค่ามวลชีวภาพก็สูงด้วย ยกเว้นที่สถานี 5 และ 6 ในเดือนตุลาคม มีความชุกชุมสูงมาก (1,382 และ

1,396 ตัว/ตารางเมตร ตามลำดับ ) แต่เมื่อวัลชีวภาพต่ำมาก (1.09 และ 1.42 กรัมน้ำหนักเปียก/ตารางเมตร) เนื่องจากแอนเนลิดที่เป็นชนิดเด่น มีขนาดเล็ก ได้แก่ *Paraleonnotates* sp.1, *Pseudopolydora* sp., *Minuspio* sp.1, และ *M.* sp.2. เมื่อเปรียบเทียบมวลชีวภาพของแอนเนลิด (0.1-39 กรัมน้ำหนักเปียก/ตารางเมตร) บริเวณท่าเรือ Martha ในอเมริกา (Maurer and Wigley, 1984 : 6) พบว่าในทะเลหลวงตอนล่างมีมวลชีวภาพโดยเฉลี่ย (0.04-15.36 กรัมน้ำหนักเปียก/ตารางเมตร) ต่ำกว่า อาจเนื่องจากสัตว์มีขนาดตัวเล็กกว่า สังเกตได้จาก ขนาดของ Terebellidae ซึ่งจัดว่าเป็นแอนเนลิดที่มีขนาดใหญ่ ที่พบในทะเลหลวงมีน้ำหนักเพียง 15.36 กรัมน้ำหนักเปียก/ตารางเมตร ในขณะที่บริเวณท่าเรือ Martha สถานีที่พบแอนเนลิด สูงที่สุดมีความชุกชุม 1,346 ตัว/ตารางเมตรแต่มีมวลชีวภาพสูงมากถึง 118.8 กรัมน้ำหนักเปียก/ตารางเมตร (Maurer and Wigley, 1984 : 17-19)

สำหรับสถานีที่มีความชุกชุมและมวลชีวภาพสูงสุดนั้น ได้แก่ สถานี 6 ซึ่งแตกต่างกับสถานี 9 ซึ่งมีความชุกชุมรองลงมาอยู่มาก แต่สถานี 9 มีความหลากหลายของชนิดสูงกว่าถึง 5 ชนิด ทั้งนี้ชนิดที่แตกต่างกันนั้นอาจเนื่องจากสถานี 6 มีลักษณะพื้นของทะเลเป็นเอกลักษณ์มากกว่า กล่าวคือ มีสภาพพื้นเป็นกรวดและมีตะกอนดินแทรกอยู่ระหว่างเม็ดกรวด ยิ่งกว่านั้นการที่ผิวของ เม็ดกรวดเป็นที่เกาะของหอยกะพง ทำให้เกิดการสารภันของเส้นใยเป็นร่องแทะเป็นท่อศัยของแอน เนลิดบางชนิดที่พบเป็นชนิดเด่น ได้แก่ Terebellidae ซึ่งเป็นวงศ์ที่กินชาภูมิหรือเป็นอาหาร (Fauchald, 1977 : 128) และรองลงมาพบ *Namalyctis longicirris* ซึ่งอยู่ในวงศ์ Nereidae ซึ่ง เป็นวงศ์ที่กินเนื้อเป็นอาหาร อย่างไรก็ตาม Terebellidae มีแนวโน้มลดลงอย่างเห็นได้ชัด อาจเนื่อง จากการเก็บเกี่ยวหอยของชาวประมงพื้นบ้านไปใช้ประโยชน์ในทางเศรษฐกิจ ทำให้กรุดบางส่วน ถูกเก็บไปด้วย อย่างไรก็ตามความหลากหลายของแอนเนลิด ชนิดอื่นๆ ที่อาศัยอยู่ในดินเพิ่มขึ้น เรื่อยๆ ในขณะที่สถานี 9 มีลักษณะที่ค่อนข้างจำเพาะต่างจากสถานีอื่นๆ อีกสถานีหนึ่ง มีชาภูมิพืช ป้าชัยเลนเป็นแหล่งสนับสนุนอาหารแก่สัตว์หน้าดิน (Angsupanich and Aksornkoae, 1994 : 41-47) มี *Ficopomatus* sp.2 เป็นชนิดเด่น ซึ่งเป็นสกุลเดียวกับสกุลที่พบใน Marina da Gama Zandvlei แอฟริกาใต้ (Davies, Stuart and de Villiers, 1989 : 614) นอกจากนี้พบ *Paraleonnotates* sp.1 ในจำนวนที่มากของลงมา

## 2.2 การแพร่กระจายของแอนเนลิดและความสัมพันธ์กับปัจจัยสิ่งแวดล้อม

การแพร่กระจายของแอนเนลิดในทะเลหลวงตอนล่างทั้งเชิงสถานีและเวลาขึ้นอยู่กับคุณลักษณะทางกายภาพและเคมีของตะกอนดินมากกว่า อาจเนื่องจากสัตว์หน้าดินต้องสัมผัสโดย ตรงกับตะกอนดินมากกว่า โดยเฉพาะ เปอร์เซ็นต์ Silt อินทรีย์วัตถุ อินทรีย์คาร์บอน ในโครงสร้าง ในตะกอนดิน และพื้อเชิงในตะกอนดิน อย่างไรก็ตามจากการศึกษาบริเวณทะเลหลวงของ สวัสดิ์ วงศ์สมนึก และ สมชาติ สุขวงศ์ (2513 : 232-239) พบว่าสัตว์หน้าดินทุกกลุ่มมีการเปลี่ยนแปลง จำนวนชนิดและปริมาณไปตามฤดูกาล แอนเนลิดในทะเลหลวงตอนล่างบางชนิดชนิดมีการแพร่

กระ้ายในเกือบทุกสถานีและเกือบทุกเดือน อาจเนื่องจากกลุ่มโพลีชีตเป็นสัตว์หน้าดินที่ปรับตัวเข้ากับการเปลี่ยนแปลงของปัจจัยสิ่งแวดล้อมได้ค่อนข้างกว้าง และมักมีขนาดเล็ก (Fauchald, 1977 : 22) เช่น วงศ์ Cirratulidae (Dauer and Conner, 1980 : 339) Nephtyidae และ Spionidae (Oyarzum et al., 1987 : 429) เป็นต้น แต่มีแอนเนลิดอีกหลายชนิดที่พบซุกซุมเฉพาะถิ่น ได้แก่ *Dendronereis* sp. ถูกพบได้เสมอในบริเวณที่ได้รับมลพิษจากโรงงานอุตสาหกรรม (Ferraro et al., 1991 : 388) *Heteromastus* sp. พบริเวณที่คุณภาพน้ำมีอิオンทรีฟาร์ไม่มาก (Aschan and Skulander, 1990 : 177) *Sigambra* sp. พบริเวณชายฝั่งที่ได้รับอิออนทรีฟาร์จากชุมชน (Marques et al., 1992 : 411 ; Llano', 1992 : 502) *Prionospio cintifera* มักเป็นชนิดเด่นบริเวณที่มีมลพิษจากอิออนทรีฟาร์ (Kikuchi, 1991 : 149) *Nephtys* sp., *Polydora* sp. และ *Ophiodromus* sp. เป็นชนิดเด่นบริเวณแอสทรูรีมีอักษรเจนต้า (Rosenberg, 1977 : 111)

อย่างไรก็ตามการแพร่กระจายของแอนเนลิดในทะเลหลวงตอนล่าง มีรูปแบบคล้ายกับที่พบในแอสทรูรีนๆ ที่พบว่าในฤดูฝนจำนวนสัตว์หน้าดินลดลง คล้ายกับในทะเลสาบสงขลาตอนนอก (Angsupanich and Kuwabara, 1995 : 122) แต่ในช่วงนี้พบตัวอ่อนของ โพลีชีตหลายวงศ์ ต่อเนื่องไปจนกระทั่งถึงเดือนกุมภาพันธ์ โดยเฉพาะ Nereidae พบริเวณซุกซุมสูงกว่าชนิดอื่นๆ การแพร่กระจายของแอนเนลิดนอกจากจะขึ้นอยู่กับปัจจัยสิ่งแวดล้อมแล้วพฤติกรรมการอยู่อาศัยซึ่งอยู่แบบเจ้าบ้าน (host) หรือแขก (guest) และการกินอาหารของโพลีชีตยังแตกต่างกันไปแต่ละชนิด (Ruppert and Barnes, 1994 : 527)

แม้ว่าทะเลหลวงตอนล่างจะมีการเปลี่ยนแปลงสภาพแวดล้อมตามธรรมชาติ และมีผลผลกระทบต่อแอนเนลิดบางชนิด แต่ผลของการผลกระทบนี้อาจเป็นเหตุหนึ่งที่ทำให้เกิดการเปลี่ยนแปลงของแอนเนลิดชนิดต่าง ๆ ตามบทบาทการกินอาหาร

แอนเนลิดนอกจากจะสัมพันธ์กับปัจจัยสิ่งแวดล้อมและสัมพันธ์กับกลุ่มเดียวกันแล้ว ยังมีความสัมพันธ์อย่างใกล้ชิดกับสัตว์กลุ่มอื่นๆ ด้วย โดยแอนเนลิดอาจถูกสัตว์น้ำจับกินในปริมาณที่มากก็ได้

จากการประเมินผลการจับสัตว์น้ำในทะเลสาบสงขลา ของ อังสุนีย์ ชุณหปราภรณ์, จุฬาภรณ์ รัตนไชย และอาภรณ์ มีชุขันธ์ (2539 : 27) พบริเวณทะเลหลวง มีกุ้งหัวมันซุกซุมในช่วงเดือนกันยายน ถึงพฤษจิกายน ซึ่งตรงกับช่วงที่แอนเนลิดลดลง โดยเฉพาะกลุ่มที่กินชาติอินทรีฟาร์ ส่วนกุ้งกินเนื้อมีแนวโน้มเพิ่มขึ้น นอกจากนั้น Sirimontaporn, Nitithamyong and Angsupanich (1995 : 52) ศึกษาปลาในทะเลสาบสงขลา พบริเวณน้ำจืด Gobiidae และ Sillagoinidae มีความสัมพันธ์เชิงบวกกับสัตว์หน้าดินสูง

จากการวิเคราะห์ค่า species diversity index,  $H'$ ; evenness,  $J$  และ species richness พบริเวณแต่ละเดือนและแต่ละสถานี มีค่าไม่แตกต่างกันมาก ส่วน species richness ของสัตว์หน้าดิน โดยทั่วๆ ไป มีค่าต่ำในแหล่งน้ำจืดและเพิ่มขึ้นในแหล่งน้ำแบบ polyhaline (Dauer, 1993 ยังถึงใน ยังยุทธ บรีดาลัมพะบุตร และ นิคม ละอองศิริวงศ์, 2540 ก : 30) อย่างไรก็ตาม Angsupanich

and Kuwabara (1999 : 12) กล่าวว่าการใช้ค่า  $H'$  เป็นดัชนีชี้บอกรความลพิษนั้น เป็นวิธีที่มีข้อจำกัด ซึ่งพบว่าค่าที่ได้ไม่สอดคล้องกับความเป็นจริงเสมอไป เนื่องจากบางสถานีหรือบางเดือนมีค่าดัชนีต่ำกว่าห้ารูํ ที่จำนวนสัตว์แต่ละชนิดมีค่าแตกต่างกันมาก เช่นที่สถานี 3 พบแอนเนลิต 46 ชนิด แต่มีค่า  $H'$  (2.59) น้อยกว่า  $H'$  ที่สถานี 1 (2.67) ซึ่งมีสัตว์หน้าดินเพียง 40 ชนิด ห้ารูํเนื่องจากสถานี 1 มีแอนเนลิตที่เป็นชนิดเด่นจำนวนน้อย ไม่มีความแตกต่างจากชนิดอื่นๆ ค่า  $J$  จึงสูง (0.73) ซึ่งคล้ายกับการศึกษาสัตว์หน้าดินขนาดใหญ่ในคลองพระวังคลองอู่ตะเภา (Angsupanich and Kuwabara, 1999 : 7) หากพิจารณาในเชิงเวลาพบว่ามีลักษณะเดียวกัน ดังนั้นที่สถานี 1 และ 3 จึงไม่สามารถบอกได้ว่าสถานีใดมีความลพิษ รุนแรงกว่า (Hawthorne and Dauer, 1983 : 202) ผลการวิเคราะห์ลักษณะนี้มักเกิดขึ้นบ่อยๆ อาจกล่าวได้ว่าเป็นจุดที่ต้องระมัดระวังในการใช้ ซึ่งไม่ควรใช้ค่านี้เพียงลำพังในการประเมิน ดังนั้นการพิจารณาการเปลี่ยนแปลงองค์ประกอบของชนิด และปริมาณตามเวลา เป็นเครื่องชี้บอกที่ดีกว่า (Smith et al., 1979 อ้างถึงใน Hawthorne and Dauer, 1983 : 202 ; Angsupanich and Kuwabara, 1999 : 12) การศึกษาครั้งนี้จึงขอ匕ายໂຄຣສ້າງຂອງປະຊາມແອນແລີດด້ວຍ cluster และ MDS บ่งชี้ถึงสภาพความลพิษด້ວຍ ABC plots

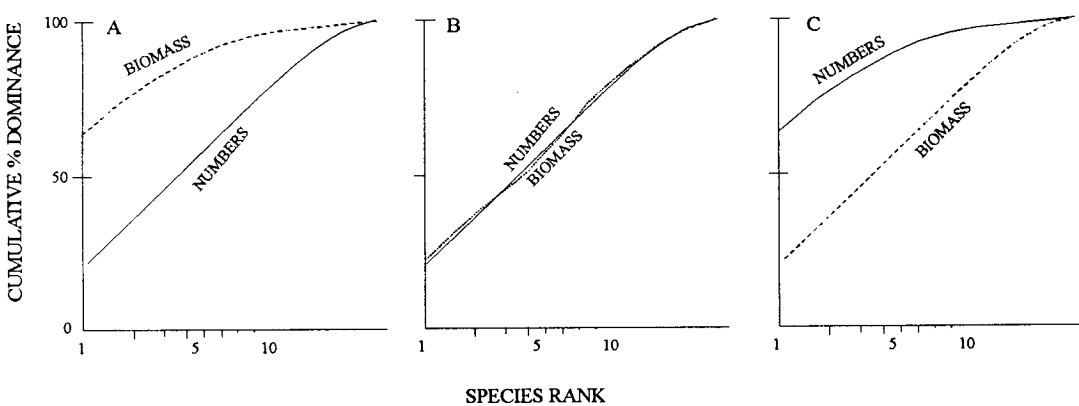
### 2.3 การจัดกลุ่มໂຄຣສ້າງຂອງແອນແລີດด້ວຍ CLUSTER และ MDS

จากการศึกษาครั้งนี้พบว่าແອນແລີດแต่ละชนิดที่อาศัยอยู่ในแต่ละพื้นที่ นอกจากจะมีปัจจัยทางกายภาพที่มีผลต่อการอยู่ร่วมกันของชนิดแล้ว อาจจะมีปัจจัยทางชีวภาพเข้ามามีผลด้วย หรืออาจจะเป็น เพราะต่างมีสภาวะที่เหมาะสมแก่การเจริญเติบโตเหมือนๆ กัน ความหลากหลายของชนิดที่ต่างกันอาจเป็นผลของการอยู่ร่วมกันหรือคล้ายกันของແອນແລີດซึ่งมีความแตกต่างกันในแต่ละสถานี และแต่ละเดือน โดยอาศัยการจัดกลุ่มด້ວຍ cluster และ MDS ในเชิงสถานีพบว่าการจัดกลุ่มของປະຊາມสัตว์หน้าดินมีแนวโน้มเป็นไปตามลักษณะของพื้นที่ที่อยู่ใกล้ๆ กัน โดยมีความคล้ายคลึงกันสูงกว่าหรืออาจขึ้นอยู่กับอิทธิพลขององค์ประกอบทางเคมีของตะกอนดินที่มีความคล้ายคลึงกันมากตัวอย่าง เช่น สถานี 6 และ 9 ซึ่งมีความชุกชุมและความหลากหลายของชนิดสูงกว่าสถานีอื่นๆ อย่างชัดเจน แม้ว่าสภาพพื้นที่ต่างกันก็ตาม แต่มีธาตุอาหารในตะกอนดินในปริมาณที่ไม่แตกต่างกันมากนัก ห้ารูํอาจกล่าวได้ว่าໂຄຣສ້າງຂອງແອນແລີດ ในแต่ละสถานีมีความคล้ายคลึงกันปานกลาง

เมื่อพิจารณา ในเชิงเวลา มีแนวโน้มของการจัดกลุ่มเป็นไปตามฤดูกาล เดือนเมษายนมีชนิดที่พบเหมือนกับที่พบในเดือนอื่นๆ ค่อนข้างน้อย สำหรับเดือนธันวาคมและกุมภาพันธ์ เป็นช่วงที่มีความชุกชุมและความหลากหลายของชนิดต่ำ ห้ารูํอาจเนื่องมาจากอิทธิพลของปัจจัย สิ่งแวดล้อม เช่น ความเค็ม อุณหภูมิ และ % Clay ของตะกอนดินเป็นต้น (Rosenberg, 1976 : 422) ภาพที่ได้จากการจัดกลุ่มสามารถชี้ให้เห็นถึงໂຄຣສ້າງຂອງແອນແລີດได้อย่างชัดเจน

## 2.4 การวิเคราะห์ Abundance/Biomass Comparison (ABC Plots)

มีการใช้ ABC อย่างแพร่หลาย เพื่อการรายงานระดับของภาวะมลพิษในแต่ละแหล่ง (เช่น Warwick, 1986 : 557-562 ; Warwick and Clarke, 1991 : 229 ; Lardicci and Rossi, 1998 : 372 ) Warwick (1986 : 558) รายงานว่า หากเส้นกราฟมวลชีวภาพสูงกว่าความชุกชุม แสดงให้ทราบว่าอยู่ในสภาพที่ไม่เกิดมลพิษ หากเส้นกราฟทั้ง 2 อยู่ใกล้กันและมีการตัดกันบางจุด แสดงให้เห็นว่าเกิดมลพิษขึ้นในระดับปานกลาง หากเส้นกราฟความชุกชุมอยู่เหนือมวลชีวภาพ แสดงให้เห็นว่าเกิดมลพิษขึ้นในบริเวณนั้น (ภาพประกอบ 21) จากผลการศึกษาในทะเลหลวงตอนล่าง พบว่า สถานี 9 เป็นบริเวณที่แสดงให้เห็นว่ามีแนวโน้มที่จะมีมลพิษรุนแรงมากกว่าสถานีอื่น ๆ เนื่องจากโพลีซีตันนิดเด่นที่พบเป็นจำนวนมากมีขนาดเล็กและมีมวลชีวภาพน้อย (*Minuspio* sp2, *Spionidae* larvae, *Polydorella* sp., *Nephys polybranchia* และ *Ficopomatus* sp.2) ส่วนใหญ่เป็นกลุ่มกินชาภิโภคทรีฟ ส่วนสถานี 6 พบร่วมแนวโน้มเสี่ยงต่อการเกิดมลพิษ เนื่องจากชนิดเด่นที่พบเป็นจำนวนมาก (*Namalycastis longicirris*, *Terebellidae*, *Neanthes* sp.1 และ *Pseudopolydora* sp.) มีขนาดตัวและมวลชีวภาพสูงขึ้นเล็กน้อย ทั้งนี้อาจเนื่องจาก หอยกะพงที่มีหนาแน่นสูงถ่ายของเสียออกมากทับกันไว้และมีบางส่วนที่ตายลง เกิดการหมักหมมเอาไว้ในกลุ่มที่หอยอาศัยอยู่เอง และตะกอนดินที่แทรกอยู่ระหว่างเม็ดกรวดซึ่งอาจจะเน่า爛ไม่สามารถเก็บมาตรวัดได้ อย่างไรก็ตามเห็นได้ว่ามีปริมาณในໂຕเรจนรวมในตะกอนดินค่อนข้างสูง ซึ่งอาจเป็นอาหารของโพลีซีต กลุ่มที่กินชาภิโภคทรีฟ เป็นอาหาร ทำให้กลุ่มกินเนื้อเข้ามาร่วมมีบทบาทด้วยในการกินกลุ่มที่กินชาภิโภคทรีฟอีกด้วยนึง เป็นไปตามโซ่ออาหารของธรรมชาติซึ่งวิธีเปรียบเทียบ ABC นี้มีการใช้กันในปัจจุบัน



ภาพประกอบ 21 ABC plots (Warwick, 1986 : 558)

## บทที่ 5

### บทสรุป

#### 1. คุณลักษณะทางกายภาพและเคมีของน้ำ

ทะเลหลวงตอนล่างเป็นแหล่งน้ำดื่นที่มีการแพร่พันของคุณลักษณะของน้ำตามพื้นที่ และ ถูกากล โดยได้รับอิทธิพลของน้ำจืดจากทะเลหลวงตอนบนและได้รับอิทธิพลของน้ำเค็มจากทะเล สาบสูงกลางตอนนอก มีความลึกอยู่ในช่วง 0.3-2.7 เมตร พื้เนื้ออยู่ในช่วง 5.6-8.6 บริมาณออกซิเจน ที่ละลายน้ำ อุ่นในช่วง 5.6-8.4 มิลลิกรัม/ลิตร ปริมาณตะกอนแขวนลอยในน้ำ อุ่นในช่วง 15.5- 144.5 มิลลิกรัม/ลิตร ความเค็ม อุ่นในช่วง 0.0-30.2 พีエสภ และอุณหภูมิอุ่นในช่วง 26.8-33.8 องศา เชลเซียส จากการจัดกลุ่มเชิงสถานี แสดงให้เห็นได้ 2 กลุ่มตามระเบียงที่ได้รับอิทธิพลของน้ำจืด และเค็ม ส่วนในเชิงเวลาแบ่งได้ 2 กลุ่มโดยมีแนวโน้มที่จะเป็นไปตามถูกากล

#### 2. คุณลักษณะทางกายภาพและเคมีของตะกอนดิน

สภาพโดยทั่วไปพบว่ามี Clay, Silt และ Sand อุ่นในช่วง 16.7-68.9%, 13.4-65.3% และ 0.3-68.5% ตามลำดับ ยกเว้นสถานี 6 มีลักษณะเป็นกรวดและมี Sand สูงอยู่ในช่วง 64.6-96.8% พื้เนื้ออยู่ในช่วง 5.1-7.5 อินทรีย์คาร์บอนอยู่ในช่วง 0.3-3.7% อินทรีย์วัตถุอยู่ในช่วง 0.7-6.3% ในต่อเจนรวมทั้งหมดอยู่ในช่วง 0.009-0.1% จากการจัดกลุ่มเชิงสถานี แบ่งได้ 3 กลุ่มตามสภาพ กายภาพของแต่ละพื้นที่ ส่วนในเชิงเวลาแบ่งได้ 3 กลุ่มมีแนวโน้มที่จะเป็นไปตามถูกากล

#### 3. การจัดกลุ่มคุณลักษณะของปัจจัยสิ่งแวดล้อม (น้ำและ ตะกอนดิน)

พื้นที่ส่วนใหญ่มีความคล้ายคลึงกันสูง ยกเว้นบางสถานีเท่านั้น อย่างไรก็ตามพบว่าในเชิง สถานีแบ่งได้ 2 กลุ่มใหญ่ โดยกลุ่มที่ 1 ประกอบด้วย [สถานี 1-2-3-4-5-8-9] กลุ่มที่ 2 ประกอบด้วย [สถานี 6-7] พบร้าปัจจัยของตะกอนดินมีอิทธิพลต่อการจัดกลุ่มของแต่ละสถานีสูงกว่าปัจจัยของน้ำ เนื่องจากการเปลี่ยนแปลงลักษณะทางกายภาพของตะกอนดินมีน้อยมาก ส่วนในเชิงเวลา แบ่งได้ 2 กลุ่มใหญ่เช่นกัน กลุ่มที่ 1 ประกอบด้วย [เมษายน-มิถุนายน-สิงหาคม-ตุลาคม] กลุ่มที่ 2 ประกอบด้วย [ธันวาคม-กุมภาพันธ์] พบร้าปัจจัยของน้ำมีอิทธิพลต่อการจัดกลุ่มสูงกว่า อาจเนื่อง จากน้ำมีการเปลี่ยนแปลงอยู่เกือบตลอดเวลา มีแนวโน้มที่จะเป็นไปตามถูกากล

#### 4. ความชุกชุม มวลชีวภาพ และความหลากหลายของแอนเนลิด

ความชุกชุม มวลชีวภาพ และความหลากหลายของแอนเนลิดที่พบในทะเลลางต่อนล่าง มี 2 คลาส "ได้แก่" โพลีชีต และ "ไฮดูริดเนีย" สำหรับโพลีชีต มี 20 วงศ์ 44 สกุล 57 ชนิด และพบตัวอ่อนของโพลีชีต 10 วงศ์ อย่างไรก็ตามพบว่าแอนเนลิดทั้งหมดมีความชุกชุมอยู่ในช่วง 22-2,309 ตัว/ตารางเมตร มวลชีวภาพอยู่ในช่วง 0.1-5.4 กรัมน้ำหนักเปียก/ตารางเมตร หากพิจารณาในเชิงสถานี พบร่วมกับความชุกชุมสูงสุดที่สถานี 6 (445-1462) ต่ำสุดที่สถานี 1 (53-442) ความหลากหลายของชีวภาพแอนเนลิดสูงสุดที่สถานี 9 (49 ชนิด) ต่ำสุดที่สถานี 4 และ 5 (30 ชนิด) ในเชิงเวลาของความชุกชุมสูงสุดเดือนมิถุนายน (264-2,309) ต่ำสุดเดือน กุมภาพันธ์ (22-445) ความหลากหลายสูงสุดเดือนสิงหาคม (52 ชนิด) ต่ำสุดเดือนกุมภาพันธ์ (27 ชนิด)

#### 5. โครงสร้างของประชาชุมแอนเนลิด

จัดโครงสร้างของแอนเนลิดเชิงสถานี ด้วย cluster และ MDS หากพิจารณาที่ระดับความคล้ายคลึง 65% สามารถแบ่งกลุ่มได้ 3 กลุ่ม "ได้แก่" [สถานี 1,2,3,7 และ 8] [สถานี 4 และ 5] และ [สถานี 6 และ 9] ส่วนในเชิงเวลา แบ่งกลุ่มได้ 4 กลุ่ม "ได้แก่" [เมษายน] [มิถุนายน สิงหาคม และ ตุลาคม] [ธันวาคม] และ [กุมภาพันธ์]

#### 6. การแพร่กระจายของแอนเนลิดในทะเลลางต่อนล่าง

แอนเนลิดในทะเลลางต่อนล่างมีการแพร่กระจายทั่วพื้นที่ มีหลายชนิดที่พบทุกเดือนทุกสถานี แต่อีกหลายชนิดพบเฉพาะพื้นที่เฉพาะเวลา กลุ่มที่พบทุกเดือน "ได้แก่" *Namalycastis indica*, *Minuspio sp1.*, *Nephrys sp.* และ *Sigambra phuketensis* เป็นต้น *Terebellidae* พบรุกเดือนแต่ไม่พบทุกสถานี ยกเว้นสถานี 6 พบรุกเดือน กลุ่มที่พบในระดับความถี่รองลงมา "ได้แก่" *Ceratonereis burmensis*., *Pseudopolydora kempfi*, *Prionospio cimifera* และ *Mediomastus sp.* เป็นต้น เห็นได้ว่ามีการแพร่กระจายสูงในช่วงระหว่างเดือนสิงหาคมและตุลาคมแล้วค่อยๆ ลดลงในขณะที่ตัวอ่อนของ แอนเนลิดมีความชุกชุมเพิ่มขึ้น

#### 7. สหสัมพันธ์ ระหว่างแอนเนลิดกับปัจจัยสิ่งแวดล้อม

จากการวิเคราะห์สหสัมพันธ์ในเชิงสถานีพบว่ามีสหสัมพันธ์สูงสุดกับปัจจัยสิ่งแวดล้อม (0.738) 4 ปัจจัย (% Silt, TN, DO และ อุณหภูมิ) หากพิจารณาเชิงเวลา พบร่วมกับสหสัมพันธ์ สูงสุด (0.69) กับ 5 ปัจจัย (% Silt, OC, OM, พื้เนื้อตะกอนดิน และ อุณหภูมิ)

#### 8. ความสัมพันธ์ระหว่างมวลชีวภาพกับความชุกชุม

จากราฟ ABC แสดงให้เห็นว่าสถานี 9 มีแนวโน้มว่าเกิดภาวะลพิษเล็กน้อยแล้ว ในขณะที่สถานี 6 อยู่ในภาวะที่เสี่ยงต่อการเกิดมลพิษเป็นอันดับต่อไป

## ข้อเสนอแนะ

จากการศึกษาทำให้เห็นถึงแนวทางในการตรวจสอบคุณภาพของสิ่งแวดล้อม บริเวณต่างๆ นอกเหนือไปจากการวิเคราะห์คุณลักษณะทั้งทางกายภาพและเคมีของปัจจัยสิ่งแวดล้อม ที่มีการปฏิบัติกันมาแล้ว โดยการใช้แอนเนลิดเป็นดัชนีชี้ให้เห็นถึงบริเวณที่เกิดมลพิษ อีกทั้งนำไปสู่การเข้าใจในระบบนิเวศของแหล่งน้ำๆ ก่อนที่จะมีการกระทำสิ่งใดๆ ที่อาจเกิดผลกระทบต่อสิ่งแวดล้อม ทั้งนี้อาจพิจารณาในแต่ละด้าน ดังนี้

1. ความซุกซุมและความหลากรายของแอนเนลิด สามารถนำมาประยุกต์ใช้ในการติดตามตรวจสอบแหล่งมลพิษได้ในระดับหนึ่ง
2. ในการวางแผนเพื่อจัดการสิ่งแวดล้อมในทะเลล่วงตอนล่าง หรือลุ่มน้ำทะเลสาบสงขลา ในการที่จะเพิ่มกำลังการผลิตให้กับแหล่งน้ำ การศึกษารั้งนี้อาจใช้ในการวางแผนเพื่อกำหนดเวลาที่เหมาะสมในการปล่อยพันธุ์สัตว์น้ำ และการกำหนดเขตอนุรักษ์สัตว์น้ำหรือช่วงเวลาในการจับสัตว์น้ำ
3. สามารถนำผลที่ได้เป็นข้อมูลพื้นฐานไปใช้เป็นแนวทางในการศึกษาผลกระทบสิ่งแวดล้อมได้
4. การศึกษาแอนเนลิดเพื่อใช้ในการตรวจสอบภาวะมลพิษ ไม่สามารถตรวจสอบมลพิษที่เกิดขึ้นในระยะเวลาสั้นๆ ได้ นอกจากนี้ยังต้องอาศัยความรู้ด้านการจำแนกชนิดอีกด้วย จึงจะนำไปใช้ประโยชน์ได้

## บรรณานุกรม

- จิรากรณ์ คชเสนี. 2537. หลักนิเวศวิทยา. กรุงเทพฯ : จุฬาลงกรณ์มหาวิทยาลัย.
- เพราพรรณ แสงสกุล. 2528. “ปริมาณอินทรีย์ carbon ในตะกอนของทะเลสาบสงขลา”, เอกสารวิชาการฉบับที่ 2/2528. สถาบันเพาะเลี้ยงสัตว์น้ำชายฝั่ง จังหวัดสงขลา ไฟโรจน์ พรหมานนท์ และสุชาติ วิเชียรสรรค์. 2510. “การเปลี่ยนแปลงตามฤดูกาลของ อุณหภูมิ และความเค็มของน้ำในทะเลสาบสงขลาและบริเวณใกล้เคียง”, ใน รายงาน ผลการปฏิบัติการทางวิชาการประจำปี 2509-2510. สถานีประมงทะเลสาบสงขลา กรมประมง. หน้า 69-95.
- ยงยุทธ ปรีดาลัมพะบุตร และ นิคม ละอองศิริวงศ์. 2540 ก. “การเปลี่ยนแปลงและความ สัมพันธ์ระหว่างคุณภาพตะกอนดินกับสัตว์น้ำดินในทะเลสาบสงขลา”, เอกสาร วิชาการ ฉบับที่ 3/2540 สถาบันวิจัยการเพาะเลี้ยงสัตว์น้ำชายฝั่ง กรมประมง.
- \_\_\_\_\_ 2540 ข. “การเปลี่ยนแปลงและความสัมพันธ์ระหว่าง คุณภาพน้ำกับแพลงก์ตอน พืชในทะเลสาบสงขลา”, เอกสารวิชาการ ฉบับที่ 4/2540 สถาบันวิจัยการ เพาะเลี้ยงสัตว์น้ำชายฝั่ง กรมประมง.
- สวัสดิ์ วงศ์สมนึก และ สมชาติ สุขวงศ์. 2511. “การสำรวจความชุกชุมและการแพร่กระจาย ของเบนโทสในทะเลสาบสงขลาตอนใน”, ใน รายงานวิชาการประจำปี 2511 สถานี ประมงทะเลสาบสงขลา กองสำรวจและค้นคว้า กรมประมง. หน้า 41-75.
- \_\_\_\_\_ 2513. “การศึกษาปริมาณความชุกชุมและการแพร่กระจายของเบนโทสในบริเวณ ทะเลสาบสงขลาตอนใน”, ใน รายงานประจำปี 2513 สถานีประมงทะเลสาบสงขลา กองสำรวจและค้นคว้า กรมประมง. หน้า 231 - 261.
- สมศักดิ์ มนีพงษ์ และสุภาพร รักเขียว. 2541. รายงานการวิจัยเรื่องการศึกษาสมบัติทาง เคมีของตะกอนในทะเลน้อยและทะเลหลวง. ภาควิชาธรณีศาสตร์ คณะ ทรัพยากรธรรมชาติ มหาวิทยาลัยสงขลานครินทร์.
- สิริ ทุกชีวนิส, ไฟโรจน์ สิริมนต์ตาการณ์และ เพิ่มศักดิ์ เพิงมาก. 2532. “การสำรวจการ เปลี่ยนแปลงความเค็มของน้ำ บริเวณทะเลสาบสงขลา ระหว่างปี พ.ศ. 2505- 2529”, เอกสารวิชาการฉบับที่ 1/2532 สถานีประมงน้ำกรรoyer จังหวัดสตูล.
- เสาวภา อั้งสุกานนิช. 2539. “คุณภาพน้ำและดินตะกอน”, ใน รายงานการวิจัย เรื่อง ระบบ นิเวศและการใช้ทรัพยากรชายฝั่ง : การศึกษาเขตต่อเนื่องชายฝั่งทะเลสาบ สงขลาตอนนอกบริเวณคลองพะวงและคลองอู่ตะเภา. หน้า 7-21. ภาควิชา วาริชศาสตร์ คณะทรัพยากรธรรมชาติ, มหาวิทยาลัยสงขลานครินทร์.
- อั้งสุนีย์ ชุณห平原, จุฬาภรณ์ รัตนไชย และ อาการ มีชุขันธ์. 2539. “การประเมินผลการ จับสัตว์น้ำจากทะเลสาบสงขลาปี 2537-2538”, เอกสารวิชาการฉบับที่ 4/2539

- สถาบันวิจัยการเพาะเลี้ยงสัตว์นำชายฝั่ง กรมประมง.  
อุดุนิยมวิทยา, กรม . กองภูมิอาภาศ. 2532. ภูมิอาภาศน่ารู้. กรุงเทพฯ : กรมอุดุนิยมวิทยา.
- Ajao, E.A. and Fagade, S.O. 1990. "The ecology of *Capitella capitata* in Lagos Lagoon, Nigeria", **Archiv Fur Hydrobiologie**. 120, 229-239.
- Angsupanich, S. and Aksornkoae, S. 1994. "Decomposition of mangrove leaf litter in Phang-nga Bay, southern Thailand", **Tropics**. 4 : 41-47.
- Angsupanich, S. and Aruga, Y. 1994. **Ecosystem Dynamics of the Outer Songkhla Lake, Southern Thailand**. Supportet by JSPS and NRCT. Nodai Center for International Programs, Tokyo University of Agriculture, Japan.
- Angsupanich, S. and Kuwabara, R. 1995. "Macrofauna in Thale Sap Songkhla, a brackish lake in southern Thailand", **Lake & Reservoirs : Research and Management**. 1, 115-125.
- Angsupanich, S. and Kuwabara, R. 1999. "Distribution of macrobenthic fauna in Phawong and U-Taphao canals flowing in to a Lagoonal Lake , Songkhla, Thailand", **Lake & Reservoirs :Research and Management**. 4, 1-13.
- APHA, AWWA and WEF. 1995. **Standard Methods for the Examination Water and Wastewater**.19th ed. New York : American Public Health Association.
- Aschan, M. M. and Skulderud, A. M. 1990. "Effects of changes in sewage pollution on soft-bottom macrofauna communities in the Inner Oslofjord, Norway", **Sarsia**. 75 : 169-190.
- Barbanti, A. ; Cecherelli, V.U. ; Frascari, F.; Rosso, G. and Reggiani, G. 1992. "Nutrient release from sediments and the role of bioturbation in the Goro Lagoon (Italy)", In **Marine Coastal Eutrophication**, pp. 475-487.
- Vollenweider, R.A.; Marchetti, R. and Viviani, R. eds. Elsevier. Amsterdam.
- Blake, J.A.; Hilbig, B. and Scott, P.H. 1995. "The Annelida Part 2 Polychaeta : Phyllodocida (Syllidae and Scale-Bearing Family), Amphinomida, and Eunicida", In **Taxonomic Atlas of the Benthic Fauna of the Santa Maria Basin and the Western Santa Barbara Channel**. California : Santa Barbara Museum of Natural History.
- Botton, M.L. 1979. "Effects of sewage sludge on the benthic invertebrates community of the in shore New York Bight", **Estuarine and Coastal Marine Science**. 8, 169-180.

- Bremner, J. M. and Mulvaney, C. S. 1982. "Nitrogen-Total", In **Methods of Soil Analysis, Part 2 Chemical and Microbiological Properties-Agronomy Monograph no. 9**. 2d ed., pp.595-624. Page, A. L. ; Miller, R.H. and Keeney, D.R. eds. Wisconsin : Madison Publisher.
- Brohmanonda, P. and Sungkasem, P. 1982. "Lake Songkhla in Thailand", In **Report of Training Course on Seabass Spawning and Larval Rearing, Songkhla, Thailand, 1-20 June 1982**, pp. 59-61. UNDP/FAO.
- Brown, J.R. ; Gowen, R.J. and McLusky, D.S. 1987. "The effect of salmon farming on the benthos of a Scottish Sea Loch", **Journal of Experimental Marine Biology and Ecology**. 109, 39-51.
- Chatupote, W. ; Maneepong, S. and Matsumoto, S. 1994. "Sediment in the Lake", In **Ecosystem Dynamics of the Outer Songkhla Lake,Southern Thailand**. pp. 137-153. Angsupanich, S. and Aruga, Y. eds. Nodai Center for International Programs, Tokyo, Tokyo University of Agriculture.
- Clarke, K. R. and Warwick, R. M. 1994. **Change in Marine Communities : An Approach to Statistical Analysis and Interpretation**. Plymouth Marine Laboratory, Natural Environment Research Council, UK.
- Dauvin, J.C. ; Laubier, L. and Reish, D.J. 1994. "Actes de la 4eme Conference internationale des Polychaetes", In **Memoires du Museum national D'Histoire Naturelle**. Justine, J.L. eds. Paris : Museum national d'Histoire naturelle.
- Dauer, D. M. and Conner, W. G. 1980. "Effects of moderate sewage input on benthic polychaete Populations", **Estuarine and Coastal Marine Science**. 10, 335-346.
- Davies, B. R. ; Stuart, V. and de Villiers, M. 1989. "The filtration activity of a serpulid polychaete population ( *Ficopomatus enigmaticus* Fauvel ) and its effects on water quality in a coastal marina", **Estuarine, Coastal and Shelf Science**. 29 : 613-620.
- Day, J. H. 1967a. **A monograph on the polychaete of Southern Africa. part 1. Errantia**. London : Trustees of the British Museum (Natural History).
- Day, J. H. 1967b. **A monograph on the polychaeta of Southern Africa part 2. Sedentaria**. London.: Trustees of the British Museum (Natural History).

- Diaz, R.J. and Rosenberg, R. 1995. "Marine benthic hypoxia : A Review of Its ecological effects and the behavioural responses of benthic macrofauna", **Oceanographic Marine Biological Annual Review.** 33, 245-303.
- Edgar, G. J. ; Shaw, C. ; Watson, G. F. and Hammond, L. S. 1994. "Comparisons of species richness, size-structure and production of benthos in vegetated and unvegetated habitats in Western Port, Victoria.", **Journal of Experimental Marine Biology and Ecology.** 176, 201-226.
- Elliott, J.M. 1977. **Some methods for the Statistical Analysis of samples of Benthic Invertebrates.** 2nd. Freshwater Biological Association Scientific publication. No. 25. U.K. : Ferry House.
- Fauchald, K. 1977. **The Polychaete Worms Definitions and Keys to the Order, Families and Genera.** Natural History Museum of Los Angeles County, California.
- Fauvel, P. 1932. "Annelida (polychaeta) of the Indian museum, Calcutta", **Memoirs of the Indian Museum.** 12, 1-262.
- Ferraro, S.P. ; Swartz, R.C. ; Cole, F.A. and Deben, W.A. 1994. "Optimum Macrofaunal Sampling Protocol for Detecting Pollution Impacts in the Southern California Bight", **Journal of Environmental Monitoring Assessment.** 29, 127-153.
- Ferraro, S. P. ; Swartz, R. C. ; Cole, F. A. and Schults, D. W. 1991. "Temporal changes in the benthos along a pollution gradient : Discriminating the effects of natural phenomena from sewage- industrial wastewater effects", **Estuarine, Coastal and Shelf Science.** 33, 383-407.
- Gee, G. W. and Bauder, J. W. 1986. "Particle-size analysis", In **Methods of Soil Analysis, Part 1 Physical and Mineralogical Methods-Agronomy Monograph no. 9.** 2d ed., pp.383-412. Page, A. L. ; Miller, R.H. and Keeney, D.R. eds. Wisconsin : Madison Publisher.
- Grasshoff, K. 1983. "Determination of salinity", In **Methods of Seawater Analysis.** pp. 31-35. Grasshoff, K. ; Ehrhardt, M. and Kremling, K. eds. 2 nd. Federal Republic of Germany.
- Hawthorne, S.D. and Dauer, D.M. 1983. "Macrofaunal communities of the Lower Chesapeake Bay. III. Southern branch of the Elizabeth River benthic studies of the Lower Chesapeake Bay 6", **International Revue Der gesamten Hydrobiologie.** 68, 193-205.

- Hayward, P.J. and Ryland, J.S. eds. 1995. **Handbooks of the Marine Fauna of North West Europe.** Oxford : Oxford University Press.
- Henderson, R.A. and Ross, D.J. 1995. "Use of macrobenthic infaunal communities in The monitoring and control of the impact of marine cage fish farming", **Aquaculture Research.** 26, 659-678.
- Hunter, W.D.R. 1969. **A Biology of higher invertebrates** syracuse University and **The marine Biological Laboratory.** The Macmillan company Collier-Macmillan Limited, London.
- Hutchings, P. and Murray, A. 1984. "Taxonomy of Polychaetes from the Hawkesbury River and the Southern Estuaries of New South Wales, Australia", **Records of the Australian Museum.** Lowry, J.K. ed. Southwood Press Pty. Ltd.
- Imajima, M. and Hartman, O. 1964 . **The polychaetous annelids of Japan part I. Allan hancock foundation publication occasional paper number 26.** The university of southern California Press.
- Kikuchi, T. 1991. "Macrobenthic succession in the organically polluted waters and ecological characteristics of some pollution indicator species", In **Marine Biology Its Accomplishment and Future Prospect**, pp.145-163.
- Mauchline, J. and Nemoto, T., eds. Tokyo : Hokusensha.
- Klemm, D. J. 1985. **A Guide to the Freshwater Annelida (Polychaeta, Naidid and Tubificid Oligochaeta, and Hirudinea) of North America.** Kendall/Hunt Publishing Company.
- Kuwabara, R. 1995. **The Coastal Environment and Ecosystem in Southeast Asia : Studies on The Lake Songkhla Lagoon system, Thailand.** Faculty of Bio-Industry, Tokyo. Tokyo University of Agriculture.
- Lardicci, C. and Rossi, F. 1998. "Detection of stress on macrozoobenthos : evaluation of some methods in a Coastal Mediterranean Lagoon", **Marine Environmental Research.** 45 : 367-386.
- Lindegaard, C. 1994. "The role of zoobenthos in energy flow in two shallow lakes", **Hydrobiologia.** 275/276, 313-322.
- Llanso, R. J. 1992. "Effects of hypoxia on estuarine benthos : The Lower Rappahannock River (Chesapeake Bay), a case study", **Estuarine,Coastal and Shelf Science.** 35, 491-515.

- Long, B. G. and Poiner, I. R. 1994. "Infaunal benthic community structure and function in the Gulf of Carpentaria, Northern Australia", **Australian Journal Marine and Freshwater Resources.** 45, 293-316.
- Mann, K.H. 1980. "Benthic secondary production", In **Fundamentals of Aquatic Ecosystems**, pp. 103-188. Barnes, R.S.K. and Mann, K.H. eds. London : Blackwell Scientific Publication.
- Marques, J.C. ; Maranhao, P. and Pardal, M.A. 1992. "Human impact assessment on the subtidal macrobenthic community structure in the Mondego estuary ( Western Portugal )", **Estuarine, Coastal and Shelf Science.** 37, 403-419.
- Maurer, D. and Wigley, R. L. 1984. Biomass and density of macrobenthic invertebrates on the U.S. continental shelf of Martha's Vineyard, Massachusetts, in relation to environmental factors", **NOAA Technical Report NMFS SSRF.** 783, 1-19.
- McIntyre, A.D. ; Elliott, J.M. and Elliss, D.V. 1984. "Introduction : Design of sampling programs", In **Methods for the Study of Marine Benthos**, pp. 1-26. Holm, N.A. and McIntyre, A.D. eds. London : Blackwell Scientific Publications.
- Merilaeinen, J. J. 1988. "Meiobenthos in relation to macrobenthic communities in a low saline, partly acidified estuary, Bothnian Bay, Finland", **Annual Zoology Fenn.** 25, 277-292.
- Oyarzum, C. ; Carrasco, F. D. and Gallardo, V. A. 1987. "Some characteristics of macrobenthic fauna from the organic-enriched sediments at Talcahuano, Chile", **Cahiers de Biologie Marine.** 28 : 429-446.
- Page, A.L. ; Baker, D.E. and Keeney, D.R. 1982. **Methods of Soil Analysis.** 2nd. ed. American Society of Agronomy Soil Science Society of America. Wisconsin : Medison Inc.
- Prabhadevi, L. and Ayyakkannu, K. 1989. "Macrobenthos of the Buckingham Canal backwaters of Coleroon Estuary", **Journal of Marine Biology Associate India.** 31, 80-85.
- Quijón, P. and Jaramillo, E. 1993. "Temporal variability in the intertidal macroinfauna in the Queule River Estuary, South-Central Chile", **Estuarine, Coastal and Shelf Science.** 37, 655-667.

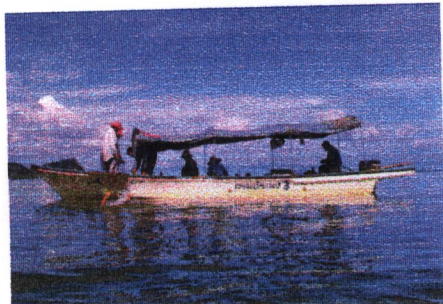
- Rakkheaw, S. 1994. "Water Quality", In **Ecosystem Dynamics of the Outer Songkhla Lake, Southern Thailand**. pp. 12-34. Angsupanich, S. and Aruga, Y. eds. Nodai Center for International Programs, Tokyo. Tokyo University of Agriculture.
- Reid, R. N. ; Radosh, D. J. ; Frame, A. B. and Fromm, S. A. 1991. "Benthic macrofauna of the New York Bight, 1979-1989", **NOAA Technical Report NMFS SSRF.103**, 1-50.
- Rosenberg, R. 1976. "Benthic faunal dynamics during succession following pollution abatement in a Swedish Estuary", **Oikos**. 27, 414-427.
- Rosenberg, R. 1977. "Benthic macrofaunal dynamics, production, and dispersion in an oxygen deficient estuary of West Sweden", **Journal of Experimental Marine Biology and Ecology**. 26, 107-133.
- Ruppert, E. E. and Barnes , R.D. 1994. **Invertebrate Zoology** . 6th ed. , New York : Saunders College Publishing.
- Sirimontaporn, P. ; Nitithamyong, C. and Angsupanich, S. 1995. "The niche of fish and shellfish in Thale Sap Songkhla, southern Thailand", **Journal of The International Society for Southeast Asian Agricultural Sciences**. 1, 40-55.
- Theede , H . ; Ponat , A . ; Hiroki, K . and Schlieper, M . 1969. " Studies on the resistance of marine bottom invertebrates to oxygen-deficiency and hydrogen sulphide ", **Marine Biology**. 2 : 325-337
- Trevor, J.H. 1976. "The burrowing activity of *Nephtys cirrosa* Ehlers (Annelida : Polychaete)", **Journal of Experimental Marine Biology and Ecology**. 24, 307-319.
- Walkley, A. and Black, I. A. 1934. "An examination of the pegtareff method for determining soil organic matter and a proposed modification of chromic acid titration method", **Soil Science**. 37 : 29-38.
- Warren, L. M. 1984. "How intertidal polychaetes survive at low tide", In **Proceedings of The First International Polychaete Conference, Sydney**. pp.238-253. P. A. Hutchings. ed. The Linnean Society of New South Wales.
- Warwick, R. M. 1986. "A new method for detecting pollution effects on marine Macrofauna communities", **Marine Biology**. 92, 557-562.
- Warwick, R. M. and Clarke, K. R. 1991. "A comparison of some methods for

- Analysing changes in benthic community structure”, **Journal of Marine Biology Associates.** 71, 225-244.
- Wass M. L. 1967. “Biological and physiological basis of indicator organism and communities”, In **Pollution and Marine Ecology.** pp. 271-281. Olsen, T.A. and Burgess, F.J. eds. Wiley, London.
- Wu, R.S.S. 1982. “Periodic defaunation and recovery in a subtropical epibenthic community in relation to organic pollution”, **Journal of Experimental Marine Biology and Ecology.** 64, 253-269.
- Yamaguchi, Y. 1995. “Ecological characteristics and phytoplankton dynamics of lagoonal lake, Thale Sap Songkhla, Thailand ”, In **The Coastal Environment and Ecosystem in Southeast Asia : studies on The Lake Songkhla Lagoon system, Thailand,** pp.49-71. Kuwabara, R. ed. Tokyo. Faculty of Bio-Industry, Tokyo University of Agriculture.
- Yokokawa, T. 1984. **Report on aquaculture Ground Survey of Songkhla Lake.** National Institute of Coastal Aquaculture, Songkhla, Thailand.

## ภาคผนวก

### ภาคผนวก ก. ภาคอุปกรณ์

#### ผนวก 1. เครื่องมือและอุปกรณ์ภาคสนาม



(ก) เรือสำรวจ



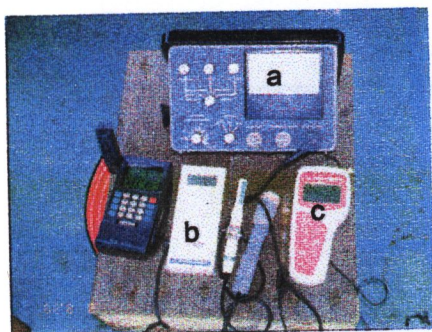
(ข) Tamura's grab



(ค) ตะแกรง



(ง) เครื่องมือหาตำแหน่ง (GPS)



(จ) เครื่องมือวิเคราะห์น้ำ

a : เครื่องมือวิเคราะห์ปริมาณออกซิเจน  
ละลายน้ำ

b : เครื่องมือวัดความเดื๋ม

c : เครื่องมือวัดพีเอช

**ภาคผนวก ข. เปรียบเทียบความคล้ายคลึงของแต่ละสถานีและเดือน**

**ผนวก 2. ตารางเปรียบเทียบความคล้ายคลึงของแอนเนลิตในเชิงสถานี (%)**

สถานี	1	2	3	4	5	6	7	8
2	75.555							
3	76.618	76.265						
4	60.080	65.267	64.881					
5	53.010	57.566	60.326	67.558				
6	49.766	50.703	55.779	57.838	61.928			
7	65.190	65.851	66.901	64.531	59.815	64.790		
8	66.210	66.348	71.456	68.577	61.840	62.333	73.497	
9	56.796	60.100	63.477	57.666	54.373	65.019	66.644	66.287

**ผนวก 3. ตารางเปรียบเทียบความคล้ายคลึงของแอนเนลิตในเชิงเวลา (%)**

เดือน	เมษายน	มิถุนายน	สิงหาคม	ตุลาคม	ธันวาคม
มิถุนายน	61.021				
สิงหาคม	52.505	76.512			
ตุลาคม	46.647	67.339	78.178		
ธันวาคม	45.296	56.810	62.811	68.904	
กุมภาพันธ์	39.075	53.803	49.016	52.659	63.870

## ภาคผนวก ค. ทดสอบความคล้ายคลึงกันในและภายนอกกลุ่ม

### ผนวก 4. ANOSIM ของความคล้ายคลึงกันของแต่ละสถานี ONE-WAY ANOSIM

Sample statistic (Global R): 0.212 PAIRWISE TESTS

Groups	Stat	Possible	Permutations		Significant	Significance
			Used	Value	Permutations	Used
(1, 2)	-0.007	462	462	235	50.9%	
(1, 3)	-0.044	462	462	306	66.2%	
(1, 4)	0.167	462	462	43	9.3%	
(1, 5)	0.285	462	462	3	0.6%	
(1, 6)	0.654	462	462	1	0.2%	
(1, 7)	0.424	462	462	2	0.4%	
(1, 8)	0.283	462	462	15	3.2%	
(1, 9)	0.315	462	462	5	1.1%	
(2, 3)	-0.096	462	462	386	83.5%	
(2, 4)	0.054	462	462	118	25.5%	
(2, 5)	0.217	462	462	5	1.1%	
(2, 6)	0.726	462	462	1	0.2%	
(2, 7)	0.285	462	462	15	3.2%	
(2, 8)	0.096	462	462	95	20.6%	
(2, 9)	0.161	462	462	36	7.8%	
(3, 4)	0.107	462	462	71	15.4%	
(3, 5)	0.194	462	462	17	3.7%	
(3, 6)	0.565	462	462	1	0.2%	
(3, 7)	0.137	462	462	55	11.9%	
(3, 8)	-0.048	462	462	286	61.9%	
(3, 9)	0.167	462	462	30	6.5%	
(4, 5)	0.013	462	462	183	39.6%	
(4, 6)	0.478	462	462	1	0.2%	
(4, 7)	0.094	462	462	89	19.3%	
(4, 8)	0.007	462	462	202	43.7%	
(4, 9)	0.215	462	462	22	4.8%	
(5, 6)	0.302	462	462	3	0.6%	
(5, 7)	0.200	462	462	21	4.5%	
(5, 8)	0.109	462	462	61	13.2%	
(5, 9)	0.209	462	462	16	3.5%	
(6, 7)	0.213	462	462	29	6.3%	
(6, 8)	0.411	462	462	5	1.1%	
(6, 9)	0.370	462	462	1	0.2%	
(7, 8)	0.002	462	462	213	46.1%	
(7, 9)	0.278	462	462	12	2.6%	
(8, 9)	0.067	462	462	128	27.7%	

NB: The significance levels in the pairwise tests are NOT adjusted to allow for multiple comparisons

## ผนวก 5. ANOSIM ของความคล้ายคลึงกันของแต่ละเดือน ONE-WAY ANOSIM

Sample statistic (Global R): 0.533

### PAIRWISE TESTS

Groups	Stat	Possible	Permutations	Significant	Significance
Used	Value	Permutations	Used	Statistics	Level
(1, 2)	0.428	2.431D+04	5000	0	0.0%
(1, 3)	0.642	2.431D+04	5000	0	0.0%
(1, 4)	0.751	2.431D+04	5000	0	0.0%
(1, 5)	0.758	2.431D+04	5000	1	0.0%
(1, 6)	0.593	2.431D+04	5000	0	0.0%
(2, 3)	0.088	2.431D+04	5000	665	13.3%
(2, 4)	0.571	2.431D+04	5000	1	0.0%
(2, 5)	0.607	2.431D+04	5000	0	0.0%
(2, 6)	0.711	2.431D+04	5000	0	0.0%
(3, 4)	0.354	2.431D+04	5000	5	0.1%
(3, 5)	0.624	2.431D+04	5000	0	0.0%
(3, 6)	0.776	2.431D+04	5000	0	0.0%
(4, 5)	0.416	2.431D+04	5000	2	0.1%
(4, 6)	0.739	2.431D+04	5000	0	0.0%
(5, 6)	0.300	2.431D+04	5000	1	0.0%

NB: The significance levels in the pairwise tests are NOT adjusted

to allow for multiple comparisons.

## ประวัติผู้เขียน

ชื่อ นายมงคลรัตน์ เจริญพรกิพย์  
วันเดือนปีเกิด 11 ธันวาคม 2511

วุฒิ	ชื่อสถาบัน	ปีที่สำเร็จการศึกษา
วิทยาศาสตรบัณฑิต (เทคโนโลยีการเกษตร)	วิทยาลัยครุนคราปฐม	พ.ศ. 2536